

การออกแบบและสร้างเครื่องมือวัดปรากฏการณ์ของเครื่องด้านทัศนศาสตร์แม่เหล็ก

ปริญญาบัณฑิต

ของ

สุวารีชฐ์ วัฒนาสุพรา

เสนอต่อบ้านพิ忒วิทยาลัย มหาวิทยาลัยศรีนครินทรวิโรฒ เพื่อเป็นส่วนหนึ่งของการศึกษา

ตามหลักสูตรปริญญาวิทยาศาสตร์มหาบัณฑิต สาขาวิชาฟิสิกส์

กุมภาพันธ์ 2551

การออกแบบและสร้างเครื่องมือวัดปรากฏการณ์ของเครื่องด้านทัศนศาสตร์แม่เหล็ก

ปริญญาบัณฑิต

ของ

สุวารีชฐ์ วัฒนสุพร

เสนอต่อบ้านพิ忒วิทยาลัย มหาวิทยาลัยศรีนครินทรวิโรฒ เพื่อเป็นส่วนหนึ่งของการศึกษา

ตามหลักสูตรปริญญาวิทยาศาสตร์มหาบัณฑิต สาขาวิชาฟิสิกส์

กุมภาพันธ์ 2551

ลิขสิทธิ์เป็นของมหาวิทยาลัยศรีนครินทรวิโรฒ

การออกแบบและสร้างเครื่องมือวัดปรากฏการณ์ของเครื่องด้านทัศนศาสตร์แม่เหล็ก

บทคัดย่อ

ขอ

สุวิชัย วัฒนาพง

เสนอต่อบกสหวิทยาลัย มหาวิทยาลัยศรีนครินทรวิโรฒ เพื่อเป็นส่วนหนึ่งของการศึกษา
ตามหลักสูตรปฏิญญาวิทยาศาสตร์มหาบัณฑิต สาขาวิชาฟิสิกส์

กุมภาพันธ์ 2551

สุราเชษฐ์ วัฒนสุพร. (2551). การออกแบบและสร้างเครื่องมือวัดปรากฏการณ์ของเดอร์ด้านทัศนศาสตร์แม่เหล็ก. ปริญญาบัณฑิตวิทยาลัยมหาวิทยาลัยศรีนครินทร์วิโรฒ. คณะกรรมการคุณภาพคุณ: ดร. วิชุดา บุญยรัตกลิน, ผศ. ดร. ประยูร ส่งธิรุทธิกุล.

บริญญาบัณฑิตนี้มีจุดมุ่งหมายที่จะออกแบบและสร้างเครื่องมือวัดปรากฏการณ์ของเดอร์ด้านทัศนศาสตร์แม่เหล็กเพื่อใช้วัดและตรวจสอบคุณลักษณะความเป็นแม่เหล็กตามแนวระนาบและนอกระนาบของผิวของสารแม่เหล็ก ระบบการวัดประกอบด้วย แหล่งกำเนิดแสงเลเซอร์ไฮเลียม-นีโอน โพลาไรเซอร์ควบคุม โพลาไรเซอร์วิเคราะห์ ตัววัดแสง และแม่เหล็กไฟฟ้า ซึ่งต่อเข้ากับแหล่งจ่ายกำลังแบบสองขั้ว แหล่งจ่ายกำลังและตัววัดแสงต่อประสานเข้ากับคอมพิวเตอร์ผ่านทางแรงงานจราจรปีไอบี ซ่องทางนาน และชุดคำสั่งแลบ皮วิ เพื่อควบคุมค่าสนามแม่เหล็กของแม่เหล็กไฟฟ้าและบันทึกข้อมูลค่ากำลังแสงเลเซอร์ในเวลาเดียวกัน เครื่องมือวัดถูกจัดวางเป็นสองรูปแบบเพื่อวัดปรากฏการณ์ของเดอร์ด้านทัศนศาสตร์แม่เหล็กแบบตามยาวและแบบเชิงข้าม

เพื่อให้ได้ค่าสนามแม่เหล็กตามที่ต้องการเราได้ใช้ชุดคำสั่งเรเดียร์สร้างแบบจำลองของแม่เหล็กไฟฟ้า คำนวนค่าสนามแม่เหล็ก และสร้างพื้นผิวสามมิติ ทั้งนี้ได้ออกแบบขั้วแม่เหล็กเป็นสองรูปแบบคือ รูปร่างสี่เหลี่ยมและรูปร่างสามเหลี่ยม จากการคำนวนสนามแม่เหล็กจากขั้วแม่เหล็กทั้งสองแบบพบว่ามีค่าแตกต่างจากการวัดด้วยหัววัดชุดล็ปประมาณ 3 เปอร์เซนต์

ระบบที่สร้างขึ้นนี้ถูกนำไปทดสอบในเบื้องต้นโดยการสร้างวงยิสเทอเริชิสของผลึกเดี่ยวนิกเกิลระนาบ (111) เหล็ก โคบล็ตบิสุทธิ์ และฟิล์มของเหล็ก วงยิสเทอเริชิสจากผลการทดสอบที่ได้นำไปเปรียบเทียบกับผลที่ได้จากเครื่องสมอกรະวีเอสเอ็ม โดยที่ระบบสมอกระหวัดวงยิสเทอเริชิสของฟิล์มนิกเกิลบนแพลทินมระนาบ (111) และฟิล์มโคบล็ตบนแพลทินมระนาบ (111) ในขณะที่เครื่องวีเอสเอ็มใช้วัดวงยิสเทอเริชิสของเหล็กและฟิล์มเหล็ก ซึ่งพบว่าฐานร่วงของวงยิสเทอเริชิสที่ได้จากเครื่องมือที่สร้างขึ้นนี้มีความสอดคล้องกับผลที่ได้จากเครื่องมือดังกล่าว

DESIGN AND CONSTRUCTION OF THE MAGNETO-OPTIC KERR EFFECT (MOKE)
MEASUREMENT SYSTEM

AN ABSTRACT
BY
SURACHET RATTANASUPORN

Presented in Partial Fulfillment of the Requirements
for the Master of Science Degree in Physics
at Srinakharinwirot University
February 2008

Surachet Rattanasuporn. (2008). *Design and Construction of the Magneto-Optic Kerr Effect (MOKE) Measurement System*. Master Thesis, M.S. (Physics). Bangkok: Graduate School, Srinakharinwirot University. Advisor committee: Wichuda Boonyaratgalin, Assist. Prof. Prayoon Songsiriritthigul.

This thesis aimed to design and construct a magneto-optic Kerr effect measurement system, which was used to measure and examine the characteristic of in-plane and out of plane magnetization of magnetic material. The measurement system consisted of a He-Ne laser source, a controlled polarizer, an analyzer polarizer, a photodetector and an electromagnet that was connected to a bipolar power supply. The power supply and the photodetector were interfaced with a computer via GPIB card, RS-232 port and LabView software so that the magnetic field of the electromagnet could be controlled and the laser power data can be recorded simultaneously. The instruments were set up into two configurations to measure the longitudinal and the polar magneto-optic Kerr effects.

In order to achieve the desired magnetic filed, the electromagnet was designed using Radia code which simulated the model of electromagnet, calculated magnetic field and built 3D surface of the magnetic field. The magnet poles were designed in two different shapes, square and triangular. For both of them, the magnetic fields obtained from the calculation differ from the measured values via Hall probe by 3%.

The measurement system was primarily tested on Ni(111) single crystal, iron, pure cobalt and iron films. The resulting hysteresis loops for these materials were compared with those obtained from SMOKE and VSM. SMOKE was used for measuring 7.4 ML Ni/Pt(111) films and 6.5 ML Co/Pt(111) films, while VSM was used for measuring bulk Fe and 7000 Å Fe films. The shapes of the hyteresis loops resulted from the constructed system shown good agreement with those attained by the existing measurement systems.

ปริญญาบัตร

เงื่อนไข

การออกแบบและสร้างเครื่องมือวัดปรากฏการณ์ของเครื่องด้านทัศนศาสตร์เม่เหล็ก

ของ

สุรเชษฐ์ รัตนสุพรา

ได้รับอนุมติจากบัณฑิตวิทยาลัยให้นับเป็นส่วนหนึ่งของการศึกษาตามหลักสูตร

ปริญญาวิทยาศาสตรมหาบัณฑิต สาขาวิชาฟิสิกส์

ของมหาวิทยาลัยศรีนครินทร์วิโรฒ

คณบดีบัณฑิตวิทยาลัย

(ผู้ช่วยศาสตราจารย์ ดร.เพ็ญศิริ จีระเดชาภุญ)

วันที่.....เดือน พ.ศ. 2551

คณะกรรมการควบคุมปริญญาบัตร

คณะกรรมการสอบปากเปล่า

ประธาน

(อาจารย์ ดร.วิชุดา บุญยรัตกลิน)

ประธาน

(อาจารย์ ดร.สุพจน์ มุศิริ)

กรรมการ

(ผู้ช่วยศาสตราจารย์ ดร.ประยุทธ์ สังสิริทิมุกุล)

กรรมการ

(อาจารย์ ดร.วิชุดา บุญยรัตกลิน)

กรรมการ

(ผู้ช่วยศาสตราจารย์ ดร.ประยุทธ์ สังสิริทิมุกุล)

กรรมการ

(ผู้ช่วยศาสตราจารย์ ดร.ธนากร โอลล์สันท์)

บริษัทฯ ได้รับอนุญาตให้ดำเนินการ

จาก

ศูนย์ปฏิบัติการวิจัยเครื่องกำเนิดแสงซีนโคราโวนแห่งชาติ

ประกาศคุณปการ

บริษัทฯ ได้ด้วยความกรุณาจาก อาจารย์ ดร.วิชุดา บุญยรัตกลิน และ ผู้ช่วยศาสตราจารย์ ดร.ประยูร สังสิริฤทธิกุล ที่ได้ให้โอกาส ให้ความรู้ ให้คำแนะนำ และได้ตราจแก่ๆ ข้อบกพร่องต่างๆ ตลอดระยะเวลาที่ทำการพัฒนาระบบ ผู้วิจัยชาบชี้และกราบขอบขอพระคุณเป็นอย่างสูง

ขอกราบขอบขอพระคุณ อาจารย์ ดร.สุพจน์ มุศิริ และผู้ช่วยศาสตราจารย์ ดร.ธนากร โอสถ จันทร์ ที่ได้ให้ความกรุณาในการเป็นประธานและคณะกรรมการในการสอบปากเปล่าบริษัทฯ รวมทั้งให้คำแนะนำและแก่ๆ เพิ่มเติม ทำให้บริษัทฯ สำเร็จสิ้นสมบูรณ์

ขอขอบคุณศูนย์ปฏิบัติการวิจัยเครื่องกำเนิดแสงซินโครตรอนแห่งชาติที่ได้ให้ทุนวิจัย สนับสนุนงานบริษัทฯ ขอขอบคุณ Dr.Hideki Nakajima ที่ได้ให้คำปรึกษา คำแนะนำ และความช่วยเหลือในการพัฒนาระบบเสมอมา และขอขอบคุณ คุณสำเริง ดวงนิล และเจ้าหน้าที่ส่วนงาน ผลิตซึ่งงานของศูนย์ปฏิบัติการวิจัยเครื่องกำเนิดแสงซินโครตรอนแห่งชาติที่ได้ให้การสนับสนุนในการจัดทำอุปกรณ์ต่างๆ สำหรับระบบ MOKE

ขอกราบขอบขอพระคุณคณาจารย์ภาควิชาพิสิกส์ทุกท่านที่ได้ประสิทธิ์ประสาทวิชาความรู้ ตลอดระยะเวลาการศึกษา จนผู้วิจัยสามารถนำความรู้มาใช้ในการทำบริษัทฯ จนสำเร็จ

ขอขอบคุณเพื่อนๆ พี่ๆ และน้องๆ นิสิตบริษัทฯ สาขาพิสิกส์ มหาวิทยาลัยศรีนครินทร์ วิโรฒ และนักศึกษาบริษัทฯ และบริษัทเอกที่ศูนย์ปฏิบัติการวิจัยเครื่องกำเนิดแสงซินโครตรอน แห่งชาติทุกคน ที่ได้เคยช่วยเหลือและเป็นกำลังใจในการทำบริษัทฯ ตลอดมา ขอขอบคุณ คุณ สุจิตพงศ์ เครือหงส์ ที่ได้ให้ความช่วยเหลือดำเนินการในเรื่องต่างๆ จนบริษัทฯ สำเร็จ สมบูรณ์

ท้ายที่สุดนี้ ผู้เขียนขอกราบขอบขอพระคุณ บิดา มารดา ขอบคุณพี่สาวและน้องชาย ที่ให้ กำลังใจ ให้การสนับสนุนการศึกษาและการทำบริษัทฯ ของผู้เขียนตลอดมา

สุวเชษฐ์ วัฒนสุพร

สารบัญ

บทที่	หน้า
1 บทนำ.....	1
1.1 ภูมิหลัง.....	1
1.2 ความมุ่งหมายของการวิจัย.....	3
1.3 ความสำคัญของการวิจัย.....	3
1.4 ขอบเขตของการวิจัย.....	3
1.5 นิยามศัพท์.....	3
 2 ทฤษฎีและเอกสารงานวิจัยที่เกี่ยวข้อง.....	5
2.1 ทฤษฎี.....	5
2.1.1 ปรากฏการณ์ทัศนศาสตร์แม่เหล็ก.....	5
2.1.2 ปรากฏการณ์ของฟาราเดย์.....	5
2.1.3 ปรากฏการณ์ของเคอร์ต้านทัศนศาสตร์แม่เหล็ก.....	6
2.1.4 รูปแบบของปรากฏการณ์ของเคอร์ต้านทัศนศาสตร์แม่เหล็ก.....	7
2.1.5 อิลลิปโซเมทรี.....	8
2.1.6 วงศ์สเทอวิช.....	10
2.1.7 รูปนัยนิยมมหาศาสน์ของปรากฏการณ์ของเคอร์ต้านทัศนศาสตร์แม่เหล็ก	12
2.2 เอกสารงานวิจัยที่เกี่ยวข้อง.....	33
2.2.1 งานวิจัยของบาเดอร์ มูก และคิว.....	33
2.2.2 งานวิจัยของแอมตัน อัลเบอร์โตและอบรุนา.....	36
2.2.3 งานวิจัยของลี และคณะ.....	40
2.2.4 งานวิจัยของเชิร์น และคณะ.....	42
 3 ขั้นตอนการดำเนินงานวิจัย.....	48
3.1 ข้อกำหนดความต้องการของระบบ.....	48
3.2 ข้อพิจารณาในการออกแบบระบบ.....	49
3.2.1 การออกแบบแม่เหล็กไฟฟ้า.....	49
3.2.2 การออกแบบคุปกรณ์วัดมุมการหมุนของเคอร์.....	53

สารบัญ (ต่อ)

บทที่	หน้า
3 (ต่อ)	
3.2.3 การออกแบบการจัดวางคุปกรณ์สำหรับการวัด L-MOKE และ P-MOKE..	53
3.3 การดำเนินงานพัฒนาระบบ MOKE.....	55
3.3.1 การเตรียมคุปกรณ์สำหรับระบบการวัด MOKE.....	55
3.3.2 การสร้างแม่เหล็กไฟฟ้า.....	58
3.3.3 การติดตั้งและต่อประสานระบบการวัด MOKE.....	59
3.3.4 การวัดทดสอบระบบ.....	59
4 ผลการวิจัย.....	60
4.1 การเปรียบเทียบผลการคำนวณสนา�แม่เหล็กระหว่างแบบจำลองแม่เหล็กไฟฟ้าโดยชุดคำสั่งเรเดียกับผลการวัดโดยหัววัดยอกล์.....	60
4.2 การทำความสัมพันธ์ระหว่างค่าสนา�แม่เหล็กกับค่ากระแส.....	69
4.3 การสร้างวงยิสเทอโรชีสและวัดมุกมการหมุนของเคอร์.....	73
4.3.1 การสร้างวงยิสเทอโรชีส.....	75
4.3.2 การวัดมุกมการหมุนของเคอร์โดยการปรับมุมโพลาไรเซอร์วิเคราะห์.....	83
5 สรุป อภิปราย และข้อเสนอแนะ.....	84
5.1 สรุปผลการวิจัย.....	84
5.2 อภิปรายผลการวิจัย.....	87
5.3 ข้อเสนอแนะ.....	88
บรรณานุกรม.....	90
ภาคผนวก.....	93
ประวัติย่อของผู้วิจัย.....	105

บัญชีภาพประกอบ

ภาพประกอบ

หน้า

1 ทิศของสนามแม่เหล็กที่ให้กับสารตัวอย่างของปรากฏการณ์ของเครื่องด้านทิศนศัลศตร์แม่เหล็ก (a) แบบเชิงข้าม (b) แบบตามยาว และ (c) แบบตามขวา.....	8
2 แผนภาพแสดงขั้นตอนการทำงานของอิลลิปโซมิเตอร์.....	9
3 วงศ์เทอริชิสที่แสดงค่าสภาพแม่เหล็กติดค้างและค่าสนามลบล้างแม่เหล็กในสาร....	11
4 องค์ประกอบของการโพลาไวร์เชิงเส้น องค์ประกอบการโพลาไวร์เชิงวงกลม องค์ประกอบการโพลาไวร์เชิงวงรี การหมุนของเครื่อง และความรีของเครื่อง.....	15
5 คลื่นตอกกระทบ คลื่นหักเห และคลื่นสะท้อนบริเวณรอยต่อของตัวกลางสองชนิด.....	18
6 กราฟแสดงค่าการหมุนของเครื่องจากผลการทดลองและจากทฤษฎีสำหรับเอกสารและพิพิธภัณฑ์ (a) Cu/Co แบบหลายชั้น (multilayer) ในรูปแบบตามยาว และ (b) Co/Pd แบบหลายชั้นในรูปแบบเชิงข้าม.....	31
7 ค่าการหมุนของเครื่องและความรีของเครื่องที่ประกบมุมตอกกระทบจากทฤษฎีเมื่อเปลี่ยนค่าดัชนีหักเห (n) และค่าคงที่ทิศนศัลศตร์แม่เหล็ก (Q).....	32
8 วงศ์เทอริชิสที่ได้จากการวัด SMOKE ของฟิล์ม Fe บนฟลีก Au(100) โดย (a) วัดที่อุณหภูมิ 60 °C (b) วัดที่อุณหภูมิ 65 °C และ (c) วัดที่อุณหภูมิ 104 °C.....	33
9 องค์ประกอบและการจัดซุ้มระบบการวัด SMOKE ของคิวและบารเดอร์.....	34
10 วงศ์เทอริชิสของสัญญาณ SMOKE ที่ได้จากการวัดฟิล์ม 6 ML Fe/Ag(100).....	36
11 รูปแบบการจัดวางเครื่องมือสำหรับวัดสัญญาณ SMOKE แบบตามยาวของแม่ตัน อัลเบอร์โตและอบรูนา.....	37
12 แม่เหล็กสำหรับระบบ SMOKE โดยมีสนามแม่เหล็กที่ต่ำแห่ง X เป็น 500 Oe และที่ต่ำแห่ง Y เป็น 400 Oe ที่กระแส 4 A.....	38
13 วงศ์เทอริชิสของสัญญาณ SMOKE ทั้งสามแบบ ของฟิล์มโคลอต์บันคอกดี.....	39
14 แผนภาพแสดงระบบการวัด SMOKE ทั้งสามรูปแบบของลีและคณะ.....	40
15 วงศ์เทอริชิสของสัญญาณ SMOKE ทั้งสามรูปแบบที่ประกบค่าตามความหนาของฟิล์ม Co เมื่อปั๊กบน Pd(111) glass และ 200 Å Pd/glass.....	41
16 แผนภาพแสดงการติดตั้งระบบการวัด MOKE ของเซิร์นและคณะ.....	43
17 วงศ์เทอริชิสของฟิล์ม Ni/Pt(111) วัดโดยเทคนิค MOKE แบบเชิงข้าม.....	44

บัญชีภาพประกอบ (ต่อ)

ภาพประกอบ	หน้า
18 วงศ์สเทอริชิสของฟิล์ม Ni/Pt(111) วัดโดยเทคนิค MOKE แบบตามยาว ที่มุ่งแอ๊ซิมัทเป็น (a) 0° (b) 30° (c) 60° (d) 90° (e) 120° (f) 150° (g) 180°	45
19 สัญญาณของเครอร์เทียบกับสนามแม่เหล็กและความหนาของฟิล์ม Co บน (a) Pt (111) และ (b) Sputtered Pt (111).....	47
20 เส้นโค้งของความเป็นแม่เหล็กแบบกราฟแสตตรงสำหรับวัสดุแม่เหล็กชนิดต่างๆ.....	50
21 รูปร่างและขนาดของแม่เหล็กที่ออกแบบในมุมมองด้านหน้าและด้านข้าง.....	50
22 ข้าวแม่เหล็กด้านหน้าและด้านข้าง (a) รูปแบบที่ 1 และ (b) รูปแบบที่ 2.....	51
23 ขดลวดโซลาร์และสนามแม่เหล็กของขดลวดโซลาร์.....	52
24 การจัดวางคุปกรณ์สำหรับการวัด L-MOKE	54
25 การจัดวางคุปกรณ์สำหรับการวัด P-MOKE ของข้าวแม่เหล็กแบบที่ 1 และแบบที่ 2..	55
26 เครื่องกำเนิดแสงเลเซอร์ไฮเลียม-นีโอน และแหล่งจ่ายกำลัง.....	56
27 (a) โพลาไรเซอร์แบบกลาน-เทเลอร์ และ (b) ตัวหมุนแบบละอียด	56
28 แหล่งจ่ายกำลังกราฟแสตตรง BOP 20-20M ที่ติดตั้งแผ่นวงจรต่อประสาน BIT 4886 ไว้ภายใน.....	57
29 ตัววัดแสงชนิดไฟโตไดโอดแบบซิลิกอนและชุดควบคุม.....	58
30 ภาพจำลองแม่เหล็กไฟฟ้าที่ออกแบบโดยใช้ชุดคำสั่งเรเดียสำหรับใช้ในระบบ MOKE โดย (a) ข้าวแม่เหล็กแบบที่ 1 และ (b) ข้าวแม่เหล็กแบบที่ 2.....	60
31 แม่เหล็กไฟฟ้าที่สร้างขึ้นซึ่งมีข้าวแม่เหล็กเป็นแบบที่ 2.....	61
32 การเปรียบเทียบค่าสนามแม่เหล็กที่คำนวนโดยชุดคำสั่งเรเดียและการวัดด้วยหัววัดชอล์ดของแม่เหล็กไฟฟ้าที่มีข้าวแม่เหล็กแบบที่ 1.....	62
33 การเปรียบเทียบค่าสนามแม่เหล็กที่คำนวนโดยชุดคำสั่งเรเดียและการวัดด้วยหัววัดชอล์ดของแม่เหล็กไฟฟ้าที่มีข้าวแม่เหล็กแบบที่ 2.....	63
34 พื้นผิวสามมิติขององค์ประกอบของสนามแม่เหล็กตามแนวแกน y โดยการคำนวนจากชุดคำสั่งเรเดียเทียบกับระยะทางบนระหว่าง xz ที่ตำแหน่ง $y = 0$ สำหรับข้าวแม่เหล็กแบบที่ 1	64

บัญชีภาพประกอบ (ต่อ)

ภาพประกอบ	หน้า
35 พื้นผิวสามมิติขององค์ประกอบของสนามแม่เหล็กตามแนวแกน y โดยการวัดด้วยหัววัดขอล์ฟที่ยึดกับระยะทางบนระนาบ xz ที่ตำแหน่ง $y = 0$ สำหรับข้าวแม่เหล็กแบบที่ 1	64
36 พื้นผิวสามมิติขององค์ประกอบของสนามแม่เหล็กตามแนวแกน y โดยการคำนวณจากชุดคำสั่งเรเดียลที่ยึดกับระยะทางบนระนาบ xz ที่ตำแหน่ง $z = 206$ สำหรับข้าวแม่เหล็กแบบที่ 2	65
37 พื้นผิวสามมิติขององค์ประกอบของสนามแม่เหล็กตามแนวแกน y โดยการวัดด้วยหัววัดขอล์ฟที่ยึดกับระยะทางบนระนาบ xz ที่ตำแหน่ง $z = 206$ สำหรับข้าวแม่เหล็กแบบที่ 2	65
38 แผนภาพสองมิติของสนามแม่เหล็กสร้างขึ้นจากการวัดองค์ประกอบของสนามแม่เหล็กในทิศตามแนวแกน y เทียบกับตำแหน่งบนระนาบ xz ที่ตำแหน่ง $y = 0$ ของข้าวแม่เหล็กแบบที่ 1	67
39 แผนภาพสองมิติของสนามแม่เหล็กสร้างขึ้นจากการวัดองค์ประกอบของสนามแม่เหล็กในทิศตามแนวแกน y เทียบกับตำแหน่งบนระนาบ yz ที่ตำแหน่ง $x = 0$ ของข้าวแม่เหล็กแบบที่ 1	67
40 แผนภาพสองมิติของสนามแม่เหล็กสร้างขึ้นจากการวัดองค์ประกอบของสนามแม่เหล็กในทิศตามแนวแกน y เทียบกับตำแหน่งบนระนาบ xy ที่ตำแหน่ง $z = 206 \text{ mm}$ ของข้าวแม่เหล็กแบบที่ 2	68
41 แผนภาพสองมิติของสนามแม่เหล็กสร้างขึ้นจากการคำนวณองค์ประกอบของสนามแม่เหล็กในทิศตามแนวแกน y เทียบกับตำแหน่งบนระนาบ xz ที่ตำแหน่ง $y = 0$ ของข้าวแม่เหล็กแบบที่ 2	68
42 ผลการวัดสนามแม่เหล็กที่เปลี่ยนค่าตามกระแส เมื่อลดกระแสจาก 5 A ไปถึง -5 A และการประมาณข้อมูลแบบโพลิโนเมียลของข้าวแม่เหล็กแบบที่ 1	69
43 ผลการวัดสนามแม่เหล็กที่เปลี่ยนค่าตามกระแส เมื่อเพิ่มกระแสจาก -5 A ไปถึง 5 A และการประมาณข้อมูลแบบโพลิโนเมียลของข้าวแม่เหล็กแบบที่ 1	70

บัญชีภาพประกอบ (ต่อ)

ภาพประกอบ	หน้า
44 ผลการวัดสนามแม่เหล็กที่แปรค่าตามกระแส เมื่อลดกระแสจาก 5 A ไปถึง -5 A และการประมาณข้อมูลแบบโพลิโนเมียลของข้าวแม่เหล็กแบบที่ 2.....	71
45 ผลการวัดสนามแม่เหล็กที่แปรค่าตามกระแส เมื่อเพิ่มกระแสจาก -5 A ไปถึง 5 A และการประมาณข้อมูลแบบโพลิโนเมียลของข้าวแม่เหล็กแบบที่ 2.....	72
46 องค์ประกอบและ การจัดวางอุปกรณ์ของระบบการวัด L-MOKE.....	73
47 องค์ประกอบและ การจัดวางอุปกรณ์ของระบบการวัด P-MOKE ของข้าวแม่เหล็กแบบที่ 2	74
48 หน้าต่างการทำงานของโปรแกรมแลบปฏิว.....	75
49 วงศ์สเทอโรชิสจาก การวัด L-MOKE ของผลักเดียว Ni (111) เปรียบเทียบกับฟิล์ม 7.4ML Ni/Pt(111) ชิ้นวัดที่อุณหภูมิห้อง.....	76
50 วงศ์สเทอโรชิสจาก การวัด L-MOKE ของผลักเดียว Ni (111) เปรียบเทียบกับค่า ความริขของเคอร์ของฟิล์ม Ni/Pt(111).....	77
51 วงศ์สเทอโรชิสของ P-MOKE ของผลักเดียว Ni (111) เปรียบเทียบกับ ความริขของ เคอร์ของฟิล์ม Ni/Pt(111).....	78
52 วงศ์สเทอโรชิสของ L-MOKE ของเหล็กแบบปริมาตร เปรียบเทียบกับผลที่วัดได้จาก เครื่อง VSM.....	79
53 วงศ์สเทอโรชิสของ P-MOKE ของเหล็ก.....	79
54 วงศ์สเทอโรชิสของ L-MOKE ของโคบล็ตบริสุทธิ์ (99.995%) เปรียบเทียบกับฟิล์ม 6.5 ML Co/Pt(111).....	80
55 วงศ์สเทอโรชิสของ ปราศจากการณ์ของเคอร์ด้านทัศนศาสตร์แม่เหล็กแบบเชิงข้าของ โคบล็ตบริสุทธิ์ (99.995%).....	81
56 วงศ์สเทอโรชิสของ L-MOKE ของฟิล์มเหล็กหนา 1100 Å เปรียบเทียบกับผลการวัด จากเครื่อง VSM ของฟิล์มเหล็กหนา 7000 Å.....	82
57 วงศ์สเทอโรชิสของ P-MOKE ของฟิล์มเหล็กหนา 1100 Å.....	82

บัญชีภาพประกอบ (ต่อ)

ภาพประกอบ	หน้า
58 การเปลี่ยนแปลงของกำลังแสงเลเซอร์ที่ตกบนไฟโตไดโอดเปรค่าตามการเปลี่ยน แปลงมุนของพลาไวโอเลติวเคราะห์ เมื่อไม่ให้สนาณแม่เหล็กภายนอก ให้สนาณ แม่เหล็กที่กระแซคงที่ 5 A และให้สนาณแม่เหล็กที่กระแซคงที่ -5 A ของเหล็ก.....	83
59 แสดงองค์ประกอบของการพลาไวโอในแนวเอสและพี เมื่อเกิดการหมุนของเคอร์.....	88
60 วงไสสเทอโรชิสจาก L-MOKE ของโคบล็อตเมื่อวัดช้า 4 รอบ.....	89
61 กำลังแสงเลเซอร์ที่เปรค่าตามเวลา เมื่อเปิดเครื่องเลเซอร์ทันที เวลาผ่านไป 30 นาที 1 ชั่วโมง และ 2 ชั่วโมง.....	89

บทที่ 1

บทนำ

1.1 ภูมิหลัง

ในปัจจุบันเป็นที่ทราบกันโดยทั่วไปว่า ความรู้ทางพิสิกส์ด้านสมบัติเชิงแม่เหล็ก (magnetic properties) ของวัสดุ เป็นความรู้สาขานึงที่สำคัญในการพัฒนาเทคโนโลยี สำหรับการผลิตชิ้นส่วนอุปกรณ์ เครื่องใช้ต่างๆ เพื่ออำนวยความสะดวกในการดำเนินชีวิตของมนุษย์ ทั้งนี้ในการนำความรู้ดังกล่าวมาใช้ประโยชน์ นักวิทยาศาสตร์ได้มีการศึกษาและวิจัยทั้งที่เป็นเชิงพื้นฐานทางพิสิกส์ของวัสดุ แม่เหล็กเพื่ออธิบายที่มาและกลไกพื้นฐานของความเป็นแม่เหล็ก และการวิจัยเชิงประยุกต์เพื่อพัฒนาประสิทธิภาพของวัสดุแม่เหล็กที่เหมาะสมในเชิงอุตสาหกรรมควบคู่กันไป ตัวอย่างเช่น การทำแม่เหล็กจากวัสดุที่มีความเป็นแม่เหล็กแรง (hard magnetic materials) ซึ่งเป็นวัสดุที่มีการเปลี่ยนแปลงสภาพแม่เหล็กได้ยาก ต้องใช้วัสดุแม่เหล็กที่มีค่าสภาพแม่เหล็กตกค้าง (remanent magnetization) สูงซึ่งทำให้สามารถรักษาสภาพการเหนี่ยวนำแม่เหล็กเนื่องจากการให้สนามแม่เหล็กภายนอกได้มาก และมีค่าสนามลบล้างแม่เหล็ก (coercive field) สูง ซึ่งต้องใช้สนามแม่เหล็กแรงในการทำลายความเป็นแม่เหล็ก (demagnetize) ของวัสดุ การทำแกนหม้อแปลงต้องเลือกวัสดุที่มีความเป็นแม่เหล็กอ่อน (soft magnetic materials) ซึ่งเป็นวัสดุที่มีค่าสภาพแม่เหล็กตกค้างและค่าสนามลบล้างแม่เหล็กต่ำ และการทำอุปกรณ์บันทึกแม่เหล็ก ต้องใช้วัสดุที่มีค่าสภาพแม่เหล็กตกค้างสูง และมีค่าสนามลบล้างแม่เหล็กที่เหมาะสม เพื่อลดพลังงานในการเขียนข้อมูลให้น้อยที่สุด เป็นต้น

การศึกษาสมบัติเชิงแม่เหล็กของวัสดุอย่างหนึ่งที่นิยมทำกันคือ การวัดค่าความเป็นแม่เหล็ก (magnetization) ของวัสดุและการสร้างวงฮิสเทอเรอิชิสของวัสดุ โดยเครื่องมือที่ใช้สำหรับวัดค่าความเป็นแม่เหล็กของวัสดุนั้นมีอยู่หลายชนิด เช่น (Du Trémolet de Lacheisserie; Gignoux; & Schlenker. 2002: 446-453)

- แมgnition-momentแบบเบรเดียนต์กราฟแสส์ลับ (alternating current gradient magnetometer) เป็นเครื่องมือที่ใช้ความสัมพันธ์ระหว่างความเป็นแม่เหล็กของสารกับความต่างศักย์ที่เกิดขึ้นเมื่อสารตัวอย่างที่ติดอยู่กับไฟอิเล็กทริกควรอثرซึ้งในสนามแม่เหล็ก
- แมgnition-momentแบบอุปกรณ์แทรกสอดทางควอนตัมของตัวนำydingที่ความถี่วิทยุ (radio frequency superconducting quantum interference device magnetometer, RF-SQUID) เป็นเครื่องมือที่ใช้ความสัมพันธ์ระหว่างความเป็น

แม่เหล็กของสารกับกระแทกเนี้ยบนาในวงแหวนตัวนำด้วย ที่เกิดจากการเปลี่ยนแปลงฟลักซ์แม่เหล็ก เมื่อเลื่อนตำแหน่งของสารตัวอย่างในขดลวดตัวนำ

- แมกนิโตร์เมเตอร์แบบตัวอย่างสั้น (vibrating sample magnetometer, VSM) เป็นเครื่องมือที่ใช้ความสัมพันธ์ระหว่างความเป็นแม่เหล็กของสารกับความต่างศักย์ที่เนี้ยบนาบนขดลวดเมื่อให้ตัวอย่างที่ถูกทำให้เป็นแม่เหล็กสั้นชั่วขณะภายในขดลวดนั้น

สำหรับเครื่องมือที่ใช้ในการสร้างวัสดุเทอโรซิสันน์ ที่นิยมใช้มากในปัจจุบันคือ ระบบการวัดปรากฏการณ์ของเคอร์ด้านทัศนศาสตร์แม่เหล็ก (magneto-optic Kerr effect, MOKE) ซึ่งสร้างวัสดุเทอโรซิสโดยใช้ความสัมพันธ์ระหว่างค่าความเข้มแสงของเคอร์ (Kerr intensity) หรือมุมการหมุนของเคอร์ (Kerr rotation, θ_K) ซึ่งเป็นมุมที่เปลี่ยนแปลงไปของรูปแบบการโพลาไรซ์ของแสงที่สะท้อนจากผิวของสารแม่เหล็กตัวอย่างกับค่าสนามแม่เหล็กภายนอกที่ให้กับตัวอย่าง เมื่อเปรียบเทียบกับวิธีอื่น เทคนิค MOKE มีข้อได้เปรียบ คือมีต้นทุนต่ำ ใช้เวลาในการวัดน้อย สามารถวัดเฉพาะบริเวณที่สนใจได้ (local probe) เป็นเทคนิคการวัด ณ ตำแหน่งเดิม (in situ technique) ซึ่งสามารถวัดในขณะที่ทำการถ่ายภาพได้ และสามารถศึกษาสมบัติทางแม่เหล็กของวัสดุในขณะที่ทำการให้สนามแม่เหล็กภายนอกได้ แต่เทคนิค MOKE มีข้อเสียเปรียบคือไม่สามารถวัดค่าสัมบูรณ์ (absolute value) ของความเป็นแม่เหล็กของวัสดุได้เนื่องจากเป็นการวัดความเข้มแสง (I) ซึ่งมีความสัมพันธ์โดยตรงกับค่ามุมการหมุนของเคอร์ โดยที่มุมการหมุนของเคอร์จะมีความสัมพันธ์โดยตรงกับค่าความเป็นแม่เหล็กของวัสดุ

ในประเทศไทยเครื่องมือที่ใช้วัดสมบัติเชิงแม่เหล็กของวัสดุมีน้อยมากและเป็นเครื่องมือที่ไม่ทันสมัย ประกอบกับทางศูนย์ปฏิบัติการวิจัยเครื่องกำเนิดแสงซินโครตรอนแห่งชาติมีความประสงค์ที่จะมีเครื่องมือสำหรับวัดสมบัติเชิงแม่เหล็กของวัสดุไว้ประจำ ณ ศูนย์ปฏิบัติการวิจัยเครื่องกำเนิดแสงซินโครตรอนแห่งชาติ จ. นครราชสีมา เพื่อเป็นเครื่องมือสำหรับนักวิจัยทั่วไป ใช้ศึกษาสมบัติแม่เหล็กของสารแม่เหล็ก ดังนั้นจึงได้ทำการสนับสนุนหุนวิจัยให้ผู้วิจัยได้ศึกษาและสร้างเครื่องมือสำหรับวัดสมบัติทางแม่เหล็กของสารแม่เหล็กทั้งที่เป็นบริماต (bulk) และที่เป็นฟิล์มบาง (thin films) ด้วยเทคนิค MOKE ในอนาคตเครื่องมือนี้จะถูกพัฒนาเป็นระบบการวัดปรากฏการณ์ของเคอร์ด้านทัศนศาสตร์แม่เหล็กพื้นผิว (surface magneto-optic Kerr effect, SMOKE) ให้สามารถใช้วัดฟิล์มบางมากๆ (ultrathin films) ของสารแม่เหล็กในระบบสูญญากาศระดับสูงยิ่ง (ultrahigh vacuum, UHV) ซึ่งทำให้สามารถนำไปใช้ศึกษาสมบัติแม่เหล็กพื้นผิวของสารแม่เหล็กที่เป็นฟิล์มบางมากๆ ได้

1.2 ความมุ่งหมายของการวิจัย

เพื่อศึกษา ออกแบบ และสร้างเครื่องมือวัดปรากฏการณ์ของเคอร์ด้านทัศนศาสตร์แม่เหล็กสำหรับศึกษาสมบัติเชิงแม่เหล็กของสารแม่เหล็กที่เป็นปริมาตรและสารแม่เหล็กที่เป็นพิล์มบาง

1.3 ความสำคัญของการวิจัย

จากการวิจัยนี้ทำให้ได้เครื่องมือที่จะนำไปใช้สำหรับศึกษาสมบัติเชิงแม่เหล็กของสารแม่เหล็กทั้งที่เป็นปริมาตรและเป็นพิล์มบาง

1.4 ขอบเขตของการวิจัย

1. ออกแบบและติดตั้งชุดอุปกรณ์การวัดปรากฏการณ์ของเคอร์ด้านทัศนศาสตร์แม่เหล็กจากอุปกรณ์ที่มีอยู่ เพื่อสามารถวัดปรากฏการณ์ของเคอร์ด้านทัศนศาสตร์แม่เหล็กแบบเชิงข้ามและแบบตามยาวของสารตัวอย่างที่เป็นปริมาตรและเป็นพิล์มบาง

2. ออกแบบแม่เหล็กไฟฟ้าที่ใช้ในระบบ MOKE ด้วยชุดคำสั่งเรเดีย (Radia code) และสร้างแม่เหล็กไฟฟ้าที่สามารถสร้างสนามแม่เหล็กในบริเวณที่วัดสารตัวอย่างได้ประมาณ 0.1 T โดยสนามแม่เหล็กต้องมีองค์ประกอบในทิศทางเดียวในบริเวณที่แสดงผลกระทบผิวสาร

3. เขียนโปรแกรมแลบวิว (Labview) เพื่อทำการต่อประสาน (interface) อุปกรณ์ในระบบ ให้สามารถควบคุม รับส่งข้อมูล และประมวลผลได้โดยระบบคอมพิวเตอร์

4. ทดสอบเครื่องมือที่สร้างขึ้นเพื่อหาความคลาดเคลื่อนของเครื่องมือ

1.5 นิยามศัพท์

1. ปรากฏการณ์ของเคอร์ด้านทัศนศาสตร์แม่เหล็ก หมายถึง ปรากฏการณ์ที่แสงโพลาไรซ์มีระนาบของการโพลาไรซ์เปลี่ยนแปลงไป เมื่อสะท้อนจากผิวของสารแม่เหล็ก

2. ปรากฏการณ์ของเคอร์ด้านทัศนศาสตร์แม่เหล็กพื้นผิว หมายถึง ปรากฏการณ์ที่แสงโพลาไรซ์มีระนาบของการโพลาไรซ์เปลี่ยนแปลงไป เมื่อสะท้อนจากผิวของสารแม่เหล็ก เมื่อพิจารณาที่ขีดจำกัดของพิล์มบางมากๆ (ultrathin films limit) (Yang; Scheinfein. 1993: 6811) ซึ่งมีค่าเป็น $2\pi|n_1|d_1 \ll \lambda$ โดย n_1 เป็นดัชนีทักษะของพิล์มบางสารแม่เหล็ก d_1 เป็นความหนาของพิล์ม และ λ เป็นความยาวคลื่นแสงที่ใช้ (You; Shin. 1998: 543)

3. ปรากฏการณ์ของเคอร์ด้านทัศนศาสตร์แม่เหล็กแบบเชิงข้าม (polar magneto-optic Kerr effect) หมายถึง ปรากฏการณ์ที่แสงโพลาไรซ์มีระนาบของการโพลาไรซ์เปลี่ยนแปลงไป เมื่อสะท้อนจากผิวของสารแม่เหล็กที่มีความเป็นแม่เหล็กในทิศตั้งฉากกับระนาบของผิว

4. ปรากฏการณ์ของเคอร์ด้านทัศนศาสตร์แม่เหล็กแบบตามยาว (longitudinal magneto-optic Kerr effect) หมายถึง ปรากฏการณ์ที่แสงโพลาไรซ์มีระนาบของการโพลาไรซ์เปลี่ยนแปลงไปเมื่อสั่นจากผิวของสารแม่เหล็กที่มีความเป็นแม่เหล็กในทิศขันนากับระนาบของผิวและระนาบของการตัดกรอบ
5. ปรากฏการณ์ของเคอร์ด้านทัศนศาสตร์แม่เหล็กแบบตามขวาง (transverse magneto-optic Kerr effect) หมายถึง ปรากฏการณ์ที่แสงโพลาไรซ์มีระนาบของการโพลาไรซ์เปลี่ยนแปลงไปเมื่อสั่นจากผิวของสารแม่เหล็กที่มีความเป็นแม่เหล็กในทิศขันนากับระนาบของผิวและตั้งฉากกับระนาบของการตัดกรอบ
6. การหมุนของเคอร์ หมายถึง หมุนระหว่างระนาบของการโพลาไรซ์ของแสงตัดกรอบกับระนาบของการโพลาไรซ์ของแสงสั่นจากผิวของสารแม่เหล็ก
7. ความรีของเคอร์ (Kerr ellipticity) หมายถึง มุมที่เกิดจากอาเรกแทนเจน์ของอัตราส่วนระหว่างองค์ประกอบของสนามไฟฟ้าในแนวแกนหลักกับองค์ประกอบของสนามไฟฟ้าในแนวแกนรองซึ่งมีเฟสต่างกันในพิกัดคาร์ทีเซียน
8. สภาพแม่เหล็กตัดค้าง หมายถึง ความเป็นแม่เหล็กที่เกิดขึ้นในสารและยังคงเหลืออยู่หลังจากให้สนามแม่เหล็กบริโภคมากแล้วลดสนามแม่เหล็กจนเป็นศูนย์
9. สนามลบล้างแม่เหล็ก หมายถึง สนามที่ใช้ในการเปลี่ยนค่าความเป็นแม่เหล็กจากค่าสภาพแม่เหล็กตัดค้างให้เป็นศูนย์ โดยจะวัดจากขนาดของสนามที่ให้กับสารในขนาดเพียงพอที่จะกลับทิศความเป็นแม่เหล็กได้

บทที่ 2

ทฤษฎีและเอกสารงานวิจัยที่เกี่ยวข้อง

2.1 ทฤษฎี

2.1.1 ปรากฏการณ์ทัศนศาสตร์แม่เหล็ก

ปรากฏการณ์ทัศนศาสตร์แม่เหล็ก (magneto-optic effect) คือปรากฏการณ์ที่แสงไฟลาเรช์มีระนาบของการไฟลาเรช์เปลี่ยนแปลงไปเมื่อแสงไฟลาเรช์ทะลุผ่านหรือสะท้อนจากผิวของสารแม่เหล็ก ปรากฏการณ์นี้ถูกค้นพบในช่วงกลางของศตวรรษที่ 18 โดยในปี ค.ศ. 1845 ไมเคิล ฟาราเดย์ (Michael Faraday) ได้ค้นพบปรากฏการณ์แบบทะลุผ่าน (transmission effect) จากการทดลองด้วยแสงไฟลาเรช์ทะลุผ่านแท่งแก้วซึ่งวางอยู่ในสนามแม่เหล็กและพบว่าแสงที่ทะลุผ่านออกมามีระนาบของการไฟลาเรช์เปลี่ยนแปลงไปจากเดิมปรากฏการณ์นี้เรียกว่าปรากฏการณ์ของฟาราเดย์ (Faraday effect) ในปี ค.ศ. 1877 จอห์น เคอร์ (Rev. John Kerr) ได้ค้นพบปรากฏการณ์แบบสะท้อน (reflection effect) จากการทดลองด้วยแสงไฟลาเรช์ไปที่ผิวน้ำของข้าวแม่เหล็กไฟฟ้าและพบว่าแสงที่สะท้อนออกมามีระนาบของการไฟลาเรช์เปลี่ยนไปจากเดิมปรากฏการณ์นี้เรียกว่าปรากฏการณ์ของเคอร์ด้านทัศนศาสตร์แม่เหล็ก (Qiu; & Bader. 2000: 1243)

ในปี ค.ศ. 1973 เออร์สกายและสเตอร์น (Erskine; & Stern. 1973: 1329) ได้นำเทคนิคสเปกโตรสโคปีของปรากฏการณ์ของเคอร์ด้านทัศนศาสตร์แม่เหล็ก (magneto-optic Kerr effect spectroscopy) มาใช้ศึกษาความกว้างของแถบพลังงานดี (d-band) และไฟลาเรชันของสปินของอิเล็กตรอน (electron spin polarization, ESP) ของnickel (Ni) โคบล็อก (Co) และเหล็ก (Fe) ในปี ค.ศ. 1985 บาร์เดอร์และมูก (Barder; & Moog. 1987: 3731) ได้พัฒนาเทคนิค MOKE เพื่อนำไปใช้ศึกษาสมบัติเชิงแม่เหล็กของสารฟิล์มบางโดยสามารถสร้างวงอิสเทอเริชั่นของเหล็กที่ปัจจุบันเป็นฟิล์มบางมาก (ultrathin films) บนทองระนาบ (100) (Fe/Au(100)) ได้ และเรียกเทคนิคที่ใช้นี้ว่าเทคนิคการวัดปรากฏการณ์ของเคอร์ด้านทัศนศาสตร์แม่เหล็กฟืนผ้า (SMOKE) ซึ่งเป็นเทคนิคที่ได้รับความนิยมใช้ในการศึกษาสมบัติทางแม่เหล็กของสารฟิล์มบางจนถึงปัจจุบัน

2.1.2 ปรากฏการณ์ของฟาราเดย์

ปรากฏการณ์ของฟาราเดย์เป็นปรากฏการณ์ที่ฟาราเดย์ทำการทดลองด้วยแสงไฟลาเรช์ทะลุผ่านแท่งแก้วซึ่งอยู่ในสนามแม่เหล็ก โดยการให้สนามแม่เหล็กเพื่อแมgniteซึ่งตัวกลาง ในการสร้างปรากฏการณ์ฟาราเดย์สามารถทำได้ในทิศทางเดียวคือในแนวขานานกับลำแสงที่ส่องทะลุสารเนื่องจากความเป็นแม่เหล็กของสารซึ่งมีพิศในแนวขานานกับแนวแกนลำแสงจะส่งผลต่อองค์ประกอบ

ของสนามไฟฟ้าของแสงทำให้ระนาบการโพลาไรซ์ของแสงเกิดการเปลี่ยนแปลง ในขณะที่ความเป็นแม่เหล็กของสารซึ่งมีพิศในแนวตั้งจากกับแนวแกนลำแสงจะไม่ส่งผลต่อองค์ประกอบของสนามไฟฟ้าของแสง แสงที่หลุดผ่านอุกมาจะมีระนาบของการโพลาไรซ์เปลี่ยนไปจากระนาบเดิมเป็นมุม θ_F เรียกว่า การหมุนของฟาราเดย์ (Faraday rotation) โดยที่

$$\theta_F = k_\nu H l \quad (2.1)$$

เมื่อ k_ν คือ ค่าคงที่ของเวอร์เดต (Verdet's constant) มีหน่วยเป็น $\text{arc min} \cdot \text{Oe}^{-1} \cdot \text{m}^{-1}$

H คือ ค่าสนามแม่เหล็ก มีหน่วยเป็น Oe

l คือ ระยะทางที่แสงเดินทางผ่านตัวกลาง มีหน่วยเป็น m

(Robinson. 1964: 1163)

2.1.3 ปรากฏการณ์ของเคอร์ด้านทัศนศาสตร์แม่เหล็ก

ปรากฏการณ์ของเคอร์ด้านทัศนศาสตร์แม่เหล็กเกิดจากอันตรกิริยะระหว่างความเป็นแม่เหล็กของสารแม่เหล็กกับองค์ประกอบสนามไฟฟ้าหรือโพลาไรเซชันของแสงที่ตอกกระหบปีกิวของสาร ซึ่งจะทำให้ระนาบการโพลาไรซ์ของแสงที่สะท้อนจากผิวสารหมุนไปจากระนาบเดิมเป็นมุม θ_K เรียกว่า การหมุนของเคอร์ โดยที่

$$\theta_K = \frac{2 \cdot 10^{-7} n m M}{f(p^2 - h^2 f^2)} \quad (2.2)$$

เมื่อ n คือ พังค์ชันของค่าดัชนีหักเหของสารตัวอย่าง

m คือ พังค์ชันของการกระจายพลังงานในแบบพลังงาน 3d มีหน่วยเป็น J

p คือ พังค์ชันของการกระจายพลังงานในแบบพลังงาน 4s มีหน่วยเป็น J

f คือ ความถี่ของแสง มีหน่วยเป็น Hz

h คือ ค่าคงที่ของแพลงค์ มีค่าเท่ากับ $6.6260693 \times 10^{-34} \text{ J} \cdot \text{s}$

M คือ ค่าความเป็นแม่เหล็ก มีหน่วยเป็น Am^{-1}

(Prutton. 1964: 135)

ในกรณีของเหล็กจะมีค่า $n = 2.4$, $p = 6.4 \times 10^{-19}$ J, $m = 3.2 \times 10^{-20}$ J เมื่อใช้แสงที่มีความยาวคลื่น 633 nm มีความถี่เท่ากับ 4.739×10^{14} Hz มีค่าความเป็นแม่เหล็กอิมตัวที่ 840 G จะคำนวณค่ามุกการหมุนของเคอร์ได้เท่ากับ 5.25 arcmin หรือ 0.08754° มีค่าน้อยกว่าค่าที่วัดได้จริงซึ่งมีค่าประมาณ 24.6 arcmin หรือ 0.41°

2.1.4 รูปแบบของปรากฏการณ์ของเคอร์ด้านทัศนศาสตร์แม่เหล็ก (MOKE configuration)

ในการพิจารณาฐานรูปแบบของปรากฏการณ์ของเคอร์ด้านทัศนศาสตร์แม่เหล็กจะพิจารณาจากทิศทางการให้สนามแม่เหล็กภายในเพื่อทำให้สารมีความเป็นแม่เหล็กซึ่งสามารถจำแนกปรากฏการณ์ของเคอร์ด้านทัศนศาสตร์แม่เหล็กได้เป็น 3 รูปแบบ คือ (Du Trémolet de Lacheisserie; Gignoux; & Schlenker. 2002: 403)

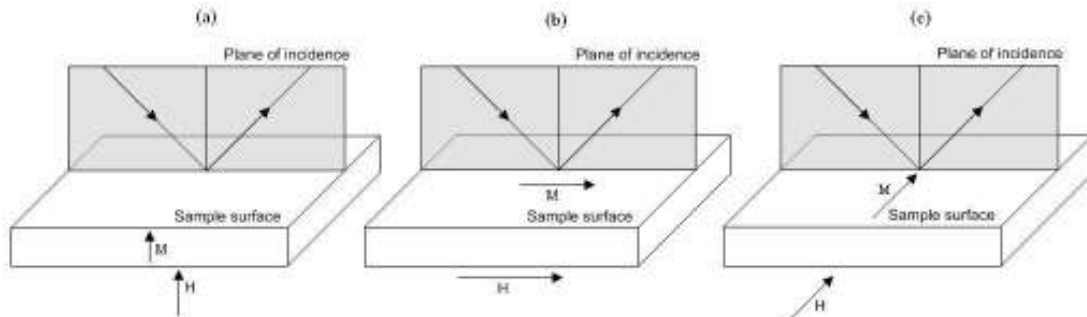
2.1.4.1 ปรากฏการณ์ของเคอร์ด้านทัศนศาสตร์แม่เหล็กแบบเชิงข้าม (polar MOKE, P-MOKE) เกิดจากการฉายแสงที่มีโพลาไรซ์เชิงเส้นต่อกลไบทบบนผิวน้ำของสารตัวอย่าง (sample) โดยให้สนามแม่เหล็กในทิศตั้งฉากกับผิวน้ำของสาร ดังภาพประกอบ 1 (a) แสงที่สะท้อนจะมีทิศการโพลาไรซ์หมุนไปเป็นมุกการหมุนของเคอร์ ตัวอย่างเช่นเมื่อใช้แสงที่มีความยาวคลื่น 633 nm ต่อกลไบทบสารตัวอย่างซึ่งเป็นโคบอลต์ เหล็ก และนิกเกิล ที่อุณหภูมิห้อง แสงที่สะท้อนจะมีระนาบของการโพลาไรซ์หมุนไปเป็นมุม 0.30° 0.41° และ 0.13° ตามลำดับ

2.1.4.2 ปรากฏการณ์ของเคอร์ด้านทัศนศาสตร์แม่เหล็กแบบตามยาว (longitudinal MOKE, L-MOKE) เกิดจากการฉายแสงที่มีโพลาไรซ์เชิงเส้นต่อกลไบทบบนผิวน้ำของสารตัวอย่างที่ให้สนามแม่เหล็กในทิศข้างน้ำกับผิวน้ำของสารและระนาบการต่อกลไบทบ ดังภาพประกอบ 1(b) ถ้าแสงที่ต่อกลไบทบมีทิศการโพลาไรซ์ในแนวตั้งจาก (s-polarization) หรือในแนวข้าง (p-polarization) กับระนาบต่อกลไบทบเพียงอย่างเดียวจะทำให้แสงที่สะท้อนออกไปเกิดความรีของเคอร์ (ε_K) โดยมีแกนหลักของวงรีทำมุกกับทิศการโพลาไรซ์เดิมเท่ากับค่ามุกการหมุนของเคอร์ ขนาดของมุกการหมุนและความรีของเคอร์จะขึ้นอยู่กับความยาวคลื่นของแสงที่ต่อกลไบทบ อุณหภูมิ และมุกต่อกลไบทบ

2.1.4.3 ปรากฏการณ์ของเคอร์ด้านทัศนศาสตร์แม่เหล็กแบบตามขวาง (transverse MOKE, T-MOKE) เกิดจากการฉายแสงที่มีโพลาไรซ์เชิงเส้นต่อกลไบทบบนผิวน้ำของสารตัวอย่างที่ให้สนามแม่เหล็กในทิศข้างน้ำกับผิวน้ำของสารและตั้งฉากกับระนาบต่อกลไบทบ ดังภาพประกอบ 1 (c) สำหรับแสงต่อกลไบทบที่มีทิศการโพลาไรซ์ในแนวตั้งจากหรือในแนวข้างกับระนาบต่อกลไบทบจะไม่ทำให้เกิดการหมุนของทิศการโพลาไรซ์เมื่อเปลี่ยนแปลงค่าความเป็นแม่เหล็ก แต่การลับทิศของความเป็นแม่เหล็กจะทำให้ความเข้มของแสงสะท้อนมีค่าเปลี่ยนไปสำหรับแสงต่อกลไบทบที่มีโพลาไรเซชันใน

แนวขานาน โดยจะวัดปรากฏการณ์นี้ในรูปของอัตราส่วนของค่าการเปลี่ยนแปลงสภาพการสะท้อน (reflectivity) ต่อค่าสภาพการสะท้อนของสารตัวอย่าง ($\Delta R/R$) ซึ่งจะเป็นสัดส่วนโดยตรงกับค่าความเป็นแม่เหล็กเฉลี่ยในบริเวณที่วัด ค่า $\Delta R/R$ จะขึ้นอยู่กับความยาวคลื่นแสงที่ตกกระทบ อุณหภูมิ และมุมตกกระทบของแสง ซึ่งมีค่าประมาณ 65° ถึง 80° สำหรับโลหะ

ปรากฏการณ์ของเคอร์ต้ามขวางถูกใช้ในการศึกษาพื้นผิวของฟิล์มบางแม่เหล็กโดยเฉพาะโลหะแทรนชิชัน 3d (3d transition metal) ตัวอย่างเช่นการวัดค่า $\Delta R/R$ ของฟิล์มโคบล็อกที่อุณหภูมิห้องโดยใช้แสงที่มีความยาวคลื่น 700 nm มุมตกกระทบ 71° และแสงที่มีความยาวคลื่น 632.8 nm มุมตกกระทบ 60° จะมีค่าสูงสุดประมาณ 1.5×10^{-2} และ 1.1×10^{-2} ตามลำดับ

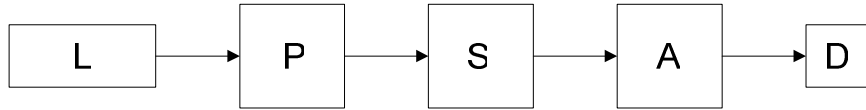


ภาพประกอบ 1 ทิศของสนามแม่เหล็กที่ให้กับสารตัวอย่างของปรากฏการณ์ของเคอร์ต้านทัศนศาสตร์แม่เหล็ก (a) แบบเชิงข้า (b) แบบตามยาว และ (c) แบบตามขวาง

ที่มา: Homan Yuen. (2000). *Construction of a Surface Magneto-Optic Kerr Effect Apparatus for the Measurement of Magnetic Properties of Thin Films.* p. 7.

2.1.5 อิลลิปโซเมทรี (ellipsometry)

อิลลิปโซเมทรีเป็นเทคนิคทางทัศนศาสตร์สำหรับตรวจวัดคุณลักษณะของรอยต่อหรือฟิล์มของตัวกลางสองชนิดโดยใช้การสังเกตการเปลี่ยนแปลงการไฟลาเร็ซของแสงที่สะท้อนหรือทะลุผ่านรอยต่อหรือฟิล์มที่ต้องการศึกษา โดยจะเรียกเครื่องมือนี้ว่าอิลลิปโซมิเตอร์ (ellipsometer)



ภาพประกอบ 2 แผนภาพแสดงขั้นตอนการทำงานของอิลลิปโซเมตเตอร์

ที่มา: R. M. A. Azzam; & N. M. Bashara. (1987). *Ellipsometry and Polarized Light.* p. 154.

แผนภาพแสดงขั้นตอนการทำงานของอิลลิปโซเมตเตอร์แสดงดังภาพประกอบ 2 แหล่งกำเนิดแสง (L) จะสร้างลำแสงขนาน (well-collimated) ที่เป็นแสงเอกง蓉 (monochromatic) เดินทางผ่านโพลาไรเซอร์ (P) ซึ่งทำหน้าที่เป็นโพลาไรเซอร์ควบคุม (controlled polarizer) สำหรับกำหนดทิศทางการโพลาไรซ์ของแสง ลำแสงนี้จะไปตกกระทบสารตัวอย่าง (S) ที่ต้องการศึกษาและเกิดขันตรกิจิยาต่อ กันทำให้โพลาไรซ์ชันของแสงที่เดินทางออกจากสารตัวอย่างเปลี่ยนแปลงไป ลำแสงจะเดินทางผ่านโพลาไรเซอร์ (A) ซึ่งทำหน้าที่เป็นโพลาไรซ์วิเคราะห์ (analyzer polarizer) เพื่อตรวจวัดสถานะของการโพลาไรซ์ที่เปลี่ยนแปลงไปจากการเปลี่ยนแปลงความเข้มแสงที่ตกลงบนโฟโตเด็ตเตอร์ (D) (Azzam; & Bashara. 1987: 153) เมื่อพิจารณาข้ออันตรกิจิยะระหว่างคลื่นแสงกับสารตัวอย่างเป็นเชิงเส้นและความถี่ของคลื่นไม่เปลี่ยนแปลง สารตัวอย่างจะทำให้เกิดการเปลี่ยนแปลงสถานะของการโพลาไรซ์ของคลื่นได้ใน 3 รูปแบบ คือ

2.1.5.1 การสะท้อนหรือการหักเห เมื่อคลื่นแสงสะท้อนหรือหักเหบริเวณรอยต่อของตัวกลางสองชนิดที่แตกต่างกันจะทำให้สถานการณ์โพลาไรซ์ของแสงเปลี่ยนในทันที ซึ่งเกิดจากองค์ประกอบการโพลาไรซ์เชิงเส้นของแสงในแนวขนาน และแนวตั้งจากมีสัมประสิทธิ์การสะท้อนของเฟรนแนล (Fresnel reflection coefficient) และสัมประสิทธิ์การทะลุผ่าน (transmission coefficient) แตกต่างกัน โดยเรียกว่าอิลลิปโซเมทรีสะท้อน (reflection ellipsometry) หรืออิลลิปโซเมทรีพื้นผิว (surface ellipsometry) ซึ่งถูกนำไปใช้วัดสมบัติทางทัศนศาสตร์และการเปลี่ยนแปลงที่ขึ้นอยู่กับความถี่ของสาร สามารถวัดได้ทั้งในเฟสของแข็งและของเหลวซึ่งอาจมีอิโซทรอปี (isotropy) หรือแอนไอโซทรอปี (anisotropy) ทางทัศนศาสตร์ และสามารถวัดได้ทั้งในรูปแบบของบริมาตราและพิล์มบางโดยสามารถตรวจวัดปรากฏการณ์บนพื้นผิวที่เกิดจากการปลูกฟิล์มหรือขัดฟิล์มที่มีความหนาตั้งแต่ชั้บโมโนเลเยอร์ (submonolayer) ขึ้นไป อีกทั้งยังสามารถวัดปัจจัยทางฟิสิกส์ที่มีผลกระทบต่อสมบัติทางทัศนศาสตร์ได้ เช่น สนามไฟฟ้า สนามแม่เหล็ก ความเค้น และคุณภาพ เป็นต้น

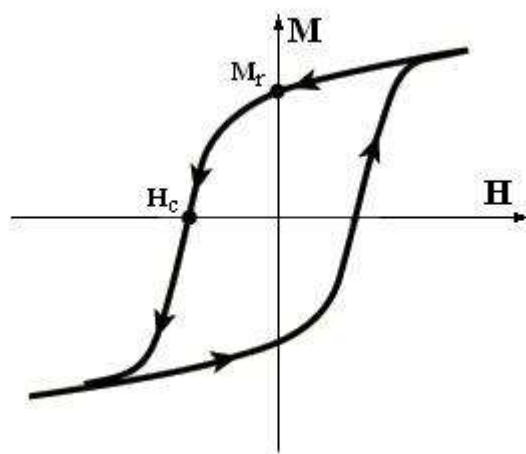
2.1.5.2 การทดสอบโดยสถานะของการโพลารைซ์ของแสงจะเปลี่ยนแปลงอย่างต่อเนื่องตลอดเวลาที่แสงเดินทางอยู่ภายในตัวกล้อง เรียกว่าอิลลิปโซเมทรีฉลุผ่าน (transmission ellipsometry) หรือโพลาริเมทรี (polarimetry) เป็นวิธีการวิเคราะห์ที่สำคัญทางฟิสิกส์เคมีซึ่งสามารถนำไปใช้วัดสารตัวอย่างที่เป็นปริมาตรได้ทุกเพส สามารถวัดการหมุนทางทัศนศาสตร์ธรรมชาติ (natural optical rotation) และไดโครอิซึมวงกลม (circular dichroism) สามารถวัดการหักเหสองแนว เชิงเส้นธรรมชาติ (natural linear birefringence) และไดโครอิซึมเชิงเส้น (linear dichroism) และสามารถวัดการหักเหสองแนวเชิงวงรีธรรมชาติ (natural elliptical birefringence) และไดโครอิซึมวงรี (elliptical dichroism) อีกทั้งยังสามารถวัดแอนโอลิซโทรบีทางทัศนศาสตร์ที่เกิดจากการเหนี่ยวนำและการกระจายความยาวคลื่นของปรากฏการณ์ต่างๆ เช่นการหักเหสองแนวอย่างต่อเนื่อง (streaming birefringence) สภาพยืดหยุ่นของแสง (photoelasticity) ปรากฏการณ์ของฟาราเดีย ปรากฏการณ์ของเคอร์ และปรากฏการณ์ของคอตตอน-莫ตัน (Cotton-Mouton effects) โดยวัดถูประสงค์หลัก คือ การใช้ศึกษาตรวจสอบโครงสร้างไมเดกูลของสาร

2.1.5.3 การกระเจิง โดยเกิดขึ้นเมื่อคลื่นแสงเดินทางในตัวกลางที่มีดัชนีทึบเท่าไม่เอกพันธ์ (inhomogeneous) และมีคุณสมบัติของ การกระเจิง เช่น ในละอองลอย (aerosols) หรืออิมลชัน (emulsion) โดยเรียกว่า อิลลิปโซเมทริกกระเจิง (scattering ellipsometry) ซึ่งถูกประยุกต์ใช้ในอุตสาหกรรม เช่น การวัดความหนาแน่นและขนาดอนุภาคที่กระจายในสารละลาย colloidal และละอองลอย การประยุกต์ใช้ในอุตุนิยมวิทยา เช่น การศึกษาหมอก เมฆ และฝน การประยุกต์ใช้ในทางด้านศาสตร์ เช่น การศึกษาบรรยายกาศของดาวเคราะห์ เป็นต้น

2.1.6 ວົງສີສເທອຣິຈີສ

ในการใช้ระบบการวัด MOKE และ SMOKE เพื่อศึกษาคุณลักษณะความเป็นแม่เหล็กของสาร โดยส่วนมากนิยมวัดในรูปของวงแหวนไฮสเทอโรซิส ซึ่งเป็นกราฟที่แสดงความสัมพันธ์ระหว่างค่าความเป็นแม่เหล็ก (M) กับสนามแม่เหล็กภายนอกที่ให้กับสาร (H) ดังแสดงในภาพประกอบ 2 โดยสมบัติของวงแหวนไฮสเทอโรซิส (Bertotti. 1998: 11) ที่ถูกนำมาพิจารณาได้แก่ ค่าสภาพแม่เหล็กตกค้าง (M_r) ในสาร ซึ่งแสดงความเป็นแม่เหล็กที่เกิดขึ้นในสารหลังจากให้สนามแม่เหล็กปริมาณมากแล้วลดสนามแม่เหล็กจนเป็นศูนย์ และสนามลบล้างแม่เหล็ก (H_c) ซึ่งเป็นสนามที่ใช้ในการเปลี่ยนค่าความเป็นแม่เหล็กจากค่าสภาพแม่เหล็กตกค้างให้เป็นศูนย์ โดยจะวัดจากขนาดของสนามที่ให้กับสารในขนาดเพียงพอที่จะกลับทิศความเป็นแม่เหล็กได้ โดยสนามลบล้างแม่เหล็กจะอยู่ในช่วงตั้งแต่ 1 Am^{-1} ถึง 10^6 Am^{-1}

โดยทั่วไปสารแม่เหล็กสามารถแบ่งออกเป็น 2 ชนิด คือ สารแม่เหล็กอ่อนและสารแม่เหล็กแข็ง โดยที่สารแม่เหล็กอ่อนเป็นสารที่ทำให้เป็นแม่เหล็กได้ง่ายโดยจะมีค่าสนามลบล้างแม่เหล็กต่ำ เช่น ในโลหะผสมของซิลิกอนและเหล็ก (Si-Fe alloys) และเหล็กคาร์บอนต่ำ (low carbon steels) จะมีค่าประมาณ $50-100 \text{ Am}^{-1}$ ในโลหะผสมของซิลิกอนและเหล็กแบบกรานเรียง (grain-oriented Si-Fe alloys) โลหะเฟริร์เรตของแมกนีต-สังกะสี (Mn-Zn ferrite) และโลหะเฟริร์เรตของนิกเกิล-สังกะสี (Ni-Zn ferrite) จะมีค่าประมาณ 10 Am^{-1} สำหรับสารแม่เหล็กอ่อนมากๆ จะเป็นโลหะผสมของนิกเกิล เช่น โลหะผสมนิกเกิล 80% เหล็ก 20% หรือเพิร์มอัลลอย (permalloys) จะมีค่าสนามลบล้างแม่เหล็กต่ำกว่า 1 Am^{-1} ส่วนสารแม่เหล็กแข็งเป็นสารที่มีค่าสนามลบล้างแม่เหล็กสูง เช่น ในอัลนิโคอัลลอย (alnico alloys) ซึ่งเป็นโลหะผสมของเหล็ก นิกเกิล โคบอลต์ อะลูมิเนียม และทองแดง จะมีค่าประมาณ $50-100 \text{ kAm}^{-1}$ ในสารเฟริร์เรต์เอกซ์โซนัลซึ่งเป็นออกไซด์ของเหล็ก เช่น แบเวียมโคร์โทเฟริร์เรต์ ($\text{BaFe}_{12}\text{O}_{19}$) หรือ สารต้านเตี้ยมโคร์โทเฟริร์เรต์ ($\text{SrFe}_{12}\text{O}_{19}$) จะมีค่าสนามลบล้างแม่เหล็กประมาณ 300 kAm^{-1} ในสารแม่เหล็กที่เป็นธาตุหายาก (rare earth) เช่น ชาเมรียม-โคบอลต์ (Sm-Co) หรือนีโไดเมียม-เหล็ก-บอรอน (Nd-Fe-B) จะมีค่ามากกว่า 1000 kAm^{-1}



ภาพประกอบ 3 วงชีสเทอเรอิซิสที่แสดงค่าสภาพแม่เหล็กต่อกันและค่าสนามลบล้างแม่เหล็กในสาร

ที่มา: Giorgio Bertotti. (1998). *Hysteresis in Magnetism*. p. 9.

วงอิสเทอโรชิสที่ได้จากเครื่องมือวัด MOKE และ SMOKE จะสร้างขึ้นจากความสัมพันธ์ระหว่างค่าสนามแม่เหล็กภายนอกและมุกการหมุนของเคอร์ซึ่งแปรผันตรงกับความเป็นแม่เหล็กของสารตัวอย่าง การวัดปรากฏการณ์ของเคอร์จะให้ข้อมูลบริเวณผิวของสารในระยะที่แสงทะลุผ่านลงไป ได้ซึ่งจะได้วงอิสเทอโรชิสที่แตกต่างจากที่ได้ในปริมาตรสาร ซึ่งความแตกต่างนี้แสดงให้เห็นว่าโดยmen แม่เหล็กในปริมาตรสารมีพิเศษของความเป็นแม่เหล็กแตกต่างไปจากโดยmenบริเวณผิวของสาร การเบรียบเทียบวงอิสเทอโรชิสที่เกิดจากการให้สนามในทิศที่การเปลี่ยนแปลงความเป็นแม่เหล็กทำได้ง่าย และยกจะทำให้ทราบถึงความเป็นแอนไอโซทร็อปของฟิล์มและค่าสนามลบล้างแม่เหล็กหรือค่าสภาพแม่เหล็กตกค้างในสารอีกทั้งยังใช้ในการศึกษาการเปลี่ยนแปลงเฟส (phase transition) ในสารแม่เหล็ก

2.1.7 รูปนัยนิยมมหترศน์ของปรากฏการณ์ของเคอร์ด้านทัศนศาสตร์แม่เหล็ก (macroscopic formalism of the magneto-optic Kerr effect)

การวิเคราะห์รูปนัยนิยมมหตรศน์ของปรากฏการณ์ของเคอร์ด้านทัศนศาสตร์แม่เหล็ก จะพิจารณาผลของความไม่สมมาตรของสมาชิก (element) ในไดอีเล็กทริกเทนเซอร์ (dielectric tensor) ของตัวกลางที่มีผลต่อองค์ประกอบของสนามไฟฟ้าของแสงที่เดินทางผ่าน โดยแมกเวลล์ (James Clerk Maxwell) ได้แสดงว่าแสงที่มีโพลาไรซ์เชิงเส้นเกิดจากผลกระทบขององค์ประกอบการโพลาไรซ์เชิงวงกลมสองชุดและปรากฏการณ์ของฟาราเดียเป็นผลของความแตกต่างของความเร็วในการแผ่คลื่นของรูปแบบเชิงวงกลมทั้งสองในตัวกลางที่เป็นแม่เหล็ก ซึ่งจะเกิดกระบวนการได้สองแบบ (Qiu; & Bader. 2000: 1243) คือ แบบที่หนึ่งรูปแบบ (mode) การโพลาไรซ์เชิงวงกลมทั้งสองเกิดการเลื่อนเฟส (phase shift) แตกต่างกันเนื่องจากความเร็วในการแผ่คลื่นแตกต่างกัน ส่งผลให้เกิดการหมุนของรูปแบบการโพลาไรซ์แบบที่สองอัตราการดูดคลื่น (absorption rate) ในตัวกลางของรูปแบบการโพลาไรซ์เชิงวงกลมทั้งสองแตกต่างกันส่งผลให้เกิดความรี (ellipticity)

การวิเคราะห์รูปนัยนิยมจะเริ่มจากการพิจารณาให้แสงที่มีโพลาไรซ์เชิงเส้น (linearly polarized) เป็นคลื่นรูปแบบเอกพันธ์ทั่วไป (general homogeneous plane wave) (Jackson. 1999: 300) ที่มีองค์ประกอบของสนามไฟฟ้าอยู่ในทิศ \hat{e}_1 และ \hat{e}_2 ซึ่งเป็นอิสระต่อกัน ดังแสดงในสมการ (2.3) โดย \tilde{E}_1 และ \tilde{E}_2 เป็นขนาดของสนามไฟฟ้าที่เป็นค่าเชิงช้อนเพื่อสามารถพิจารณาความต่างเฟสระหว่างองค์ประกอบทั้งสองของสนามไฟฟ้าได้

$$\mathbf{E}(\mathbf{x}, t) = (\hat{e}_1 \tilde{E}_1 + \hat{e}_2 \tilde{E}_2) e^{i\mathbf{k} \cdot \mathbf{x} - i\omega t} \quad (2.3)$$

โดยสมการ (2.3) สามารถแสดงได้ในรูปแบบที่สมนัยกันขององค์ประกอบการโพลาไรซ์เชิงวงกลม (circularly polarized) ดังสมการ (2.4) โดยที่ \tilde{E}_+ และ \tilde{E}_- เป็นขนาดเดิมซึ่งกันขององค์ประกอบ สนามไฟฟ้าที่มีโพลาไรซ์เชิงวงกลมวนซ้าย (left circularly polarized) และโพลาไรซ์เชิงวงกลมวนขวา (right circularly polarized) เมื่อผู้สั่งเกตุณคงไปยังทิศที่แสงเคลื่อนที่มา โดย \hat{e}_+ และ \hat{e}_- เป็นเวกเตอร์ หน่วยในทิศวนซ้ายและวนขวา ตามลำดับ

$$\mathbf{E}(\mathbf{x}, t) = (\hat{e}_+ \tilde{E}_+ + \hat{e}_- \tilde{E}_-) e^{i\mathbf{k} \cdot \mathbf{x} - i\omega t} \quad (2.4)$$

$$\text{โดย } \tilde{E}_+ = \frac{1}{\sqrt{2}}(\tilde{E}_1 - i\tilde{E}_2) \quad \tilde{E}_- = \frac{1}{\sqrt{2}}(\tilde{E}_1 + i\tilde{E}_2) \quad \hat{e}_+ = \frac{1}{\sqrt{2}}(\hat{e}_1 + i\hat{e}_2) \text{ และ } \hat{e}_- = \frac{1}{\sqrt{2}}(\hat{e}_1 - i\hat{e}_2)$$

กรณีที่ \tilde{E}_+ และ \tilde{E}_- มีการคูณกันในตัวกลางต่างกันจะทำให้มีขนาดแตกต่างกันส่งผลให้ $\mathbf{E}(\mathbf{x}, t)$ มีโพลาไรซ์เชิงวงรี (elliptically polarized) ซึ่งมีความยาวครึ่งแกนหลักเป็น $\frac{1}{\sqrt{2}}(\tilde{E}_+ + \tilde{E}_-)$ และความยาวครึ่งแกนรองเป็น $\frac{i}{\sqrt{2}}(\tilde{E}_+ - \tilde{E}_-)$ โดยค่าอาาร์กแทนเจนต์ของอัตราส่วนระหว่างความยาวครึ่งแกนรองต่อความยาวครึ่งแกนหลัก คือ ความรีของเคอร์ (ε_K) จะมีค่าเท่ากับ (Reichl. 2005:17)

$$\varepsilon_K = \tan^{-1} \frac{|\tilde{E}_+ - \tilde{E}_-|}{|\tilde{E}_+ + \tilde{E}_-|} \quad (2.5)$$

และถ้าความเร็วในการแฝ่คลื่นในตัวกลางของ \tilde{E}_+ และ \tilde{E}_- แตกต่างกันทำให้องค์ประกอบทั้งสองมีเฟสเป็น ϕ_+ และ ϕ_- ตามลำดับ เมื่อรวมองค์ประกอบทั้งสองเข้าด้วยกันความต่างเฟส (Δ) จะส่งผลให้แกนหลักของวงรีหมุนไปจากแนวเดิมเท่ากับการหมุนของเคอร์ (θ_K) ซึ่งจะมีค่าเท่ากับครึ่งหนึ่งของความต่างเฟสระหว่างองค์ประกอบทั้งสอง เมื่อ $\Delta = \phi_+ - \phi_-$ โดย

$$\theta_K = \frac{\Delta}{2} \text{ และ } \tan \phi_{\pm} = \frac{\text{Im}(\tilde{E}_{\pm})}{\text{Re}(\tilde{E}_{\pm})} \quad (2.6)$$

รูปแบบขององค์ประกอบการโพลาไรซ์เชิงเส้น องค์ประกอบการโพลาไรซ์เชิงวงกลม องค์ประกอบการโพลาไรซ์เชิงวงรี การหมุนของเคอร์ และความรีของเคอร์ แสดงได้ดังภาพประกอบ 4

ในกรณีที่คลื่นรบกวนเป็นแบบคลื่นรบกวนเดล่อนที่สนามไฟฟ้าตามขวางเอกภูมิ (uniform transverse electric travelling plane wave, TE) จะสามารถเขียนสมการของสนามไฟฟ้าในรูปของ ใจนส์เวกเตอร์ (Jones vector, $\mathbf{E}(0)$) ได้เป็น (Azzam; & Bashara. 1987: 15)

$$\mathbf{E}(\mathbf{x}, t) = \operatorname{Re} \left[\mathbf{E}(0) e^{i\mathbf{k} \cdot \mathbf{x} - i\omega t} \right] \quad (2.7)$$

โดยใจนส์เวกเตอร์สำหรับระบบพิกัดคาร์ทีเซียน คือ

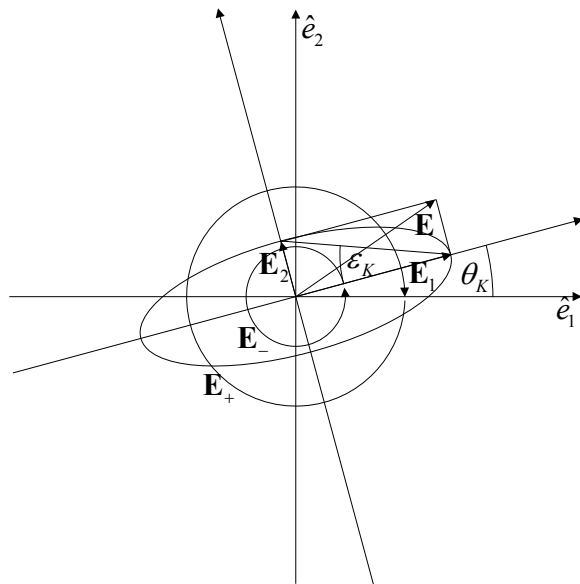
$$\mathbf{E}(0) = \begin{bmatrix} \tilde{E}_1 \\ \tilde{E}_2 \end{bmatrix} = \begin{bmatrix} 1 \\ 0 \end{bmatrix} \tilde{E}_1 + \begin{bmatrix} 0 \\ 1 \end{bmatrix} \tilde{E}_2 = \xi_x \tilde{E}_1 + \xi_y \tilde{E}_2 \quad (2.8)$$

และใจนส์เวกเตอร์สำหรับระบบวงกลม คือ

$$\mathbf{E}(0) = \frac{1}{\sqrt{2}} \begin{bmatrix} 1 & 1 \\ -i & i \end{bmatrix} \begin{bmatrix} \tilde{E}_+ \\ \tilde{E}_- \end{bmatrix} = \frac{1}{\sqrt{2}} \begin{bmatrix} 1 \\ -i \end{bmatrix} \tilde{E}_+ + \frac{1}{\sqrt{2}} \begin{bmatrix} 1 \\ i \end{bmatrix} \tilde{E}_- = \frac{1}{\sqrt{2}} \xi_+ \tilde{E}_+ + \frac{1}{\sqrt{2}} \xi_- \tilde{E}_- \quad (2.9)$$

โดย ξ_x และ ξ_y คือ เวกเตอร์ฐานหลัก (basis vector) สำหรับระบบพิกัดคาร์ทีเซียน
 ξ_+ และ ξ_- คือ เวกเตอร์ฐานหลักสำหรับระบบวงกลม

เมื่อพิจารณาคลื่นที่ทำแน่น $\mathbf{x} = 0$ สำหรับคลื่นเอกงาค (monochromatic wave) ซึ่งมีการสั่นแบบพังก์ชันไซน์ด้วยความถี่คงที่จะสามารถลดรูปพจน์ของเวลา ทำให้สามารถแทนสมการของสนามไฟฟ้าด้วยใจนส์เวกเตอร์ได้



ภาพประกอบ 4 องค์ประกอบของการโพลาไรซ์เชิงเส้น องค์ประกอบการโพลาไรซ์เชิงวงกลม องค์ประกอบการโพลาไรซ์เชิงวงรี การหมุนของเคอร์ และความว้าวของเคอร์

ที่มา: Irene Reichl. (2005). *Theoretical Investigations of Magneto-Optical Properties of Multilayer Systems.* p. 18.

พิจารณาปรากฏการณ์ของเคอร์ด้านทัศนศาสตร์แม่เหล็กในกรณีที่แสงตกกระทบทำมุมตั้งฉาก (normal incidence) กับระนาบของผิวสารตัวอย่าง เมทริกซ์การสะท้อน (reflectivity matrix, \mathfrak{R}) บริเวณผิวอยู่ต่อจะเป็น

$$\mathfrak{R}_{surf}^{xy} = \begin{pmatrix} \tilde{r}_{xx} & \tilde{r}_{xy} \\ \tilde{r}_{yx} & \tilde{r}_{yy} \end{pmatrix} \quad (2.10)$$

ในกรณีที่สนามไฟฟ้าตกกระทบมีการสั่นอยู่ในแนวแกน x จะแทนด้วย $\mathbf{E} = (E_x, 0)$ คลื่นสะท้อนจะมีองค์ประกอบสนามไฟฟ้าแสดงในรูปเวกเตอร์ฐานหลักสำหรับระบบวงกลมได้เป็น

$$\mathbf{E}'' = \frac{\tilde{a}_+}{2} \begin{pmatrix} 1 \\ i \end{pmatrix} E_x + \frac{\tilde{a}_-}{2} \begin{pmatrix} 1 \\ -i \end{pmatrix} E_x \equiv \begin{pmatrix} \tilde{r}_{xx} \\ \tilde{r}_{yx} \end{pmatrix} E_x \quad (2.11)$$

โดย $\tilde{a}_+ = a_+ e^{i\phi_+} = \tilde{r}_{xx} - i\tilde{r}_{yx}$ และ $\tilde{a}_- = a_- e^{i\phi_-} = \tilde{r}_{xx} + i\tilde{r}_{yx}$

จากสมการ (2.5) และ (2.6) จะได้ค่าการหมุนและความริขของเคอร์เป็น

$$\theta_K = \frac{1}{2}(\phi_+ - \phi_-) \text{ โดย } \phi_{\pm} = \tan^{-1} \left(\frac{\text{Im}(\tilde{a}_{\pm})}{\text{Re}(\tilde{a}_{\pm})} \right) \quad (2.12)$$

$$\varepsilon_K = \tan^{-1} \frac{|\tilde{a}_+| - |\tilde{a}_-|}{|\tilde{a}_+| + |\tilde{a}_-|} \quad (2.13)$$

ในกรณีที่สนามไฟฟ้าตกรอบมีการสั่นอยู่ในแนวแกน y จะแทนด้วย $\mathbf{E} = (0, E_y)$ คลื่นสะท้อนจะมีองค์ประกอบสนามไฟฟ้าแสดงในรูปเวกเตอร์ฐานหลักสำหรับระบบวงกลมเป็น

$$\mathbf{E}'' = \frac{\tilde{b}_+}{2} \begin{pmatrix} 1 \\ i \end{pmatrix} E_y + \frac{\tilde{b}_-}{2} \begin{pmatrix} 1 \\ -i \end{pmatrix} E_y \equiv \begin{pmatrix} \tilde{r}_{xy} \\ \tilde{r}_{yy} \end{pmatrix} E_y \quad (2.14)$$

โดย $\tilde{b}_+ = b_+ e^{i\phi_+} = \tilde{r}_{xy} - i\tilde{r}_{yy}$ และ $\tilde{b}_- = b_- e^{i\phi_-} = \tilde{r}_{xy} + i\tilde{r}_{yy}$

ค่าการหมุนและความริขของเคอร์เป็นเช่นเดียวกับสมการ (2.12) และ (2.13) โดยเปลี่ยนค่า \tilde{a}_{\pm} เป็น \tilde{b}_{\pm} เมื่อพิจารณาในกรณีที่แสงตกรอบทำมุมตกรอบเป็นมุมเอียง (oblique incidence) กับระนาบของผิวสารตัวอย่างดังภาพประกอบ 5 เมทริกซ์การสะท้อนจะเป็น

$$\mathfrak{R}_{surf}^{sp} = \begin{pmatrix} \tilde{r}_{ss} & \tilde{r}_{sp} \\ \tilde{r}_{ps} & \tilde{r}_{pp} \end{pmatrix} \quad (2.15)$$

ในกรณีที่องค์ประกอบของสนามไฟฟ้าอยู่ในแนวขานานกับระนาบตกรอบ (p-polarized wave) สนามไฟฟ้าตกรอบจะมีการสั่นอยู่ในแนวแกน p จะแทนด้วย $\mathbf{E} = (E_p, 0)$ คลื่นสะท้อนจะมีองค์ประกอบสนามไฟฟ้าแสดงในรูปเวกเตอร์ฐานหลักสำหรับระบบวงกลมเป็น

$$\mathbf{E}'' = \frac{\tilde{a}_+}{2} \begin{pmatrix} 1 \\ i \end{pmatrix} E_p + \frac{\tilde{a}_-}{2} \begin{pmatrix} 1 \\ -i \end{pmatrix} E_p \equiv \begin{pmatrix} \tilde{r}_{pp} \\ \tilde{r}_{sp} \end{pmatrix} E_p \quad (2.16)$$

โดย $\tilde{a}_+ = a_+ e^{i\phi_+} = \tilde{r}_{pp} - i\tilde{r}_{sp}$ และ $\tilde{a}_- = a_- e^{i\phi_-} = \tilde{r}_{pp} + i\tilde{r}_{sp}$

ในกรณีที่องค์ประกอบของสนามไฟฟ้าอยู่ในแนวตั้งจากกับระนาบตกกระทบ (s-polarized wave) สนามไฟฟ้าตัดกับระนาบจะมีการสั่นอยู่ในแนวแกน s จะแทนด้วย $\mathbf{E} = (0, E_s)$ คลื่นสะท้อนจะมีองค์ประกอบสนามไฟฟ้าแสดงในรูปเวกเตอร์ฐานหลักสำหรับระบบวงกลมเป็น

$$\mathbf{E}'' = \frac{\tilde{a}_+}{2} \begin{pmatrix} 1 \\ i \end{pmatrix} E_s + \frac{\tilde{a}_-}{2} \begin{pmatrix} 1 \\ -i \end{pmatrix} E_s \equiv \begin{pmatrix} \tilde{r}_{ps} \\ \tilde{r}_{ss} \end{pmatrix} E_s \quad (2.17)$$

โดย $\tilde{b}_+ = b_+ e^{i\phi_+} = \tilde{r}_{ps} - i\tilde{r}_{ss}$ และ $\tilde{b}_- = b_- e^{i\phi_-} = \tilde{r}_{ps} + i\tilde{r}_{ss}$

การหาค่าการอนุนัติและความเร็วของเคอร์ทำได้โดยแทนค่าสัมประสิทธิ์ \tilde{a}_\pm และ \tilde{b}_\pm ในสมการ (2.12) และ (2.13) ตามลำดับ

การพิจารณาปรากฏการณ์ของเคอร์ด้านทักษะศาสตร์แม่เหล็กที่เกิดจากการสะท้อนบริเวณรอยต่อของตัวกลางสองชนิด โดยปกติจะเป็นปรากฏการณ์ที่แสงซึ่งเป็นคลื่นแม่เหล็กไฟฟ้าเดินทางในตัวกลางที่หนึ่งซึ่งเป็นอากาศและสะท้อนที่ผิวรอยต่อ กับตัวกลางที่สองคือสารตัวอย่างที่มีสภาพเป็นแม่เหล็ก ซึ่งมีทางเดินของแสงและระบบพิกัดเป็นดังภาพประกอบ 5 โดยจะพิจารณาเงื่อนไขขอบเขตบริเวณรอยต่อระหว่างตัวกลางทั้งสองที่ตั้งสองที่ตั้งแน่น $z = 0$ คือ

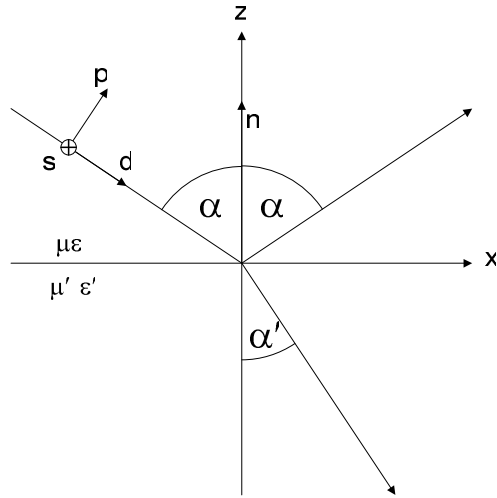
$$[\varepsilon(\mathbf{E} + \mathbf{E}'') - \varepsilon' \mathbf{E}'] \cdot \mathbf{n} = 0 \quad (2.18)$$

$$[\mu(\mathbf{H} + \mathbf{H}'') - \mu' \mathbf{H}'] \cdot \mathbf{n} = 0 \quad (2.19)$$

$$(\mathbf{E} + \mathbf{E}'' - \mathbf{E}') \times \mathbf{n} = 0 \quad (2.20)$$

$$(\mathbf{H} + \mathbf{H}'' - \mathbf{H}') \times \mathbf{n} = 0 \quad (2.21)$$

เมื่อ \mathbf{n} เป็นเวกเตอร์หน่วย (unit vector) ในทิศตั้งจากกับผิว



ภาพประกอบ 5 คลื่นต่ำกระทบ คลื่นหักเห และคลื่นสะท้อนบริเวณรอยต่อของตัวกลางสองชั้นด

ที่มา: Irene Reichl. (2005). *Theoretical Investigations of Magneto-Optical Properties of Multilayer Systems.* p. 24.

เมื่อกำหนดให้แสงเป็นคลื่นแม่เหล็กไฟฟ้าที่มีลักษณะเป็นคลื่นรูปนาutilus $\mathbf{E} = E_0 e^{i\mathbf{k}\cdot\mathbf{x}-i\omega t}$ โดยมี เวกเตอร์คลื่นของคลื่นต่ำกระทบ คลื่นสะท้อน และคลื่นหักเหเป็น $\mathbf{k} = \frac{\omega}{c} n \hat{\mathbf{e}}_k$ $\mathbf{k}'' = \frac{\omega}{c} n \hat{\mathbf{e}}_{k''}$ และ $\mathbf{k}'_\pm = \frac{\omega_\pm}{c} n'_\pm \hat{\mathbf{e}}_{k'\pm}$ ตามลำดับ โดยพิจารณาสมบัติของคลื่นในสองลักษณะคือ

สมบัติทางจนศาสตร์ (kinematic properties) หรือ **กฎของสเนลล์ (Snell's law)**

พิจารณาคลื่นที่ตั้งแน่นอน $z = 0$ และไม่เป็นฟังก์ชันของเวลา (time independence)

ดังนั้น $\omega = \omega'' = \omega'_\pm$ จะมีเวกเตอร์คลื่นเป็น

$$(\mathbf{k} \cdot \mathbf{x})_{z=0} = -(\mathbf{k}'' \cdot \mathbf{x})_{z=0} \text{ และ } (n \mathbf{k} \cdot \mathbf{x})_{z=0} = (n'_\pm \mathbf{k}'_\pm \cdot \mathbf{x})_{z=0} \quad (2.22)$$

กำหนดให้รูปแบบ xz เป็นรูปแบบต่ำกระทบ ทิศทางของคลื่นต่ำกระทบ คลื่นหักเห และคลื่นสะท้อนจะ เป็น

$$\hat{\mathbf{e}}_k = (\sin \alpha, 0, \cos \alpha) \quad \hat{\mathbf{e}}'_{k\pm} = (\sin \alpha'_\pm, 0, \cos \alpha'_\pm) \quad \hat{\mathbf{e}}''_k = (\sin \alpha'', 0, -\cos \alpha'') \quad (2.23)$$

จากสมการ (2.22) ทำให้ได้กฎของสเนลล์ คือ

$$\alpha = \alpha'' \text{ และ } n \sin \alpha = n' \sin \alpha' \quad (2.24)$$

สมบัติทางพลศาสตร์ (dynamic properties) หรือสมการของเฟรนเล (Fresnel equations)

การหาสมการเฟรนเลสำหรับตัวกลางแม่เหล็กจะพิจารณาจากสมการแมกน็อกซ์

$$\epsilon_{lmn} \partial_m E_n = -\frac{1}{c} \partial_0 H_l \quad (2.25)$$

$$\epsilon_{lmn} \partial_m H_n = \frac{4\pi}{c} j_l + \frac{1}{c} \partial_0 D_l \quad (2.26)$$

เนื่องจากในการพิจารณาไม่มีประจุภายนอกและกระแสในระบบ เมื่อทำผลคูณเชิงเวกเตอร์กับสมการ (2.25) จะได้

$$\epsilon_{pql} \partial_q \epsilon_{lmn} \partial_m E_n = -\frac{1}{c} \partial_0 \epsilon_{pql} \partial_q H_l \quad (2.27)$$

$$\epsilon_{pql} \partial_q H_l = \frac{1}{c} \partial_0 D_p \quad (2.28)$$

แทนสมการ (2.28) ในสมการ (2.27) และใช้ความสัมพันธ์ระหว่างสัญลักษณ์เลวี-ซิวิตา (Levi-Civita symbol) กับครอนเนกเกอร์เดลต้า (kronecker delta) จะได้

$$(\delta_{pm} \delta_{qn} - \delta_{pn} \delta_{qm}) \partial_q \partial_m E_n = -\frac{1}{c^2} \partial_0 \partial_0 D_p \quad (2.29)$$

สำหรับคลื่นรணนาบ $E_n = E_{n0} e^{i(k_n x_n - \omega t)}$ และ $D_p = \epsilon_{pn} E_n$ โดย $k_n = \frac{\omega}{c} n e_{kn}$ เมื่อแทนค่าในสมการ (2.29) จะได้สมการเฟรนเลเป็น

$$n^2 (e_{kn} e_{kp} - \delta_{pn}) E_n + \epsilon_{pn} E_n = 0 \quad (2.30)$$

พิจารณาสมการเฟรนเลในพจน์ของการกระจัดไฟฟ้า (Electric displacement, \mathbf{D}) จะได้

$$\mathbf{D} = n^2 (\mathbf{E} - \hat{e}_k (\hat{e}_k \cdot \mathbf{E})) = n^2 (\epsilon^{-1} \mathbf{D} - \hat{e}_k (\hat{e}_k \cdot \epsilon^{-1} \mathbf{D})) \quad (2.31)$$

โดยไดอิเล็กตริกในตัวกลางจะแสดงได้ในรูปของเทนเซอร์ ε_{ij} ขนาด 3×3 เมื่อ $i, j = x, y, z$ โดย

$$\varepsilon = \begin{pmatrix} \varepsilon_{xx} & \varepsilon_{xy} & \varepsilon_{xz} \\ \varepsilon_{yx} & \varepsilon_{yy} & \varepsilon_{yz} \\ \varepsilon_{zx} & \varepsilon_{zy} & \varepsilon_{zz} \end{pmatrix} = \varepsilon_{xx} \begin{pmatrix} 1 & -iQm_z & iQm_x \\ iQm_z & 1 & -iQm_y \\ -iQm_x & iQm_y & 1 \end{pmatrix} \quad (2.32)$$

ค่า $Q = i \frac{\varepsilon_{xy}}{\varepsilon_{xx}}$ เรียกว่าค่าคงที่ทัศนศาสตร์แม่เหล็ก (magneto-optical constant) หรือไโวigt เวกเตอร์ (Voigt vector) และ m_i โดย $i = x, y, z$ เป็นโคลาชายน์แสดงทิศทาง (direction cosine) ของเวกเตอร์ความเป็นแม่เหล็ก (magnetization vector)

สำหรับปรากฏการณ์ของเคอร์ด้านทัศนศาสตร์แม่เหล็กแบบเชิงข้าวจะมีความเป็นแม่เหล็กเฉพาะในแกน z โดยสมาชิกของไดอิเล็กตริกเทนเซอร์ในแนวทแยงมุม (diagonal) จะมีค่าเท่ากัน คือ $\varepsilon_{xx} = \varepsilon_{yy} = \varepsilon_{zz}$ และสมาชิกนอกแนวทแยงมุมจะมีเครื่องหมายตรงข้ามกัน คือ $\varepsilon_{yx} = -\varepsilon_{xy}$ (Yang; & Scheinfein. 1993: 6813)

$$\varepsilon_{polar} = \varepsilon^z = \begin{pmatrix} \varepsilon_{xx} & \varepsilon_{xy} & 0 \\ -\varepsilon_{xy} & \varepsilon_{xx} & 0 \\ 0 & 0 & \varepsilon_{xx} \end{pmatrix} = \varepsilon_{xx} \begin{pmatrix} 1 & -iQm_z & 0 \\ iQm_z & 1 & 0 \\ 0 & 0 & 1 \end{pmatrix} \quad (2.33)$$

สำหรับปรากฏการณ์ของเคอร์ด้านทัศนศาสตร์แม่เหล็กแบบตามยาวจะมีความเป็นแม่เหล็กเฉพาะในแกน x โดย $\varepsilon_{zx} = -\varepsilon_{xz}$ จะมีไดอิเล็กตริกเทนเซอร์เป็น

$$\varepsilon_{longitudinal} = \varepsilon^x = \begin{pmatrix} \varepsilon_{xx} & 0 & \varepsilon_{xz} \\ 0 & \varepsilon_{xx} & 0 \\ -\varepsilon_{xz} & 0 & \varepsilon_{xx} \end{pmatrix} = \varepsilon_{xx} \begin{pmatrix} 1 & 0 & iQm_x \\ 0 & 1 & 0 \\ -iQm_x & 0 & 1 \end{pmatrix} \quad (2.34)$$

สำหรับปรากฏการณ์ของเคอร์ด้านทัศนศาสตร์แม่เหล็กแบบตามยาวจะมีความเป็นแม่เหล็กเฉพาะในแกน y โดย $\varepsilon_{zy} = -\varepsilon_{yz}$ จะมีไดอิเล็กตริกเทนเซอร์เป็น

$$\varepsilon_{transverse} = \varepsilon^y = \begin{pmatrix} \varepsilon_{xx} & 0 & 0 \\ 0 & \varepsilon_{xx} & \varepsilon_{yz} \\ 0 & -\varepsilon_{yz} & \varepsilon_{xx} \end{pmatrix} = \varepsilon_{xx} \begin{pmatrix} 1 & 0 & 0 \\ 0 & 1 & -iQm_y \\ 0 & iQm_y & 1 \end{pmatrix} \quad (2.35)$$

โดยจะสามารถหาเมทริกซ์ผกผัน (inverse matrix) ของทั้งสามรูปแบบได้ คือ

$$\boldsymbol{\varepsilon}_{polar}^{-1} = \begin{pmatrix} \frac{\varepsilon_{xx}}{\varepsilon_{xx}^2 + \varepsilon_{xy}^2} & \frac{\varepsilon_{xy}}{\varepsilon_{xx}^2 + \varepsilon_{xy}^2} & 0 \\ \frac{-\varepsilon_{xy}}{\varepsilon_{xx}^2 + \varepsilon_{xy}^2} & \frac{\varepsilon_{xx}}{\varepsilon_{xx}^2 + \varepsilon_{xy}^2} & 0 \\ 0 & 0 & \frac{1}{\varepsilon_{xx}} \end{pmatrix} \quad (2.36)$$

$$\boldsymbol{\varepsilon}_{longitudinal}^{-1} = \begin{pmatrix} \frac{\varepsilon_{xx}}{\varepsilon_{xx}^2 + \varepsilon_{xz}^2} & 0 & \frac{-\varepsilon_{xz}}{\varepsilon_{xx}^2 + \varepsilon_{xz}^2} \\ 0 & \frac{1}{\varepsilon_{xx}} & 0 \\ \frac{\varepsilon_{xz}}{\varepsilon_{xx}^2 + \varepsilon_{xz}^2} & 0 & \frac{\varepsilon_{xx}}{\varepsilon_{xx}^2 + \varepsilon_{xz}^2} \end{pmatrix} \quad (2.37)$$

$$\boldsymbol{\varepsilon}_{transverse}^{-1} = \begin{pmatrix} \frac{1}{\varepsilon_{xx}} & 0 & 0 \\ 0 & \frac{\varepsilon_{xx}}{\varepsilon_{xx}^2 + \varepsilon_{yz}^2} & \frac{-\varepsilon_{yz}}{\varepsilon_{xx}^2 + \varepsilon_{yz}^2} \\ 0 & \frac{\varepsilon_{yz}}{\varepsilon_{xx}^2 + \varepsilon_{yz}^2} & \frac{\varepsilon_{xx}}{\varepsilon_{xx}^2 + \varepsilon_{yz}^2} \end{pmatrix} \quad (2.38)$$

จากการกำหนดพิกัด (p, s, d) ตั้งภาคปีระกอบ 5 จะสามารถหาค่าผกผันของไดอิเล็กทริกเทนเซอร์ในระบบพิกัด (p, s, d) จากระบบพิกัด (x, y, z) ได้โดย

$$(\boldsymbol{\varepsilon}^{-1})_{psd} = S^{-1} (\boldsymbol{\varepsilon}^{-1})_{xyz} S \quad (2.39)$$

เมื่อ $S = S^{-1} = \begin{pmatrix} \cos \alpha & 0 & \sin \alpha \\ 0 & 1 & 0 \\ \sin \alpha & 0 & -\cos \alpha \end{pmatrix}$ เรียกว่า เมทริกซ์การหมุนในสามมิติ (3D rotation matrix)

ในกรณีที่การกระจัดไฟฟ้ามีทิศตั้งฉากกับเวกเตอร์คลื่นและแกน d ขนานกับเวกเตอร์คลื่นตั้งนั้นองค์ประกอบของการกระจัดไฟฟ้าตามแกน d จะมีค่าเป็นศูนย์ ($D_d = 0$) จากสมการ (2.31) จะสามารถแสดงองค์ประกอบของการกระจัดไฟฟ้าตามแกน p s และ d ได้เป็น

$$D_p = n^2 \left((\varepsilon^{-1})_{pp} D_p + (\varepsilon^{-1})_{ps} D_s \right) \quad (2.40)$$

$$D_s = n^2 \left((\varepsilon^{-1})_{sp} D_p + (\varepsilon^{-1})_{ss} D_s \right) \quad (2.41)$$

$$D_d = 0 \quad (2.42)$$

โดยจะสามารถลดรูปได้โดยเล็กทริกแทนเซอร์ฟิกผันเป็นขนาด 2×2 คือ

$$\varepsilon^{-1} = \begin{pmatrix} (\varepsilon^{-1})_{pp} & (\varepsilon^{-1})_{ps} \\ (\varepsilon^{-1})_{sp} & (\varepsilon^{-1})_{ss} \end{pmatrix} \quad (2.43)$$

พิจารณาเฉพาะในกรณีของรูปแบบเชิงข้าวซึ่งมีองค์ประกอบของไดโอลีกทริกแทนเซอร์ฟิกผันเป็น

$$(\varepsilon^{-1})_{pp} = (\varepsilon^{-1})_{xx} \cos^2 \alpha + (\varepsilon^{-1})_{zz} \sin^2 \alpha = \frac{\varepsilon_{xx}}{\varepsilon_{xx}^2 + \varepsilon_{xy}^2} \cos^2 \alpha + \frac{\sin^2 \alpha}{\varepsilon_{xx}} \quad (2.44)$$

$$(\varepsilon^{-1})_{ps} = (\varepsilon^{-1})_{xy} \cos \alpha = \frac{\varepsilon_{xy}}{\varepsilon_{xx}^2 + \varepsilon_{xy}^2} \cos \alpha \quad (2.45)$$

$$(\varepsilon^{-1})_{sp} = (\varepsilon^{-1})_{yx} \cos \alpha = -\frac{\varepsilon_{xy}}{\varepsilon_{xx}^2 + \varepsilon_{xy}^2} \cos \alpha \quad (2.46)$$

$$(\varepsilon^{-1})_{ss} = (\varepsilon^{-1})_{yy} = \frac{\varepsilon_{xx}}{\varepsilon_{xx}^2 + \varepsilon_{xy}^2} \quad (2.47)$$

$$(\varepsilon^{-1})_{dp} = \left(\frac{\varepsilon_{xx}}{\varepsilon_{xx}^2 + \varepsilon_{xy}^2} - \frac{1}{\varepsilon_{xx}} \right) \sin \alpha \cos \alpha \quad (2.48)$$

$$(\varepsilon^{-1})_{ds} = \frac{\varepsilon_{xy}}{\varepsilon_{xx}^2 + \varepsilon_{xy}^2} \sin \alpha \quad (2.49)$$

จัดรูปสมการ (2.40) และ (2.41) จะได้สมการระบบในรูปของการจะจัดไฟฟ้าเป็น

$$0 = \left(n^2 (\varepsilon^{-1})_{pp} - 1 \right) D_p + n^2 (\varepsilon^{-1})_{ps} D_s \quad (2.50)$$

$$0 = n^2 (\varepsilon^{-1})_{sp} D_p + \left(n^2 (\varepsilon^{-1})_{ss} - 1 \right) D_s \quad (2.51)$$

ถ้าสมการ (2.50) และ (2.51) มีผลเฉลยแสดงว่าดีเทอร์มิแนนต์ของระบบมีค่าเป็นศูนย์ ดังนั้นจะได้สมการพหุนามของดัชนีหักเหเป็น

$$\begin{aligned} & n^4 \left(\frac{\varepsilon_{xx}^3 \cos^2 \alpha + \varepsilon_{xx} (\varepsilon_{xx}^2 + \varepsilon_{xy}^2) \sin^2 \alpha + \varepsilon_{xx} \varepsilon_{xy}^2 \cos^2 \alpha}{\varepsilon_{xx} (\varepsilon_{xx}^2 + \varepsilon_{xy}^2)^2} \right) \\ & - n^2 \left(\frac{\varepsilon_{xx}^2 \cos^2 \alpha + (\varepsilon_{xx}^2 + \varepsilon_{xy}^2) \sin^2 \alpha + \varepsilon_{xx}^2}{\varepsilon_{xx} (\varepsilon_{xx}^2 + \varepsilon_{xy}^2)} \right) + 1 = 0 \end{aligned} \quad (2.52)$$

ແລະສາມາດຮູບໄດ້ເປັນ

$$n^4 - n^2 \frac{2\varepsilon_{xx}^2 + \varepsilon_{xy}^2 \sin^2 \alpha}{\varepsilon_{xx}} + (\varepsilon_{xx}^2 + \varepsilon_{xy}^2) = 0 \quad (2.53)$$

ໂດຍໃຊ້ກາປະມານເຈີງເສັ່ນ (linear approximation) ສໍາຮັບ ε_{xy} ຈະໄດ້ຜລເຂດຍຂອງສມການ (2.53) ເປັນ

$$\begin{aligned} n_{\pm}^2 &= \frac{2\varepsilon_{xx}^2 + \varepsilon_{xy}^2 \sin^2 \alpha}{2\varepsilon_{xx}} \pm \frac{1}{2} \sqrt{\left(\frac{2\varepsilon_{xx}^2 + \varepsilon_{xy}^2 \sin^2 \alpha}{\varepsilon_{xx}} \right)^2 - 4(\varepsilon_{xx}^2 + \varepsilon_{xy}^2)} \\ &= \varepsilon_{xx} + \frac{\varepsilon_{xy}^2}{2\varepsilon_{xx}} \sin^2 \alpha \pm i\varepsilon_{xy} \cos \alpha \sqrt{1 - \frac{\varepsilon_{xy}^2 \sin^2 \alpha}{4\varepsilon_{xx}^2 \cos^2 \alpha}} \\ &\approx \varepsilon_{xx} + \frac{\varepsilon_{xy}^2}{2\varepsilon_{xx}} \sin^2 \alpha \pm i\varepsilon_{xy} \cos \alpha \end{aligned} \quad (2.54)$$

ແທນຄ່າ $(\varepsilon)_{pp}^{-1}$ ແລະ $(\varepsilon)_{ps}^{-1}$ ໃນສມການ (2.50) ແລະໃຊ້ຄ່າປະມານຂອງ n_{\pm}^2 ຈາກສມການ (2.54) ຈະໄດ້ສມກາຣຄວາມສົມພັນນີ້ຂອງກາຣກະຈັດໄຟຟ້າຮ່ວງແກນ p ແລະ s ເປັນ

$$\begin{aligned} D_{p\pm} &= \frac{\varepsilon_{xx}^2 + \varepsilon_{xy}^2}{n_{\pm}^2 \varepsilon_{xy} \cos \alpha} \left(\frac{n_{\pm}^2 \varepsilon_{xx}}{\varepsilon_{xx}^2 + \varepsilon_{xy}^2} - 1 \right) D_{s\pm} \\ &= \frac{1}{n_{\pm}^2 \varepsilon_{xy} \cos \alpha} \left(n_{\pm}^2 \varepsilon_{xx} - \varepsilon_{xx}^2 - \varepsilon_{xy}^2 \right) D_{s\pm} \\ &= \frac{1}{n_{\pm}^2 \varepsilon_{xy} \cos \alpha} \left(\left(\varepsilon_{xx} + \frac{\varepsilon_{xy}^2}{2\varepsilon_{xx}} \sin^2 \alpha \pm i\varepsilon_{xy} \cos \alpha \right) \varepsilon_{xx} - \varepsilon_{xx}^2 - \varepsilon_{xy}^2 \right) D_{s\pm} \\ &= \frac{1}{n_{\pm}^2 \cos \alpha} \left(\varepsilon_{xy} \left(\frac{1}{2} \sin^2 \alpha - 1 \right) \pm i\varepsilon_{xx} \cos \alpha \right) D_{s\pm} \end{aligned} \quad (2.55)$$

โดยใช้การประมาณเชิงเส้นสำหรับ ε_{xy} ของพจน์แรกในสมการ (2.55) จะได้

$$\begin{aligned} \left(n_{\pm}^2 \cos \alpha\right)^{-1} &= \left(\varepsilon_{xx} \cos \alpha \left(1 + \frac{\varepsilon_{xy}^2}{2\varepsilon_{xx}^2} \sin^2 \alpha \pm i \frac{\varepsilon_{xy}}{\varepsilon_{xx}} \cos \alpha\right)\right)^{-1} \\ &\approx \frac{1}{\varepsilon_{xx} \cos \alpha} \left(1 \mp i \frac{\varepsilon_{xy}}{\varepsilon_{xx}} \cos \alpha\right) \end{aligned} \quad (2.56)$$

แทนสมการ (2.56) ลงในสมการ (2.55) และใช้การประมาณเชิงเส้นของ ε_{xy} จะได้องค์ประกอบของ การกระจัดไฟฟ้าเป็น

$$\begin{aligned} D_{p\pm} &\approx \frac{1}{\varepsilon_{xx} \cos \alpha} \left(1 \mp i \frac{\varepsilon_{xy}}{\varepsilon_{xx}} \cos \alpha\right) \left(\frac{\varepsilon_{xy}}{2} \sin^2 \alpha - \varepsilon_{xy} \pm i \varepsilon_{xx} \cos \alpha\right) D_{s\pm} \\ &\approx \frac{1}{\varepsilon_{xx} \cos \alpha} \left(\frac{\varepsilon_{xy}}{2} \sin^2 \alpha - \varepsilon_{xy} \pm i \varepsilon_{xx} \cos \alpha \pm i \frac{\varepsilon_{xy}^2}{\varepsilon_{xx}} \cos \alpha \mp i \frac{\varepsilon_{xy}^2}{2\varepsilon_{xx}} \sin^2 \alpha \cos \alpha + \varepsilon_{xy} \cos^2 \alpha\right) D_{s\pm} \\ &\approx \frac{1}{\varepsilon_{xx} \cos \alpha} \left(-\frac{\varepsilon_{xy}}{2} \sin^2 \alpha \pm i \varepsilon_{xx} \cos \alpha\right) D_{s\pm} \\ &\approx \left(-\frac{\varepsilon_{xy} \sin^2 \alpha}{2\varepsilon_{xx} \cos \alpha} \pm i\right) D_{s\pm} \\ D_{d\pm} &= 0 \end{aligned} \quad (2.57)$$

จากความสัมพันธ์ $\mathbf{E} = \varepsilon^{-1} \mathbf{D}$ และใช้การประมาณเชิงเส้นของ ε_{xy} จะได้ความสัมพันธ์ของการกระจัดไฟฟ้าในพจน์ของสนามไฟฟ้าเป็น

$$E_{p\pm} = \frac{\varepsilon_{xx}^2 + \varepsilon_{xy}^2 \sin^2 \alpha}{\varepsilon_{xx} (\varepsilon_{xx}^2 + \varepsilon_{xy}^2)} D_{p\pm} + \frac{\varepsilon_{xy}}{\varepsilon_{xx}^2 + \varepsilon_{xy}^2} \cos \alpha D_{s\pm} \quad (2.58)$$

$$E_{s\pm} = -\frac{\varepsilon_{xy}}{\varepsilon_{xx}^2 + \varepsilon_{xy}^2} \cos \alpha D_{p\pm} + \frac{\varepsilon_{xx}}{\varepsilon_{xx}^2 + \varepsilon_{xy}^2} D_{s\pm} \quad (2.59)$$

$$E_{d\pm} = \left(\frac{\varepsilon_{xx}}{\varepsilon_{xx}^2 + \varepsilon_{xy}^2} - \frac{1}{\varepsilon_{xx}}\right) \sin \alpha \cos \alpha D_{p\pm} + \frac{\varepsilon_{xy}}{\varepsilon_{xx}^2 + \varepsilon_{xy}^2} \sin \alpha D_{s\pm} \quad (2.60)$$

ใช้ความสัมพันธ์ขององค์ประกอบการกระจัดไฟฟ้าในแนว p และ s จากสมการ (2.57) เพื่อกำจัด พจน์ $D_{p\pm}$ จะได้

$$E_{p\pm} = \left(\frac{\varepsilon_{xx}^2 + \varepsilon_{xy}^2 \sin^2 \alpha}{\varepsilon_{xx} (\varepsilon_{xx}^2 + \varepsilon_{xy}^2)} \left(-\frac{\varepsilon_{xy} \sin^2 \alpha}{2\varepsilon_{xx} \cos \alpha} \pm i \right) + \frac{\varepsilon_{xy}}{\varepsilon_{xx}^2 + \varepsilon_{xy}^2} \cos \alpha \right) D_{s\pm} \quad (2.61)$$

$$E_{s\pm} = \left(-\frac{\varepsilon_{xy}}{\varepsilon_{xx}^2 + \varepsilon_{xy}^2} \cos \alpha \left(-\frac{\varepsilon_{xy} \sin^2 \alpha}{2\varepsilon_{xx} \cos \alpha} \pm i \right) + \frac{\varepsilon_{xx}}{\varepsilon_{xx}^2 + \varepsilon_{xy}^2} \right) D_{s\pm} \quad (2.62)$$

$$E_{d\pm} = \left(\left(\frac{\varepsilon_{xx}}{\varepsilon_{xx}^2 + \varepsilon_{xy}^2} - \frac{1}{\varepsilon_{xx}} \right) \left(-\frac{\varepsilon_{xy} \sin^2 \alpha}{2\varepsilon_{xx} \cos \alpha} \pm i \right) \cos \alpha - \frac{\varepsilon_{xy}}{\varepsilon_{xx}^2 + \varepsilon_{xy}^2} \right) \sin \alpha D_{s\pm} \quad (2.63)$$

จากสมการ (2.62) จะแสดงการกระจัดไฟฟ้าในรูปของสนามไฟฟ้าเป็น

$$D_{s\pm} = \left(-\frac{\varepsilon_{xy}}{\varepsilon_{xx}^2 + \varepsilon_{xy}^2} \cos \alpha \left(-\frac{\varepsilon_{xy} \sin^2 \alpha}{2\varepsilon_{xx} \cos \alpha} \pm i \right) + \frac{\varepsilon_{xx}}{\varepsilon_{xx}^2 + \varepsilon_{xy}^2} \right)^{-1} E_{s\pm} \approx \frac{\varepsilon_{xx}^2 + \varepsilon_{xy}^2}{\varepsilon_{xx}} \left(1 \pm i \frac{\varepsilon_{xy}}{\varepsilon_{xx}} \cos \alpha \right) E_{s\pm} \quad (2.64)$$

แทนค่า $D_{s\pm}$ ในสมการ (2.61) และ (2.63) และใช้กฎของสเนลล์สำหรับคลื่นหักเหจะได้

$$E'_{p\pm} \approx \left(-\frac{\varepsilon_{xy} \sin^2 \alpha'_\pm}{2\varepsilon_{xx} \cos \alpha'_\pm} \pm i \right) E'_{s\pm} \quad (2.65)$$

$$E'_{d\pm} \approx \frac{\varepsilon_{xy} \sin \alpha'_\pm}{\varepsilon_{xx}} E'_{s\pm} \quad (2.66)$$

พิจารณาเงื่อนไขขอบเขตสำหรับปรากฏการณ์ของเคอร์ต้านทัศนศาสตร์แม่เหล็กแบบเชิงข้าม โดยในรูปแบบเชิงข้ามแกนของความเป็นแม่เหล็กจะตั้งฉากกับพิวหน้าของสารตัวอย่างและทำมุม α กับ ลักษณะทางทบ โดยบริเวณขอบเขตอยู่ต่อระหว่างสองตัวกลางของค์ประกอบในแนวตั้งจากกับ ระนาบ (normal-to-plane) D_\perp และ B_\perp และค์ประกอบในแนวระนาบ (in-plane) และ จะ มีค่าต่อเนื่อง โดยใช้ความสัมพันธ์ของค์ประกอบสนามไฟฟ้าในระบบพิกัด xyz และ psd คือ

$$E_x = E_p \cos \alpha + E_d \sin \alpha \rightarrow \in E_\parallel \quad (2.67)$$

$$E_y = E_s \rightarrow \in E_\parallel \quad (2.68)$$

$$E_z = E_p \sin \alpha - E_d \cos \alpha \rightarrow \in E_\perp \quad (2.69)$$

สำหรับในสุญญาการ $E_d = 0$ โดยมีเวกเตอร์ของสนามไฟฟ้าของแสงต่ำกว่าทบ แสงหักเห และแสงสะท้อนในพิกัด (p, s, d) เป็น

$$\mathbf{E} = \begin{pmatrix} E_p \\ E_s \\ 0 \end{pmatrix}, \mathbf{E}'_{\pm} = \begin{pmatrix} E'_{p\pm} \\ E'_{s\pm} \\ E'_{d\pm} \end{pmatrix}, \mathbf{E}'' = \begin{pmatrix} E''_p \\ E''_s \\ 0 \end{pmatrix}$$

และในพิกัดคาร์ทีเซียนเป็น

$$\mathbf{E} = \begin{pmatrix} E_x \\ E_y \\ E_z \end{pmatrix}, \mathbf{E}'_{\pm} = \begin{pmatrix} E'_{x\pm} \\ E'_{y\pm} \\ E'_{z\pm} \end{pmatrix} \text{ และ } \mathbf{E}'' = \begin{pmatrix} E''_x \\ E''_y \\ E''_z \end{pmatrix}$$

โดยในตัวกล่างแม่เหล็กขนาดขององค์ประกอบสนามไฟฟ้าในแกน p จะมีค่าเท่ากับ

$$|E_{p\pm}| = \pm \sqrt{E_{p\pm}^2 + E_{d\pm}^2} = \pm E_{s\pm} \sqrt{\left(-\frac{\epsilon_{xy} \sin^2 \alpha_{\pm}}{2\epsilon_{xx} \cos \alpha_{\pm}} \pm i \right)^2 + \left(\frac{\epsilon_{xy} \sin \alpha_{\pm}}{\epsilon_{xx}} \right)^2} \quad (2.70)$$

องค์ประกอบเชิงวงกลมของคลื่นแสงหักเหจะเป็น

$$E'_{p\pm} \approx \left(-\frac{\epsilon_{xy} \sin^2 \alpha'_{\pm}}{2\epsilon_{xx} \cos \alpha'_{\pm}} \pm i \right) E'_{s\pm} \quad (2.71)$$

โดยให้ริบเดี่ยวกันจะสามารถหาค่าขององค์ประกอบสนามไฟฟ้าตามแกน x และ z ได้เป็น

$$E_{x\pm} = \left(-\frac{\epsilon_{xy} \sin^2 \alpha_{\pm}}{2\epsilon_{xx} \cos \alpha_{\pm}} \mp i \right) \cos \alpha_{\pm} E_{s\pm} \quad (2.72)$$

$$E_{z\pm} = \left(\frac{\epsilon_{xy} (1 - \cos^2 \alpha_{\pm})}{2\epsilon_{xx} \cos \alpha_{\pm}} \mp i \right) \sin \alpha_{\pm} E_{s\pm} \quad (2.73)$$

จากเงื่อนไขสำหรับองค์ประกอบในแนวระนาบจะได้

$$\cos \alpha (E_p - E''_p) = \sum_{\pm} \left(-\frac{\varepsilon_{xy} \sin^2 \alpha'_{\pm}}{2\varepsilon_{xx} \cos \alpha'_{\pm}} \mp i \right) \cos \alpha'_{\pm} E'_{s\pm} \quad (2.74)$$

$$E_s + E''_s = \sum_{\pm} E'_{s\pm} \quad (2.75)$$

จากนั้นจะหาค่าสนามแม่เหล็กจาก $\mathbf{H} = n\hat{e}_k \times \mathbf{E}$ โดยที่เวกเตอร์คลื่นมีค่าเท่ากับ

$$n\hat{e}_k = n \begin{pmatrix} \sin \alpha \\ 0 \\ -\cos \alpha \end{pmatrix} \quad n'_{\pm} \hat{e}'_k = n' \begin{pmatrix} \sin \alpha'_{\pm} \\ 0 \\ -\cos \alpha'_{\pm} \end{pmatrix} \quad n\hat{e}''_k = n \begin{pmatrix} \sin \alpha \\ 0 \\ \cos \alpha \end{pmatrix}$$

สนามแม่เหล็กสำหรับคลื่นตุกกะทบ (\mathbf{H}) คลื่นสะท้อน (\mathbf{H}') และคลื่นหักเห (\mathbf{H}'') จะเป็น

$$\mathbf{H} = n \begin{pmatrix} \cos \alpha E_y \\ -\cos \alpha E_x - \sin \alpha E_z \\ \sin \alpha E_y \end{pmatrix} \quad (2.76)$$

$$\mathbf{H}' = n'_{\pm} \begin{pmatrix} \cos \alpha'_{\pm} E'_{y\pm} \\ -\cos \alpha'_{\pm} E'_{x\pm} - \sin \alpha'_{\pm} E'_{z\pm} \\ \sin \alpha'_{\pm} E'_{y\pm} \end{pmatrix} \quad (2.77)$$

$$\mathbf{H}'' = n \begin{pmatrix} -\cos \alpha E''_y \\ -\cos \alpha E''_x - \sin \alpha E''_z \\ \sin \alpha E''_y \end{pmatrix} \quad (2.78)$$

โดยองค์ประกอบในแนวแกน y สามารถทำให้อยู่ในรูปอย่างง่ายและอยู่ในสัญญาณจะได้

$$\begin{aligned} n(-\cos \alpha E_x - \sin \alpha E_z - \cos \alpha E''_x - \sin \alpha E''_z) &= n(-\cos^2 \alpha E_p - \sin^2 \alpha E_p + \cos^2 \alpha E''_p + \sin^2 \alpha E''_p) \\ &= -n(E_p + E''_p) \end{aligned} \quad (2.79)$$

สำหรับคลื่นที่เดินทางในตัวกลางเนื้อเดียว (homogeneous medium) จะได้

$$\sum_{\pm} n'_{\pm} (-\cos \alpha'_{\pm} E'_{x\pm} - \sin \alpha'_{\pm} E'_{z\pm}) = -\sum_{\pm} n'_{\pm} E'_{s\pm} \approx \sum_{\pm} n'_{\pm} E'_{p\pm} \quad (2.80)$$

จากความต่อเนื่องขององค์ประกอบสนามแม่เหล็กในแนววัวนากจะได้

$$n \cos \alpha (E_s - E''_s) = \sum_{\pm} n'_{\pm} \cos \alpha'_{\pm} E'_{s\pm} \quad (2.81)$$

$$n (E_p - E''_p) = \sum_{\pm} n'_{\pm} \left(\frac{\varepsilon_{xy} \sin^2 \alpha'_{\pm}}{2\varepsilon_{xx} \cos \alpha'_{\pm}} \mp i \right) E'_{s\pm} \quad (2.82)$$

สมการ (2.74) (2.75) (2.81) และ (2.82) เป็นข้อสรุปของความสัมพันธ์ระหว่างคลื่นตกกระทบ คลื่นสะท้อน และคลื่นหักเหที่สอดคล้องกับเงื่อนไขข้อบ่งชี้ของรายต่อระหว่างตัวกลางแม่เหล็กและตัวกลางที่ไม่ใช่แม่เหล็ก โดยจะแยกพิจารณาเป็นสองกรณี คือ

2.1.7.1 ในกรณีที่คลื่นตกกระทบเป็นเอสโพลาไรซ์ (s-polarized) ไม่มีองค์ประกอบของสนามไฟฟ้าในแนวขวาง ($E_p = 0$) แทนค่าในสมการ (2.74) (2.75) (2.81) และ (2.82) จะได้

$$E_s + E''_s = \sum_{\pm} E'_{s\pm} \quad (2.83)$$

$$-\cos \alpha E''_p = \sum_{\pm} \left(-\frac{\varepsilon_{xy} \sin^2 \alpha'_{\pm}}{2\varepsilon_{xx} \cos \alpha'_{\pm}} \mp i \right) \cos \alpha'_{\pm} E'_{s\pm} \quad (2.84)$$

$$n \cos \alpha (E_s - E''_s) = \sum_{\pm} n'_{\pm} \cos \alpha'_{\pm} E'_{s\pm} \quad (2.85)$$

$$n E''_p = \sum_{\pm} n'_{\pm} \left(\frac{\varepsilon_{xy} \sin^2 \alpha'_{\pm}}{2\varepsilon_{xx} \cos \alpha'_{\pm}} \mp i \right) E'_{s\pm} \quad (2.86)$$

จะสามารถหาค่าสัมประสิทธิ์การสะท้อนได้เป็น

$$\frac{E''_p}{E_s} = \tilde{r}_{ps} = \frac{\varepsilon_{xy} n \cos \alpha}{n'(n \cos \alpha' + n' \cos \alpha)(n \cos \alpha + n' \cos \alpha')} \quad (2.87)$$

$$\frac{E''_s}{E_s} = \tilde{r}_{ss} = \frac{n \cos \alpha - n' \cos \alpha'}{n \cos \alpha + n' \cos \alpha'} \quad (2.88)$$

2.1.7.2 ในกรณีที่คลื่นตกกระทบเป็นพีโพลาไรซ์ (p-polarized) ไม่มีองค์ประกอบของสนามไฟฟ้าในแนวตั้งฉาก ($E_s = 0$) แทนค่าในสมการ (2.74) (2.75) (2.81) และ (2.82) จะได้

$$E''_s = \sum_{\pm} E'_{s\pm} \quad (2.89)$$

$$\cos \alpha (E_p - E''_p) = \sum_{\pm} \left(-\frac{\varepsilon_{xy} \sin^2 \alpha'_{\pm}}{2\varepsilon_{xx} \cos \alpha'_{\pm}} \mp i \right) \cos \alpha'_{\pm} E'_{s\pm} \quad (2.90)$$

$$-n \cos \alpha E''_s = \sum_{\pm} n'_{\pm} \cos \alpha'_{\pm} E'_{s\pm} \quad (2.91)$$

$$n(E_p + E''_p) = \sum_{\pm} n'_{\pm} \left(\frac{\varepsilon_{xy} \sin^2 \alpha'_{\pm}}{2\varepsilon_{xx} \cos \alpha'_{\pm}} \mp i \right) E'_{s\pm} \quad (2.92)$$

จะสามารถหาค่าสัมประสิทธิ์การสะท้อนได้เป็น

$$\frac{E''_s}{E_p} = \tilde{r}_{sp} = \frac{\varepsilon_{xy} n \cos \alpha}{n'(n \cos \alpha' + n' \cos \alpha)(n \cos \alpha + n' \cos \alpha')} \quad (2.93)$$

$$\frac{E''_p}{E_p} = \tilde{r}_{pp} = \frac{n' \cos \alpha - n \cos \alpha'}{n' \cos \alpha + n \cos \alpha'} \quad (2.94)$$

จากสมการ (2.12) แทนค่าสัมประสิทธิ์การสะท้อนจากสมการ (2.87) (2.88) (2.93) และ (2.94) จะสามารถหาสมการของมุนกาวหุนของเครื่องได้เป็น

$$\tan \theta_K^p = \frac{\tilde{r}_{sp}}{\tilde{r}_{pp}} = \frac{n \varepsilon_{xy} \cos \alpha}{n' \cos(\alpha + \alpha') (n'^2 - n^2)} \quad (2.95)$$

$$\tan \theta_K^s = \frac{\tilde{r}_{ps}}{\tilde{r}_{ss}} = \frac{n \varepsilon_{xy} \cos \alpha}{n' \cos(\alpha - \alpha') (n^2 - n'^2)} \quad (2.96)$$

พิจารณาเงื่อนไขขอบเขตสำคัญรับประทานของเครื่องด้านทศนศาสตร์แม่เหล็กแบบตาม>yawซึ่งจะมีองค์ประกอบของสนามไฟฟ้าในพิกัด (p, s, d) เป็น

$$E'_{s\pm} \approx \left(\frac{\varepsilon_{xy} \sin^2 \left(\frac{\pi}{2} - \beta'_{\pm} \right)}{2\varepsilon_{xx} \cos \left(\frac{\pi}{2} - \beta'_{\pm} \right)} \pm i \right) E'_{p\pm} = \left(\frac{\varepsilon_{xy} \cos^2 \beta'_{\pm}}{2\varepsilon_{xx} \sin \beta'_{\pm}} \pm i \right) E'_{p\pm} \quad (2.97)$$

$$E'_{d\pm} \approx -\frac{\varepsilon_{xy} \sin \left(\frac{\pi}{2} - \beta'_{\pm} \right)}{\varepsilon_{xx}} E'_{p\pm} = -\frac{\varepsilon_{xy} \cos \beta'_{\pm}}{\varepsilon_{xx}} E'_{p\pm} \quad (2.98)$$

โดยมุน $\beta_{\pm} = 90^\circ - \alpha_{\pm}$

จากเงื่อนไขของเขตสมการ (2.18)-(2.21) จะได้

$$\cos \beta (E_p - E''_p) = \sum_{\pm} \left(\frac{\varepsilon_{xy} (1 + \sin^2 \beta'_{\pm})}{2\varepsilon_{xx} \sin \beta'_{\pm}} \mp i \right) \cos \beta'_{\pm} E'_{s\pm} \quad (2.99)$$

$$n(E_p + E''_p) = \sum_{\pm} n'_{\pm} \left(\frac{\varepsilon_{xy} \cos^2 \beta'_{\pm}}{2\varepsilon_{xx} \sin \beta'_{\pm}} \mp i \right) E'_{s\pm} \quad (2.100)$$

จะสามารถหาสัมประสิทธิ์การสะท้อนได้ ดัง

$$\frac{E''_s}{E_s} = \tilde{r}_{ss} = \frac{n \cos \beta - n' \cos \beta'}{n \cos \beta + n' \cos \beta'} \quad (2.101)$$

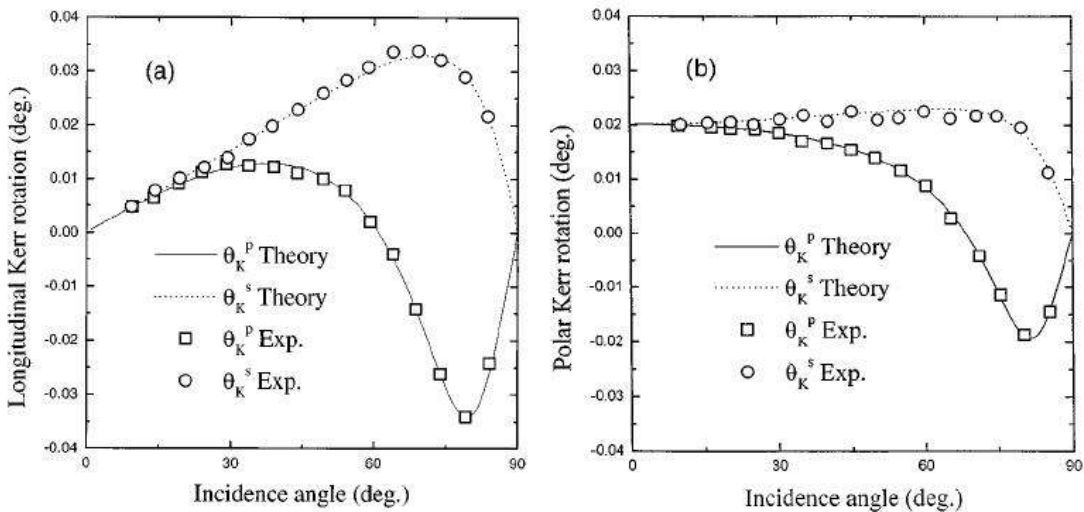
$$\frac{E''_p}{E_p} = \tilde{r}_{pp} = \frac{n' \cos \beta - n \cos \beta'}{n' \cos \beta + n \cos \beta'} \quad (2.102)$$

$$\frac{E''_p}{E_s} = \tilde{r}_{ps} = -\frac{E''_s}{E_p} = -\tilde{r}_{sp} = \frac{\varepsilon_{xy} n \cos \beta}{n' (n \cos \beta' + n' \cos \beta) (n \cos \beta + n' \cos \beta')} \tan \beta' \quad (2.103)$$

โดยจะได้มุมการหมุนของเคอร์เบิน

$$\tan \theta_K^p = \frac{\tilde{r}_{sp}}{\tilde{r}_{pp}} = \frac{n \varepsilon_{xy} \cos \beta \tan \beta'}{n' \cos(\beta + \beta') (n'^2 - n^2)} \quad (2.104)$$

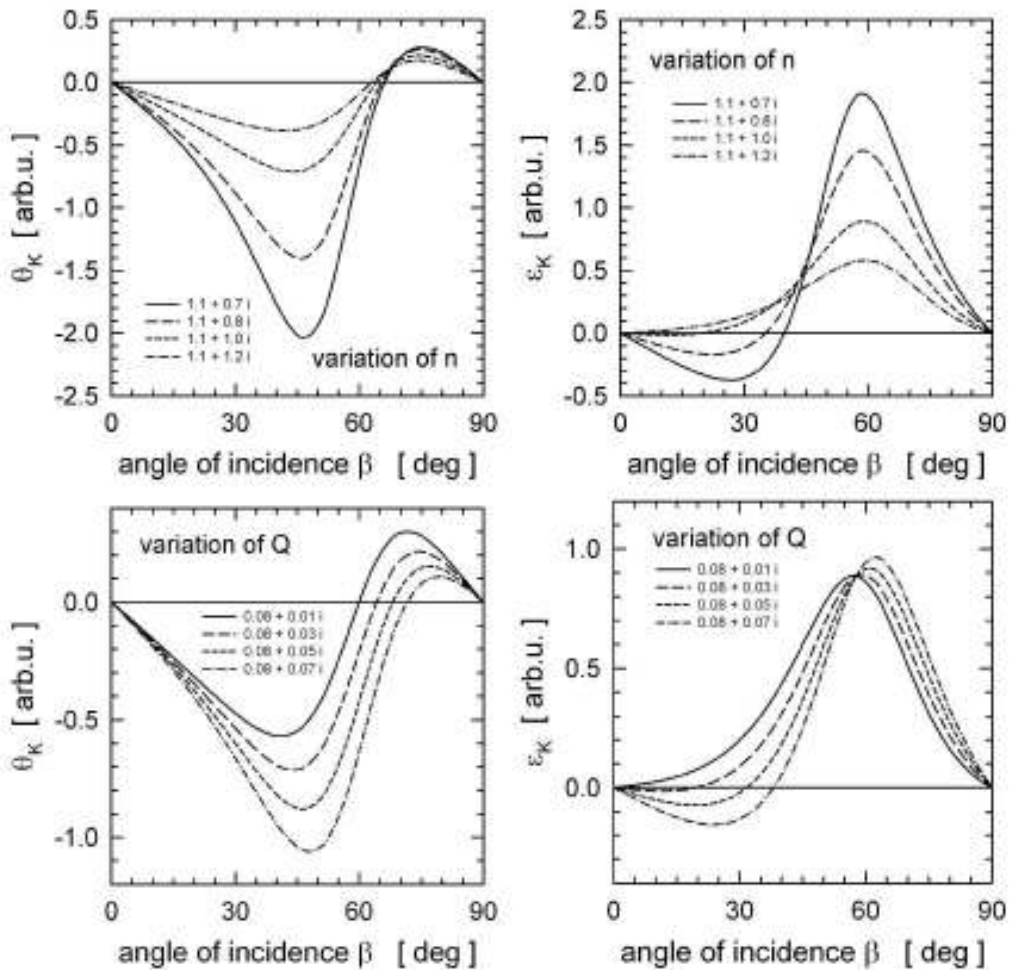
$$\tan \theta_K^s = \frac{\tilde{r}_{ps}}{\tilde{r}_{ss}} = -\frac{n \varepsilon_{xy} \cos \beta \tan \beta'}{n' \cos(\beta - \beta') (n^2 - n'^2)} \quad (2.105)$$



ภาพประกอบ 6 กราฟแสดงค่าการหมุนของเคอร์จากผลการทดลองและจากทฤษฎีสำหรับເອສແລະພື້ມໄລ້ ບນ (a) Cu/Co ແບບໜາຍ້ນ (multilayer) ໃນຮູບແບບຕາມຍາວ ແລະ (b) Co/Pd ແບບໜາຍ້ນໃນຮູບແບບເທິງໝໍາ

ที่มา: Chun Yeol You; & Sung Chul Shin. (1998, July 1). Generalize Analytic Formulae for Magneto-Optical Kerr Effects. *Journal of Applied Physics*. 84(1): 546.

ค่าสัมประสิทธิ์การสะท้อนของເຟຣແນລຈາກສົມກາຣ (2.87) (2.88) (2.93) (2.94) (2.101) (2.102) ແລະ (2.103) ມີຄວາມສອດຄລ້ອງກັບງານວິຈີຍຂອງຢູ່ແລະຊື່ນ (You; & Shin. 1998: 542) ຈານວິຈີຍຂອງແຍງແລະຊື່ນເຟນ (Yang; & Scheinfein. 1993: 6813) ແລະ ຈານວິຈີຍຂອງຫັນທີ (Hunt. 1967: 1655) ໂດຍຜົດກາຣຄໍານວນຕາມສົມກາຣ (2.95) (2.96) (2.104) ແລະ (2.105) ຈະສອດຄລ້ອງກັບຜົດກາຣທົດລອງດັ່ງ ກາພປະກອບ 6 ແລະ ແສດງຄ່າກາຣໝູນຂອງເຄອງ ແລະ ຄວາມວິ່ນຂອງເຄອງກັບມຸນຕກກະທົບຈາກທຸຜະວິທີແປງ ຄ່າຕາມຄ່າດັ່ງນີ້ທັກເໜ (n) ແລະ ຄ່າຄົງທີ່ທັນສາສຕ່ຽມເໜ້ດັກ (Q) ດັ່ງກາພປະກອບ 7



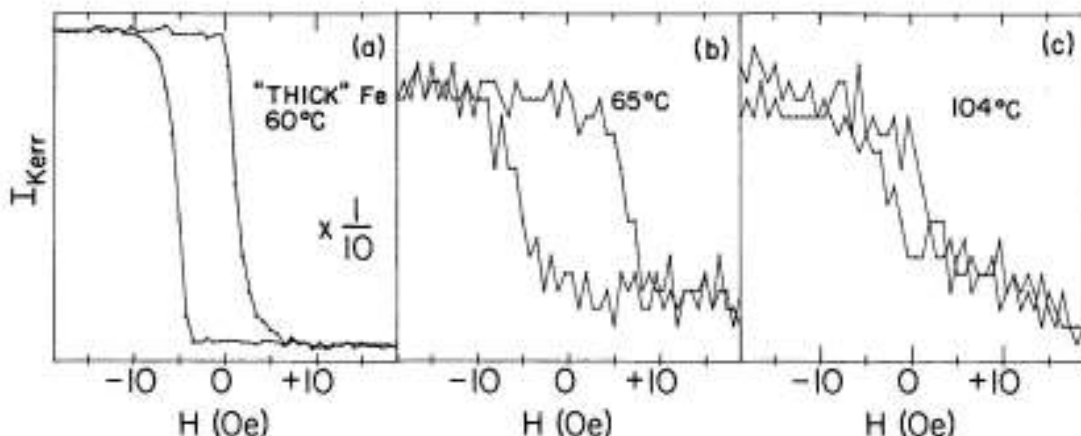
ภาพประกอบ 7 ค่าการหมุนของเคอร์และความรีของเคอร์ที่แปรกับมุมตอกกระหบจากทฤษฎีเมื่อเปลี่ยนค่าดัชนีหักเห (n) และค่าคงที่ทัศนศาสตร์แม่เหล็ก (Q)

ที่มา: Irene Reichl. (2005). *Theoretical Investigations of Magneto-Optical Properties of Multilayer Systems*. p. 34.

2.2 เอกสารงานวิจัยที่เกี่ยวข้อง

2.2.1 งานวิจัยของบาเดอร์ มูก และคิว

บาเดอร์และมูก (Bader; & Moog. 1987: 3730) ได้ออกแบบและสร้างระบบการวัด SMOKE ระบบแรกขึ้นในปี ค.ศ. 1985 เพื่อตรวจสอบคุณสมบัติทางแม่เหล็กของฟิล์มเหล็กปลูกบนหงอนระนาบ (100) ($\text{Fe}/\text{Au}(100)$) โดยสามารถสร้างวงวิสเทอเรชิสซึ่งเป็นสัญญาณระหว่างค่าความเข้มของเคอร์ (Kerr intensity) และสนามแม่เหล็กที่ให้กับสารตัวอย่างได้ดังภาพประกอบ 8 ในเวลาต่อมาคิวและบาเดอร์ (Qiu; & Bader. 2000: 1243) ได้พัฒนาระบบการวัด SMOKE ให้มีประสิทธิภาพดีขึ้นโดยระบบมีองค์ประกอบและการจัดอุปกรณ์เพื่อวัดสัญญาณของเคอร์แบบเชิงขั้วและแบบตามยาว ดังภาพประกอบ 9



ภาพประกอบ 8 วงวิสเทอเรชิสที่ได้จากการวัด SMOKE ของฟิล์ม Fe บนผ้า Au(100) โดย (a) ฟิล์ม Fe หนา วัดที่อุณหภูมิ 60°C (b) วัดที่อุณหภูมิ 65°C และ (c) วัดที่อุณหภูมิ 104°C

ที่มา: S. D. Bader; & E. R. Moog. (1987, April 15). Magnetic Properties of Novel Epitaxial Films (Invited). *Journal of Applied Physics*. 61(8). 61(8): 3731.

การวัดสัญญาณของเคอร์ของคิวและบาเดอร์จะพิจารณาจากองค์ประกอบสนามไฟฟ้าของแสงที่ตกลงบนผิวสาร ถ้าฉายแสงที่เป็นแสงโพลาไรซ์ในแนวขานาน (E_p) ตกลงบนผิวสารที่ไม่เป็นแม่เหล็ก แสงที่สะท้อนจะเป็นแสงโพลาไรซ์ในแนวขานานเพียงอย่างเดียวจะไม่มีองค์ประกอบของสนามไฟฟ้าในแนวตั้งจากเกิดขึ้น แต่ถ้าฉายแสงตกลงบนผิวสารที่เป็นแม่เหล็กเพริโรมจะทำให้มีองค์ประกอบการโพลาไรซ์ในแนวตั้งจาก (E_s) เกิดขึ้นด้วย โดยอัตราส่วนของขนาดสนามไฟฟ้าใน

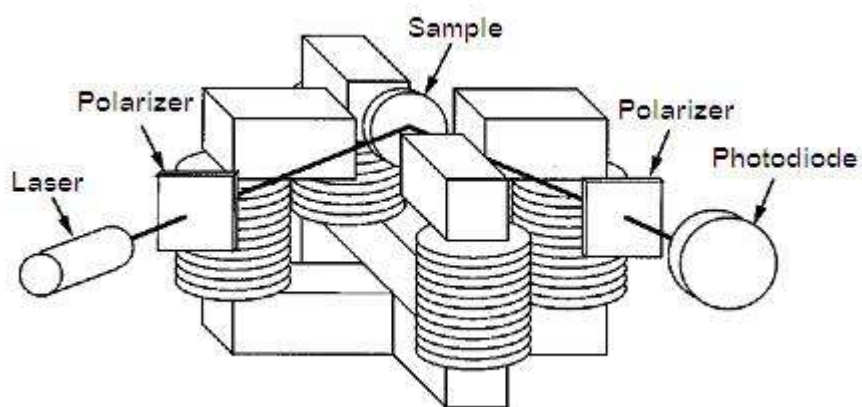
แนวตั้งจากและแนวขานาน (E_s/E_p) คือการหมุนของเคอร์ ดังนั้นการสร้างเครื่องมือสำหรับวัดปรากฏการณ์เคอร์ คือการวัดองค์ประกอบสนามไฟฟ้าในแนวตั้งจาก (E_s) ซึ่งทำได้โดยการติดตั้งโพลาไรเซอร์เชิงเส้นไว้หน้าตัววัดแสง (photo detector) เพื่อตัดองค์ประกอบในแนวขานานออกไป แต่วิธีนี้ มีข้อบกพร่องเนื่องจากอุปกรณ์วัดแสงจะวัดความเข้มแสง ($\sim |E|^2$) ซึ่งเป็นสัดส่วนโดยตรงกับความ เป็นแม่เหล็กยกกำลังสองและเป็นการยากที่จะหาค่าการหมุนของเคอร์ที่แท้จริง การแก้ปัญหานี้ สามารถทำได้โดยการหมุนโพลาไรเซอร์เป็นมุม δ จากแกน p ทำให้ความเข้มแสงที่วัดได้โดยอุปกรณ์ วัดแสงหลังจากผ่านโพลาไรเซอร์มีค่าเป็น

$$I = \left| E_p \sin \delta + E_s \cos \delta \right|^2 \approx \left| E_p \delta + E_s \right|^2 \quad (2.106)$$

และโดยการกำหนดให้ $E_s/E_p = \phi' + i\phi''$ โดยที่ ϕ' เป็นการหมุนของเคอร์และ ϕ'' เป็นความรีของ เคอร์ ดังนั้นจะได้สมการ (2.106) เป็น

$$I = \left| E_p \right|^2 \left| \delta + \phi' + i\phi'' \right|^2 \approx \left| E_p \right|^2 (\delta^2 + 2\delta\phi') = I_0 \left(1 + \frac{2\phi'}{\delta} \right) \quad (2.107)$$

โดยที่ $I_0 = \left| E_p \right|^2 \delta^2$ คือ ความเข้มแสงที่การหมุนของเคอร์เป็นศูนย์



ภาพประกอบ 9 องค์ประกอบและการจัดชุดระบบการวัด SMOKE ของคิวและบาเดอร์

ที่มา: Z. Q. Qiu; & S. D. Bader. (2000, March). Surface Magneto-Optic Kerr Effect. *Review of Scientific Instruments.* 71(3): 1247.

ถ้าทำให้ทั้ง ϕ' และ ϕ'' เป็นสัดส่วนโดยตรงกับความเป็นแม่เหล็ก ความเข้มแสงที่วัดได้จะเป็นพังค์ชันของสนามแม่เหล็ก (**H**) และจะทำให้ได้เป็นวงฮิสเทอเริชีสของสารตัวอย่าง และเมื่อให้สนามแม่เหล็กภายในอกกับสารตัวอย่างจนถึงจุดอิมตัวค่าการหมุนของเคอร์จะมีค่าสูงสุด โดยการหมุนของเคอร์เมื่อแม่เหล็กอิมตัว (saturation Kerr rotation, ϕ'_m) จะหาได้จาก

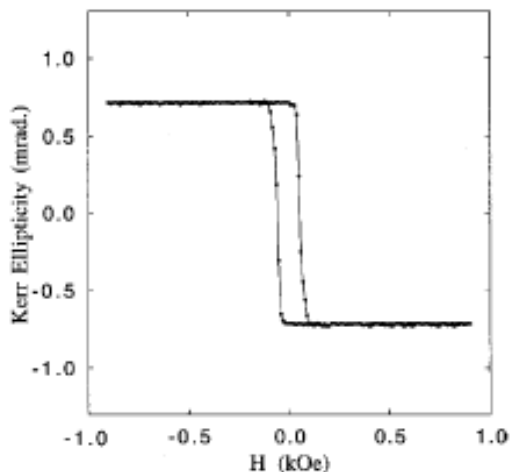
$$\phi'_m = \frac{\delta}{4} \cdot \frac{\Delta I}{I_0} \quad (2.108)$$

ในจุดอุปกรณ์ของระบบ SMOKE ในภาพประกอบ 9 แหล่งกำเนิดแสงที่ใช้โดยทั่วไปจะเป็นแสงเลเซอร์ที่มีกำลังต่ำ แต่ในการทดลองบางอย่าง เช่นการศึกษาระดับโมโนเลเยอร์ (monolayer, ML) ต้องการแสดงเลเซอร์ที่มีเสถียรภาพของความเข้มสูง เนื่องจากการเปลี่ยนแปลงความเข้มของแสงจะลดสัญญาณของเคอร์ลง และจะทำให้การวัดวงฮิสเทอเริชีสมีการบิดเบี้ยวไป การใช้โพลาไรเซอร์แบบปริซึมผลัก สามารถใช้ได้ทั้งเป็นตัวกำหนดการโพลาไรซ์และเป็นตัววิเคราะห์ก่อนเข้าคุปกรณ์วัดแสง โดยโพลาไรเซอร์แบบแผ่นก็สามารถใช้ได้แต่จะลดอัตราการหักล้างของแสงมากกว่าแบบปริซึม ซึ่งไม่เหมาะสมสำหรับการศึกษาระดับโมโนเลเยอร์ สำหรับแม่เหล็กไฟฟ้าที่สร้างสนามแม่เหล็กภายในแนวขานานกับตัวอย่าง ประกอบด้วยขดลวดโซลูต์ส่องคู่แยกจากกัน สำหรับสร้างสนามแม่เหล็กในแนวขานานกับผิวและแนวตั้งจากกับผิวชินาน เพื่อวัดปรากฏการณ์ของเคอร์ตามยาและเชิงข้าว โดยแม่เหล็กมีความสูง 13 cm ยาว 15 cm และช่องระหว่างขั้วกว้าง 4 cm พื้นขดลวดจำนวนประมาณ 300 รอบ โดยใช้ลาดเกจ 12 หรือ 13 (AWG 12, AWG 13) ซึ่งสามารถสร้างสนามแม่เหล็กได้ประมาณ 1.5 kOe ที่กระแสขนาด 20 A สำหรับการวัดในระบบสัญญาภัย กระจากที่ใช้ให้แสงเดินทางผ่านจะทำให้เกิดการหักเหสองแนวซึ่งจะทำให้ผลการวัดคลาดเคลื่อนสามารถแก้ไขได้โดยการใส่แผ่นเลื่อนคลื่นหนึ่งในสี่ (quarter-wave plate) ก่อนเข้าตัววิเคราะห์เพื่อกำจัดผลของการหักเหสองแนวออกไป โดยจะทำให้เกิดความต่างเฟสระหว่างองค์ประกอบในแนวขานานและแนวตั้งจากเป็น $\pi/2$ ทำให้ตัววิเคราะห์สร้างสัญญาณในพจน์ของ $i(\phi' + i\phi'') = -\phi'' + i\phi'$ ซึ่งจะทำให้สามารถวัดความเข้มของเคอร์ได้เป็น

$$I = |E_p|^2 (\delta^2 + 2\delta\phi'') = I_0 \left(1 + \frac{2\phi''}{\delta} \right) \quad (2.109)$$

นั่นคือจะสามารถวัดค่าความรีของเคอร์แทนค่าการหมุนของเคอร์ได้ ถ้าต้องการที่จะวัดการหมุนของเคอร์จะต้องใช้แผ่นเลื่อนครึ่งคลื่น (half-wave plate) แทนแผ่นเลื่อนคลื่นหนึ่งในสี่

เนื่องจากความเข้มแสงที่สะท้อนจากผิวของสารตัวอย่างมีความสัมพันธ์โดยตรงกับการหมุนและความรีของเครื่องตามสมการ (2.107) และ (2.109) และการหมุนของเครื่องมีความสัมพันธ์โดยตรงกับความเป็นแม่เหล็กตามสมการ (2.2) เมื่อสร้างกราฟความสัมพันธ์ระหว่างความเข้มแสงหรือการหมุนของเครื่องหรือความรีของเครื่องกับสนามแม่เหล็กภายนอกจะมีลักษณะเป็นวงยิสเทอเรชิส ดังเช่นในภาพประกอบ 10 ซึ่งเป็นวงยิสเทอเรชิสที่ได้จากการวัดสัญญาณของความรีของเครื่อร์เทียบกับสนามแม่เหล็กภายนอกของพิล์มเหล็กหนา 6 ไมโครเมตรบนเงินระนาบ (100) (Fe/Ag(100))



ภาพประกอบ 10 วงยิสเทอเรชิสของสัญญาณ SMOKE ที่ได้จากการวัดพิล์ม 6 ML Fe/Ag(100)

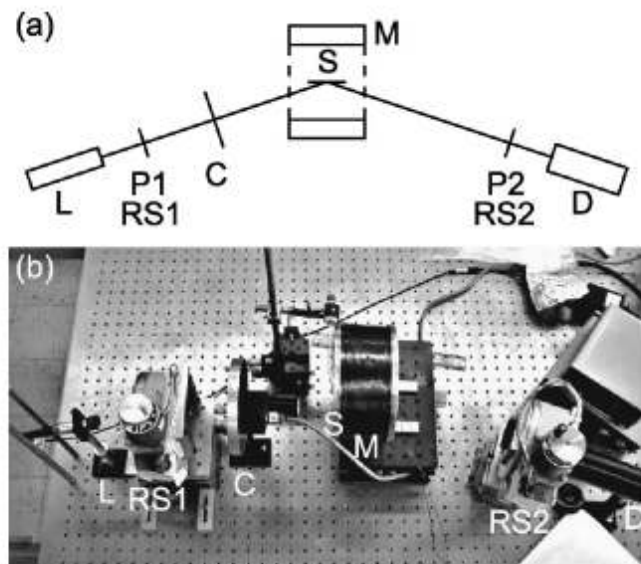
ที่มา: Z. Q. Qiu; & S. D. Bader. (2000, March). Surface Magneto-Optic Kerr Effect. *Review of Scientific Instruments.* 71(3): 1247.

2.2.2 งานวิจัยของแฮมตัน อัลเบอร์โตและอบรูนา

แฮมตัน อัลเบอร์โตและอบรูนา (Hampton; Albertos; & Abruna. 2002: 3018-3021) ได้พัฒนาระบบ SMOKE เพื่อใช้ในงานด้านไฟฟ้าเคมีในปี ค.ศ. 2002 โดยระบบเป็นดังภาพประกอบ 11 แหล่งกำเนิดแสงเป็นเลเซอร์ไดโอดขนาด 5 mW ความยาวคลื่น 635 nm ซึ่งมีเสถียรภาพของความเข้มแสงและระนาบของการโพลาไรซ์สูง โดยแสงจะเดินทางจากแหล่งกำเนิดแสงผ่านโพลาไรเซอร์ (P1) สะท้อนที่ตัวอย่างแล้วผ่านโพลาไรเซอร์ (P2) และวัดความเข้มแสงด้วยโฟโตมิเตอร์ (D) โพลาไรเซอร์ที่ใช้มีเส้นผ่านศูนย์กลางขนาด 49 mm ติดตั้งบนฐาน RS1 และ RS2 ที่หมุนได้ซึ่งสามารถปรับตำแหน่ง

มุกการหมุนได้อาย่างละเอียด โพลาไรเซอร์ที่ใช้นี้จะมีอัตราส่วนการหักล้างของแสง (extinction ratio) ประมาณ 10^{-4}

สนามแม่เหล็กภายนอกจะถูกสร้างโดยแม่เหล็กไฟฟ้าซึ่งมีโครงสร้างดังภาพประกอบ 12 โดยใช้ลวดทองแดงเคลือบอนวนขนาดเกจ 18 (AWG 18) พันรอบแกนอะลูминียมยาว 95 mm กว้าง 117 mm โดยมีความต้านทานของชุดลวดประมาณ 20Ω ใช้แหล่งจ่ายกำลังขนาดกระแส 4 A ที่ความต่างศักย์ 100 V สามารถสนามแม่เหล็กโดยใช้หัววัดฮอลล์ (Hall probe) ได้สูงสุด 500 Oe ที่ตำแหน่งกลางแม่เหล็กและ 400 Oe ที่ขอบ โดยสามารถใช้วัดปรากฏการณ์เคอร์ร์แบบตามยาว แบบตามขวาง และแบบเชิงข้าวได้ อีกทั้งยังสามารถติดเข้ากับแฟลنج (flanges) ขนาด 4.5 in เพื่อใช้วัด ณ ตำแหน่งเดิม (in situ) ในระบบสูญญากาศ ความเข้มแสงจะถูกมอดูเลตโดยชุดปีเปอร์เชิงกล (mechanical chopper) ที่ความถี่ประมาณ 500 Hz และผ่านเข้าสู่เครื่องขยายแบบล็อกอิน (lock-in amplifier) ซึ่งแหล่งจ่ายกำลังและเครื่องขยายแบบล็อกอินจะถูกควบคุมและประมวลผลด้วยคอมพิวเตอร์ผ่านแผ่นวงจรจีพีไอบีโดยใช้โปรแกรมแลบวิว (Labview)



ภาพประกอบ 11 รูปแบบการจัดวางเครื่องมือสำหรับวัดสัญญาณ SMOKE แบบตามยาวของเข็มตัน อัลเบอร์ต์และอบรุนา

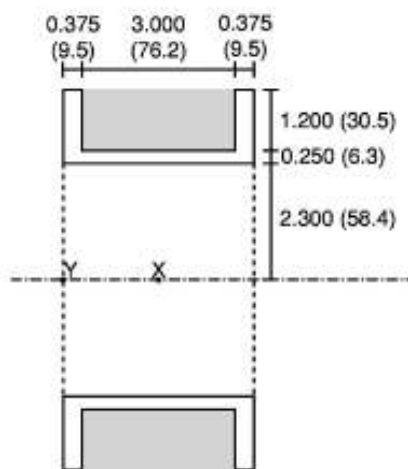
ที่มา: Jenifer R. Hampton; José Luis Martínez Albertos; & Héctor D. Abruna. (2002, August). Development of a Versatile SMOKE System with Electrochemical Applications. *Review of Scientific Instruments.* 73(8): 3019.

ในการใช้งานจะปรับโพลาไรเซอร์ตัวแรกเพื่อให้ได้แสงที่มีระนาบการโพลาไรซ์ที่ต้องการ จากนั้นจะปรับโพลาไรเซอร์ตัวที่สองเพื่อให้ได้ความเข้มแสงที่คุ้ปกรอน์วัดแสงน้อยที่สุด โดยมีอัตราส่วน การหักล้างของแสงเมื่อโพลาไรเซอร์วิเคราะห์ข่านกับโพลาไรเซอร์ตัวแรกอยู่ในช่วงตั้งแต่ 5×10^{-5} ถึง 5×10^{-4} เพื่อให้การวัดมีความถูกต้อง แสงที่ตกกระทบต้องมีโพลาไรซ์ในแนว s หรือ p เพียงอย่างเดียว จากนั้นปรับมุมของตัววิเคราะห์ให้หมุนไปเป็นมุม δ ซึ่งมีค่าประมาณ 5° ถึง 8° จากตำแหน่งที่แสงหักล้างกัน โดยจะได้มุมการหมุนของเคอร์เป็น

$$\phi' = \frac{\delta}{2} \frac{I - I_0}{I_0} \quad (2.110)$$

โดยที่ I คือ ความเข้มแสงที่วัดได้

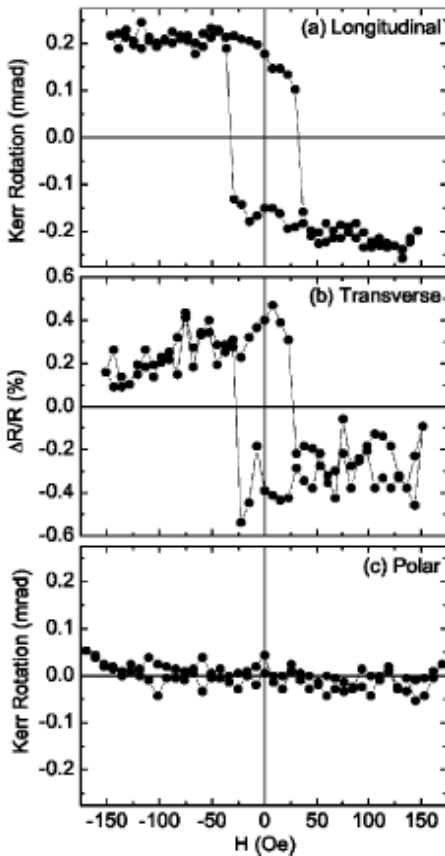
I_0 คือ ความเข้มแสงเดิมในวงอิสเทอเริชิส หรือความเข้มแสงที่รัดได้เมื่อไม่มีการหมุนของเคอร์



ภาพประกอบ 12 แม่เหล็กสำหรับระบบ SMOKE โดยมีสนามแม่เหล็กที่ตำแหน่ง X เป็น 500 Oe และ ที่ตำแหน่ง Y เป็น 400 Oe ที่กระแส 4 A

ที่มา: Jenifer R. Hampton; José Luis Martínez Albertos; & Héctor D. Abruna. (2002, August). Development of a Versatile SMOKE System with Electrochemical Applications. *Review of Scientific Instruments.* 73(8): 3019.

การทดสอบระบบนี้จะใช้ฟิล์มของโคบอลต์เคลือบแบบไอ (vapor deposited) บนผลึกความต้านทานของฟิล์มประมาณ 100 \AA โดยจะวัดปรากฏการณ์เคอร์ทั้งสามแบบคือแบบตามยาว ตามขวาง และเชิงข้าม เมื่อให้แสงเลเซอร์ต่อกลไกแบบผิวสารตัวอย่างด้วยมุมใกล้ตั้งฉากกับผิวโดยจะได้ผลการวัดดังภาพประกอบ 13 ซึ่งจะสามารถเห็นว่างไฮสเทอโรชิสได้ยกเว้นแบบเชิงข้ามแสดงว่าความเป็นแม่เหล็กในสารตัวอย่างนี้ไม่มีทิศในแนวตั้งจากกับผิว ความไวของเครื่องมือนี้แสดงได้จากความสามารถวัดของไฮสเทอโรชิสในปรากฏการณ์แบบตามยาวซึ่งมีสัญญาณน้อยมากได้

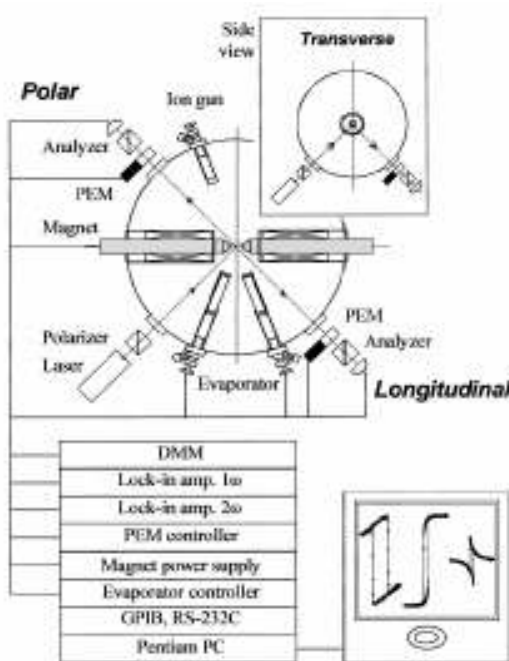


ภาพประกอบ 13 ว่างไฮสเทอโรชิสของสัญญาณ SMOKE ทั้งสามแบบ ของฟิล์มโคบอลต์บนความต้านทาน

ที่มา: Jenifer R. Hampton; José Luis Martínez Albertos; & Héctor D. Abruna. (2002, August). Development of a Versatile SMOKE System with Electrochemical Applications. *Review of Scientific Instruments*. 73(8): 3020.

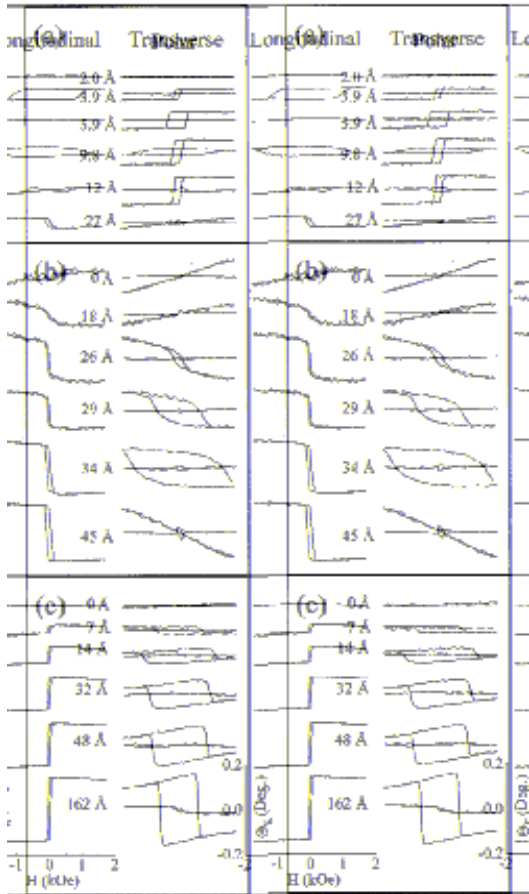
2.2.3 งานวิจัยของลีและคณะ

ลีและคณะ (Lee; et al. 2000: 3801-3805) ได้สร้างระบบการวัด SMOKE ซึ่งสามารถวัดวง磁ส์เทอริชส์ได้ทั้งสามรูปแบบ ณ ตำแหน่งที่ทำการปลูกฟิล์มภายในส่วนทดลองของระบบสุญญากาศระดับสูงยิ่ง โดยระบบเป็นดังภาพประกอบ 14 ประกอบด้วยห้องทดลอง (chamber) ทรงกลมเส้นผ่านศูนย์กลาง 400 mm ติดตั้งระบบปั๊มเพื่อสร้างระบบสุญญากาศระดับสูงยิ่งประกอบด้วยไอโอนปั๊ม (ion pump) ขนาด 240 l/s ของ POSCON ไทเทเนียมชับบลิเมชันปั๊ม (titanium sublimation pump) ของ Physical Electronics จำนวน 2 ชุด เทอร์โบโมเลกุลาร์ปั๊ม (turbomolecular pump) ขนาด 400 l/s ของ Alcatel ATP400 และปั๊มเชิงกล (mechanical pump) ขนาด 500 l/min ของ KODIVAC เมื่อใช้ระบบปั๊มทั้งหมดจะสร้างความดันภายในส่วนทดลองอยู่ที่ 5×10^{-11} torr



ภาพประกอบ 14 แผนภาพแสดงระบบการวัด SMOKE ทั้งสามรูปแบบของลีและคณะ

ที่มา: J. W. Lee; et al. (2000, October). Three-Configurational Surface Magneto-Optical Kerr Effect Measurement System for an Ultrahigh Vacuum in situ Study of Ultrathin Magnetic Films. *Review of Scientific Instruments.* 71(10): 3802.



ภาพประกอบ 15 วัสดุสเทอวิชของสัญญาณ SMOKE ทั้งสามรูปแบบที่แบรค่าตามความหนาของ พิล์ม Co เมื่อปั๊กบน Pd(111) glass และ 200 Å Pd/glass

ที่มา: J. W. Lee; et al. (2000, October). Three-Configurational Surface Magneto-Optical Kerr Effect Measurement System for an Ultrahigh Vacuum in situ Study of Ultrathin Magnetic Films. *Review of Scientific Instruments*. 71(10): 3803.

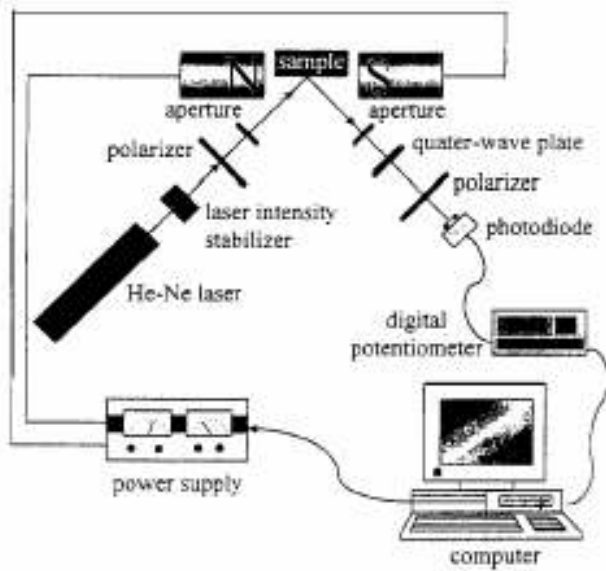
คุปกรณ์สำหรับระบบการวัด SMOKE จะประกอบด้วยแม่เหล็กซึ่งพันด้วยลวดทองแดงอย่างน้ำยาขนาดเส้นผ่านศูนย์กลาง 1.0 mm มีความต้านทานรวม 3.5Ω ใช้กับแหล่งจ่ายกำลังชนิด bipolar ของ EMI BOSS โดยตัวแม่เหล็กจะติดตั้งกับแฟลกขนาดเส้นผ่านศูนย์กลาง 4 in และอยู่ภายในระบบสุญญากาศทั้งหมด ขัวแม่เหล็กจะทำจากเหล็กอ่อน เช่น เพอร์เมนเดอร์ (permender) ซึ่งจะให้สนามแม่เหล็กตกค้าง (remanence field) น้อยกว่า 20 Oe และแม่เหล็กจะให้สนามแม่เหล็กสูงสุด 2.0 kOe โดยมีความกว้างของช่องระหว่างขัวแม่เหล็กเป็น 29 mm และลักษณะของแม่เหล็ก

เลเซอร์ไฮเลี่ยม-นีโอน ของ Uniphase และอุปกรณ์วัดแสงใช้ซิลิกอนโฟโตไดโอด ของ Hinds DET90 โพลาไรเซอร์ใช้ชนิดกลาน-เทเลอร์ (Glan-Taylor) ของบริษัท Newport และไฟฟอตอิเล็กทรอนิกส์โดย Hinds PEM90D ที่ความถี่ 50 kHz สำหรับเพิ่มความละเอียดในการวัดสัญญาณ อุปกรณ์ในการอ่านสัญญาณจะใช้ดิจิตอลมัลติมิเตอร์ ของ HP34401A และเครื่องขยายแบบล็อกอิน ของ EG&G 7265 จำนวน 2 ชุด การต่อประสานระบบกับคอมพิวเตอร์จะทำผ่านช่องทางจีพีเอสและช่องทางอนุกรม (RS-232) โดยใช้ไปร่วมแลบวิว

การวัดทดสอบจะใช้ตัวอย่างเป็นฟิล์มของโคบอลต์ปัลกูบันพาลลาเดียมระนาบ (111) (Co/Pd(111)) ฟิล์มของโคบอลต์ปัลกูบันแก้ว (Co/glass) และฟิล์มของโคบอลต์ปัลกูบันพาลลาเดียมปัลกูบันแก้ว (Co/Pd/glass) โดยจะได้ผลดังภาพประกอบ 15 โดยสัญญาณ SMOKE ทั้งสามรูปแบบของฟิล์ม Co บนแผ่นเดียวกับ Pd(111) พบว่าไม่โนโนเดเยอร์ของ Co น้อยกว่า 3.9 Å จะไม่มีวงซิสเทอวิชิสของสัญญาณ SMOKE ทั้งสามรูปแบบซึ่งแสดงว่าไม่เป็นแม่เหล็กเฟอร์โร่ ค่าลบล้างแม่เหล็กแบบเชิงข้าม (polar coercivity) จะมีค่าเพิ่มขึ้นจนสูงสุดที่ 6 Å แล้วลดลงเข่นเดียวกับสัญญาณของเคอร์ตามยาวแสดงให้เห็นว่าแกนง่าย (easy-axis) จะอยู่บนระนาบของผิวเพิ่มขึ้นเมื่อปัลกูฟิล์มหนาขึ้น

2.2.4 งานวิจัยของเชิร์นและคณะ

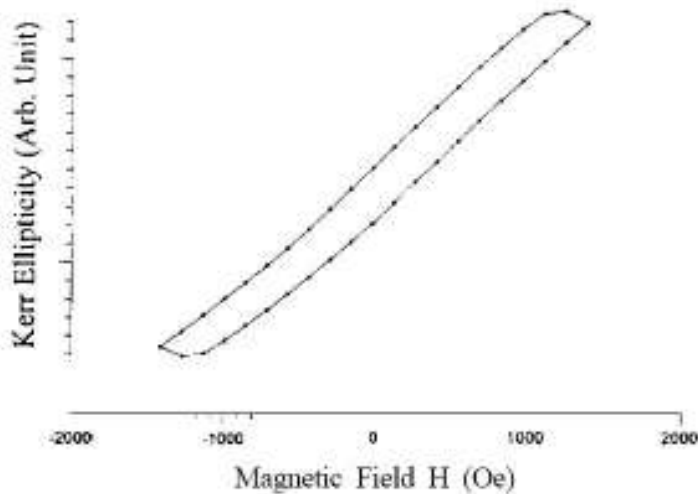
เชิร์นและคณะ (Shern; et al. 1998: 106-113) ได้ใช้ระบบการวัด SMOKE ศึกษาฟิล์ม Ni บน Pt(111) โดยมีองค์ประกอบดังภาพประกอบ 16 แหล่งกำเนิดแสงที่ใช้เป็นเลเซอร์ไฮเลี่ยม-นีโอน ความยาวคลื่น 6328.8 Å มีกำลังออก 5 mW โพลาไรเซอร์สำหรับแสงต่อกลไบทะเป็นชนิดปริซึมแบบกลาน-ทอมสัน (Glan-Thompson) มีอัตราการหักล้างแสง 1×10^{-6} โดยในการทดลองจะเลือกปรับระนาบการโพลาไรซ์ให้อยู่บนระนาบต่อกลไบทะ (p-polarized) โดยจะมีช่องเปิดอยู่หลังจากโพลาไรเซอร์เพื่อป้องกันรัศมีของแสง หลังจากสะท้อนจากผิวของสารตัวอย่างแสงจะเดินทางผ่านแผ่นเลื่อนคลื่นหนึ่งในสี่ชั้นทำให้เกิดการเลื่อนเฟสของแสงเท่ากับ $\pi/2$ ซึ่งจะสับค่าการหมุนของเคอร์ไปเป็นความรีของเคอร์ โพลาไรเซอร์วิเคราะห์เป็นชนิดปริซึมแบบวอลลัสตัน (Wollaston) ซึ่งสามารถแยกองค์ประกอบของแสงเป็น เอส-โพลาไรซ์ และ พี-โพลาไรซ์ ทำให้สามารถอ่านค่าสัญญาณของเคอร์ได้แม่นยำขึ้นเมื่อวัดเฉพาะองค์ประกอบ เอส-โพลาไรซ์ ของลำแสงสะท้อนหลังจากเกิดการหมุนของเคอร์ เนื่องจากอัตราส่วนของการเปลี่ยนแปลงความเข้มแสงต่อความเข้มแสงเดิมขององค์ประกอบ เอส-โพลาไรซ์ ($\Delta I/I$) จะมีค่ามากกว่าขององค์ประกอบ พี-โพลาไรซ์ สัญญาณของเคอร์จะถูกตรวจวัดโดยโฟโตไดโอดและถูกบันทึกเป็นฟังก์ชันของสนามแม่เหล็ก (H) ที่ให้กับสารตัวอย่าง เพื่อสร้างวงซิสเทอวิชิสด้วยเครื่องคอมพิวเตอร์ โดยระบบนี้สามารถสร้างสนามแม่เหล็กได้สูงสุด 1410 Oe



ภาพประกอบ 16 แผนภาพแสดงการติดตั้งระบบการวัด MOKE ของเชิร์นและคณะ

ที่มา: C. S. Shern; et al. (1998, April). Magnetic Properties of Ni/Pt(111) Thin Films Studied by MOKE. *Chinese Journal of Physics*. 36(2-I): 107.

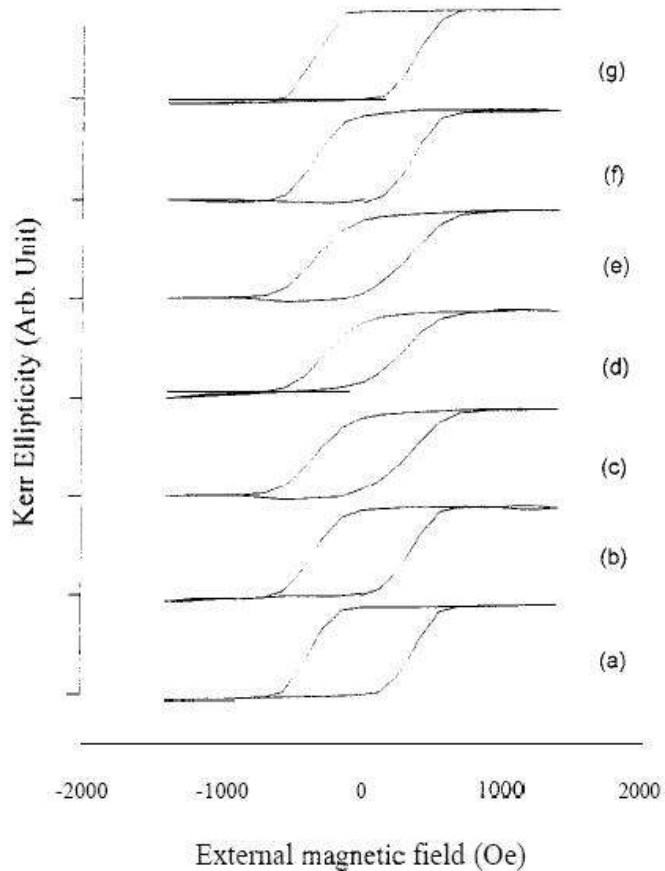
การพัฒนาของระบบ MOKE นี้อย่างที่หนึ่ง คือ การใช้อุปกรณ์รักษาเสถียรภาพความเข้มแสง เลเซอร์ (laser intensity stabilizer) ของ THORLABS ซึ่งเป็นระบบป้องกันเพื่อรักษาระดับความเข้ม แสงของลำเลเซอร์และปรับปรุงอัตราส่วนของสัญญาณต่อสัญญาณรบกวน (signal-noise ratio) สำหรับสัญญาณ MOKE ที่มีสัญญาณอ่อน การพัฒนาอย่างที่สอง คือ การตรวจวัดอัตราการเปลี่ยนแปลงความเข้มแสงต่อความเข้มแสงเดิม ($\Delta I/I$) แทนการวัดเฉพาะการเปลี่ยนแปลงความเข้มแสง (ΔI) ซึ่งกระบวนการน้อมลайлาร์นจะลดการกวัดแกว่ง (fluctuation) ของสัญญาณของเคอร์ และการใช้ไฟโตไดโอดของ ONSET (ET 4000) ซึ่งมีพื้นที่ตรวจขนาดใหญ่ถึง 20 mm^2 ทำให้ไม่จำเป็นต้องใช้อุปกรณ์สำหรับรวมแสงทำให้ลดปัญหาเสถียรภาพของทางเดินแสงลง



ภาพประกอบ 17 วัสดุหกซิสของฟิล์ม Ni/Pt(111) วัดโดยเทคนิค P-MOKE

ที่มา: C. S. Shern; et al. (1998, April). Magnetic Properties of Ni/Pt(111) Thin Films Studied by MOKE. *Chinese Journal of Physics*. 36(2-I): 109.

สำหรับการวัดสัญญาณ MOKE ทั้งสามรูปแบบ เนื่องจากปรากฏการณ์ของเคอร์ด้านทัศนศาสตร์แม่เหล็กแบบตามขวางจะมีการเปลี่ยนแปลงค่าสมประสิทธิ์การสะท้อนน้อยมากสำหรับแสงที่เป็น พี-โพลาไรซ์ ดังนั้นจึงทำการวัดเชิงพารามิเตอร์แบบเชิงข้าวเท่านั้น การพิจารณาแกนง่ายและแกนยาก (hard axis) บนระนาบทำได้โดยการวัด MOKE แบบตามยาวเมื่อเปลี่ยนแปลงค่ามุมแอซิมัท (azimuth) ในภาพประกอบ 17 จะแสดงวัสดุหกซิสของฟิล์มนิกเกิลจากการวัด MOKE แบบเชิงข้าว โดยเป็นพังก์ชันของความเข้มของความรีของเคอร์ซึ่งเป็นสัดส่วนกับความเป็นแม่เหล็กของฟิล์มนิกเกิลปลูกบนแพลทินัมระบายน (111) (Ni/Pt(111)) และสนามแม่เหล็ก ภูริทั่งของวัสดุลักษณะยาวและแคบ และความเป็นแม่เหล็กยังคงไม่อิ่มตัวเมื่อให้สนามแม่เหล็กถึงค่าสูงสุด 1410 Oe โดยค่าสภาพแม่เหล็กต่ำกว่าและสนามลับล้างแม่เหล็กมีค่าน้อย ดังนั้นจึงสรุปได้ว่าแกนยากของความเป็นแม่เหล็กสำหรับระบบนี้จะอยู่ตั้งฉากกับผิวของสารตัวอย่างและแกนง่ายจะอยู่บนระนาบของผิว



ภาพประกอบ 18 วัชสเทอเริชของฟิล์ม Ni/Pt(111) วัดโดยเทคนิค L-MOKE ที่มุนแอกซิมัทเป็น

(a) 0° (b) 30° (c) 60° (d) 90° (e) 120° (f) 150° (g) 180°

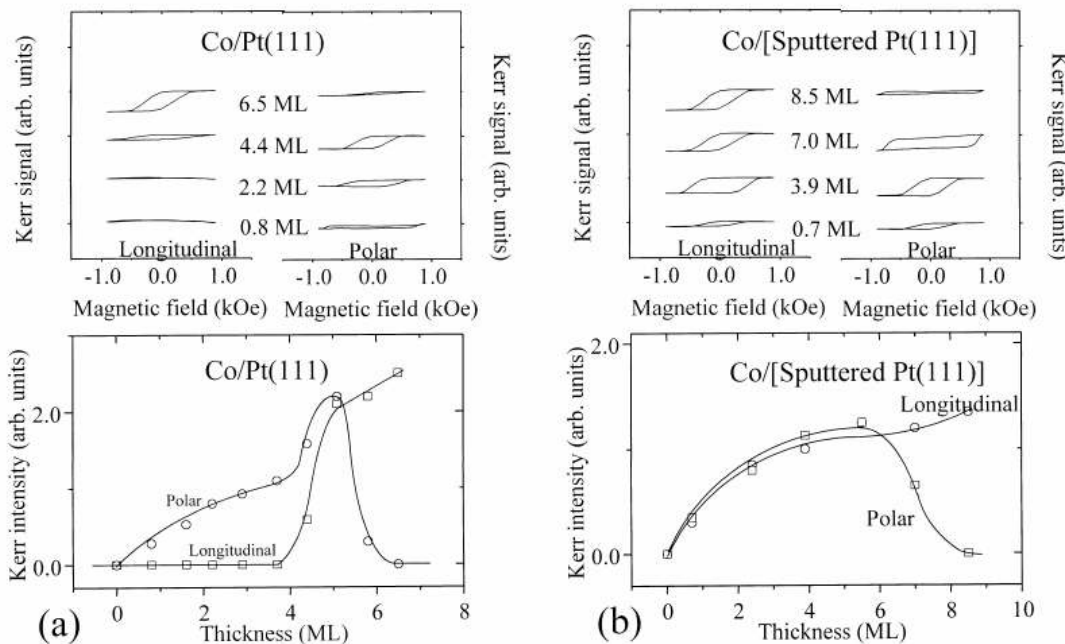
ที่มา: C. S. Shern; et al. (1998, April). Magnetic Properties of Ni/Pt(111) Thin Films Studied by MOKE. *Chinese Journal of Physics.* 36(2-I): 110.

การตรวจสอบแอนไโอโซกรอบปีบวนระนาบทาโดยใช้การวัด MOKE แบบตามยาวเพื่อหาแกนง่ายบนวนระนาบท่องผิวสารตัวอย่าง เนื่องจากความรឹขของเคอร์เป็นสัดส่วนกับความเป็นแม่เหล็กที่มีองค์ประกอบในแนวเวกเตอร์การแฝงของแสง ดังนั้นเมื่อให้มุนตผลกระทบมีค่ามากขึ้นจะทำให้ความรឹของเคอร์มีค่าเพิ่มขึ้นสำหรับ MOKE แบบตามยาว โดยในการทดลองนี้ให้มุนตผลกระทบ 45° และใช้สนามแม่เหล็กภายนอกมีค่าตั้งแต่ -1410 ถึง 1410 Oe โดยทำการหมุนสารตัวอย่างรอบแกนตั้งจากกับผิวสารตัวอย่างเพื่อเบลี่ยนค่ามุนแอกซิมัท (φ) โดยชุดของวัชสเทอเริชที่ค่ามุนแอกซิมัทด่างๆ เป็นดังภาพประกอบ 18 รูปร่างของวัชสเทอเริชที่มุน $\varphi = 0^\circ$ จะคล้ายรูปสี่เหลี่ยมแสดงถึงการมีเพียงสอง

สถานะเท่านั้น ความเป็นแม่เหล็กจะคิมตัวที่ $H_s = 675$ Oe และยังคงคิมตัวเมื่อสนามแม่เหล็กภายในอกมีค่าลดลงจาก 1410 Oe ถึง -150 Oe โดยมีค่าสนามลบล้างแม่เหล็กเท่ากับ 375 Oe เมื่อเปรียบเทียบกับวงอื่นๆ ค่า H_s ที่ $\varphi = 0^\circ$ จะมีค่าน้อยที่สุด แต่มีค่าสนามลบล้างแม่เหล็กและความเป็นแม่เหล็กคงเหลือสูงที่สุด ซึ่งแสดงถึงการเป็นแกนง่ายของความเป็นแม่เหล็ก เมื่อมุม φ มีค่าเพิ่มขึ้นจาก 0° ถึง 90° รูปร่างของวงชิสเทอวิชจะแคบลงและค่า H_s จะเพิ่มขึ้น โดยจะเปลี่ยนจากรูปสี่เหลี่ยมไปเป็นเล้นโค้ง ในขณะที่ H_s จะมีค่าสูงสุดและค่าสนามลบล้างแม่เหล็กและความเป็นแม่เหล็กคงเหลือมีค่าต่ำที่สุดที่มุม $\varphi = 90^\circ$ ซึ่งแสดงถึงการเป็นแกนยากของความเป็นแม่เหล็กบนระนาบของฟิล์ม โดยพบว่าวงชิสเทอวิชที่มุม $180^\circ < \varphi < 360^\circ$ จะเหมือนกับที่มุม $0^\circ < \varphi < 180^\circ$ แสดงว่าฟิล์มนี้มีแอนไอโซทรอปีแม่เหล็กแบบแกนเดียว (uniaxial) บนระนาบ โดยแกนง่ายจะอยู่ในทิศที่ $\varphi = 0^\circ$

ในปี ค.ศ.1999 เชิร์นและคณะ (Shern; et al. 1999: 497-502) ใช้ระบบการวัด MOKE ในการศึกษาฟิล์มของโคบอลต์ปัลูกบันแพลทินัมระนาบ (111) (Co/Pt(111)) ที่มีผิวน้ำเรียบและฟิล์มของโคบอลต์ปัลูกบันแพลทินัมระนาบ (111) ที่มีผิวน้ำขุ่นโดยการสปัตน์เตอร์ด้วยไอโอดอนของอาร์กอน (Ar) โดยมีผลการทดลองดังภาพประกอบ 19 พบร่วมกับว่าสัญญาณของเคอร์เทียบกับสนามแม่เหล็กของฟิล์มของโคบอลต์ปัลูกบันแพลทินัมระนาบ (111) ผิวน้ำเรียบที่อุณหภูมิห้อง ที่ความหนาของฟิล์ม 0.8 และ 2.2 ML จะมีเพียงสัญญาณของเคอร์แบบเชิงข้อเท่านั้น แสดงว่าแกนง่ายของความเป็นแม่เหล็กอยู่ในกรณะของผิวน้ำเรียบ นั่นคือฟิล์มโคบอลต์จะมีแอนไอโซทรอปีแม่เหล็กแบบตั้งฉากที่ฟิล์มหนา 4.4 ML จะมีสัญญาณของเคอร์ทั้งแบบเชิงข้อและแบบตามยาวซึ่งคงแสดงแอนไอโซทรอปีแม่เหล็กแบบตั้งฉาก เมื่อฟิล์มหนาถึง 6.5 ML จะพบเพียงสัญญาณของเคอร์แบบตามยาวแสดงแอนไอโซทรอปีที่อยู่บนระนาบเท่านั้น นั่นคือแอนไอโซทรอปีจากรูปร่าง (shape anisotropy) มีค่าเพิ่มขึ้นจากอัตราการริยาไดโพล

เมื่อพิจารณาค่าความเข้มแสงของเคอร์คิมตัวเทียบกับความหนาพบว่าที่ความหนาอยู่กว่า 3.7 ML จะมีเพียงสัญญาณของเคอร์เชิงข้อซึ่งแสดงแอนไอโซทรอปีแม่เหล็กแบบตั้งฉากเท่านั้น ที่ความหนาระหว่าง 4.5 ถึง 5.8 ML พบร่วมกับการเปลี่ยนแปลงความเข้มแสงของเคอร์ทั้งแบบเชิงข้อและแบบตามยาว จากการวัดโดยเทคนิคการเลี้ยวเบนอิเล็กตรอนพลังงานต่ำ (low energy electron diffraction, LEED) และสเปกตรอกีวีของเอกเจ็คทรอน (auger electron spectroscopy, AES) พบร่วมกับรูปแบบของการปัลูกฟิล์มเป็นแบบเก้าสามมิติ (three-dimensional island) ซึ่งทำให้ฟิล์มไม่สมมาตรและแอนไอโซทรอปีที่ผิวไม่เป็นต่อระบบ เมื่อเพิ่มความหนาของฟิล์มมากกว่า 5.8 ML ความเข้มของเคอร์แบบเชิงข้อจะหายไป มีเพียงความเข้มของเคอร์แบบตามยาวแสดงถึงแอนไอโซทรอปีจากรูปร่างจะมีผลทำให้แอนไอโซทรอปีแม่เหล็กเปลี่ยนจากตั้งฉากกับระนาบมาอยู่บนระนาบของผิว



ภาพประกอบ 19 สัญญาณของเคอร์เทียบกับสนามแม่เหล็กและความหนาของฟิล์ม Co บน

(a) Pt(111) และ (b) Sputtered Pt(111)

ที่มา: C. S. Shern; et al. (1999, March 23). Response and Enhancement of Surface Magneto-Optic Kerr Effect for Co-Pt(111) Ultrathin Films and Surface Alloy. *Surface Science*. 429: L498–L499.

ถ้าพิจารณากรณีฟิล์มของโคบัลต์ป淳กบนแพลทินัมร่วน (111) ที่ผ่านการสปัตเตอร์ด้วยไอออนของ)argonที่พลังงาน 1.6 keV เป็นเวลา 5 min ทำให้ผิวน้ำมีความขุ่นๆ จากการวัดโดยเทคนิคลีดพบร่วมกับการวัดสัญญาณของเคอร์ที่ตั้งแบบเชิงข้ามและแบบตามยาว เมื่อเปรียบเทียบกับแบบแรกพบว่า กรณีไอโซทรอปีแม่เหล็กแบบแรกเดียวกับที่ตั้งจากจะหายไป ซึ่งแสดงว่ากรณีไอโซทรอปีแบบผลึกแม่เหล็ก (magnetocrystalline) มีผลน้อยลงจากการที่ฟิล์มโคบัลต์ไม่สามารถสร้างเป็นโครงสร้างบันพิวที่ขุ่นๆได้ และจากการสปัตเตอร์ทำให้มีเหลี่ยมมุมซึ่งทำให้มีระนาบของความเป็นแม่เหล็กของฟิล์มโคบัลต์ได้หลายทิศทางทำให้พบสัญญาณของเคอร์ทั้งสองอยู่แบบ เมื่อพิจารณาความเข้มของเคอร์เทียบกับความหนาพบว่าที่ความหนามากกว่า 8 ML มีเพียงความเข้มของเคอร์แบบตามยาวเกิดขึ้นเท่านั้น แสดงว่าแกนง่ายของความเป็นแม่เหล็กจะมีอยู่บนระนาบที่นานั้น

บทที่ 3

ขั้นตอนการดำเนินงานวิจัย

3.1 ข้อกำหนดความต้องการของระบบ (system specification requirement)

ระบบการวัด MOKE ที่พัฒนาขึ้นจะต้องมีความสอดคล้องกับข้อกำหนดของความต้องการของระบบดังนี้

3.1.1 ระบบที่พัฒนาขึ้นจะต้องสามารถวัดมุกการหมุนของเครื่องของสารตัวอย่างที่มีสภาพเป็นแม่เหล็ก โดยต้องสามารถวัดสารตัวอย่างได้ทั้งที่เป็นปริมาตร (bulk) และเป็นฟิล์ม (films) ซึ่งการวัดมุกการหมุนของเครื่องนั้นจะต้องวัดไปจนเกินจุดที่ความเป็นแม่เหล็กอิมตัว (saturated magnetization) ของสารตัวอย่าง สำหรับสารที่เป็นปริมาตรต้องให้สนานแม่เหล็กภายนอกที่มีค่าสูงจึงจะทำให้ความเป็นแม่เหล็กของสารอิมตัว ในขณะที่สารที่เป็นฟิล์มจะใช้สนานแม่เหล็กภายนอกลดลงตามความหนาของฟิล์ม เพื่อทำให้ความเป็นแม่เหล็กของสารอิมตัว เนื่องจากสารตัวอย่างที่ต้องการวัดทดสอบเป็นกลุ่มโลหะแганเซียนสามดี (3d transition metal) คือ นิกเกิล (Ni), โคบล็อต (Co) และเหล็ก (Fe) ซึ่งมีสนานแม่เหล็กอิมตัวเป็น 400 Oe, 700 Oe และ 840 Oe ตามลำดับ ดังนั้นจึงจำเป็นต้องสร้างแม่เหล็กไฟฟ้าที่สร้างสนานแม่เหล็ก ณ ตำแหน่งที่วัดสารตัวอย่างได้มากกว่า 840 Oe เพื่อสามารถตรวจสอบสถานะความเป็นแม่เหล็กอิมตัวของวัสดุได้

3.1.2 ระบบที่พัฒนาขึ้นจะต้องสามารถวัดมุกการหมุนของเครื่องที่ขึ้นกับทิศทางของความเป็นแม่เหล็กได้ สำหรับการวัด L-MOKE และ P-MOKE สามารถกำหนดทิศของความเป็นแม่เหล็กได้จาก การให้สนานแม่เหล็กภายนอก ที่มีองค์ประกอบของสนานในทิศเดียวแก่สารตัวอย่าง เพื่อเห็นได้ชัดว่าความเป็นแม่เหล็กของสารจัดเรียงตัวในทิศเดียวกับทิศของสนานแม่เหล็ก ดังนั้นแม่เหล็กไฟฟ้าที่สร้างขึ้นจะต้องสามารถสร้างสนานแม่เหล็กที่มีองค์ประกอบของสนานในทิศทางเดียว ณ ตำแหน่งที่วัดสารได้

3.1.3 ระบบที่พัฒนาขึ้นจะต้องสามารถวัดมุกการหมุนของเครื่อง และแยกแยกค่ามุกการหมุนของเครื่องที่เปลี่ยนไปเมื่อสภาพความเป็นแม่เหล็กของสารเปลี่ยนแปลงไปได้ โดยค่ามุกการหมุนของเครื่องสำหรับ P-MOKE ของปริมาณนิกเกิล, โคบล็อต และเหล็ก จะเป็น $0.13^\circ - 0.30^\circ$ และ 0.41° ตามลำดับ และสำหรับสารตัวอย่างที่เป็นฟิล์มจะมีค่ามุกการหมุนของเครื่องน้อยกว่า ณ ดังนั้นโพลาไรเซอร์เคราะห์ที่ใช้ในระบบจะต้องสามารถวัดมุกให้ละเอียดกว่า 0.13° และตัววัดแสงต้องสามารถวัดความแตกต่างของกำลังแสงเมื่อระบบการโพลาไรเซอร์หมุนไปเป็นมุมน้อยกว่า 0.13° ได้

3.2 ข้อพิจารณาในการออกแบบระบบ (system design consideration)

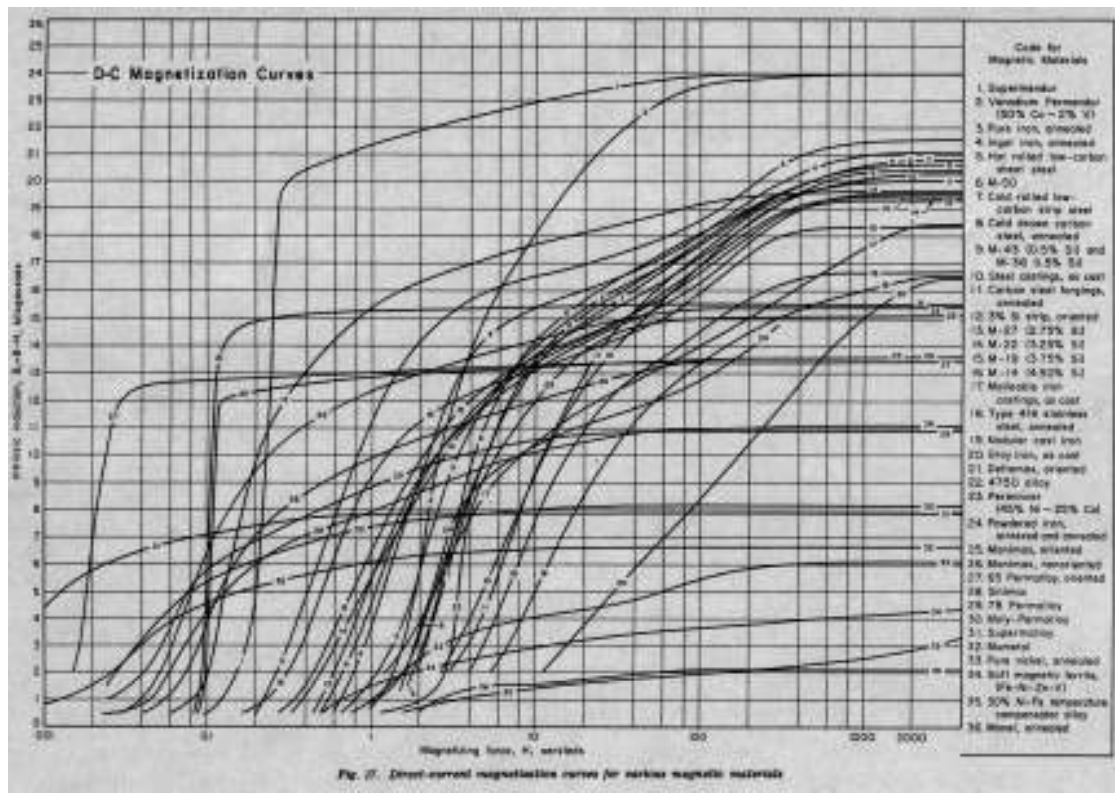
การออกแบบระบบจะพิจารณาเป็น 3 ส่วน คือ

3.2.1 การออกแบบแม่เหล็กไฟฟ้า

การให้สนามแม่เหล็กภายนอกกับสารตัวอย่างจะต้องมีค่าสนามแม่เหล็กคงที่ ณ ช่วงเวลาหนึ่ง เพื่อวัดมุกการหมุนของเคอร์ จากนั้นจะเปลี่ยนค่าสนามแม่เหล็กเพื่อวัดมุกการหมุนใหม่ ทำเช่นนี้ไปเรื่อยๆ จนสามารถสร้างเป็นวงสิสเต็มได้ ดังนั้นแม่เหล็กไฟฟ้าที่ทำจากขดลวดโซลเคนอยด์จึงเหมาะสมที่จะนำมาใช้งาน โดยสามารถให้ค่าสนามคงที่เมื่อจ่ายกระแสคงที่ และเปลี่ยนแปลงค่าสนามได้เมื่อเปลี่ยนแปลงค่ากระแส ทั้งนี้แม่เหล็กไฟฟ้าจะถูกพิจารณาเป็น 3 ส่วน คือ

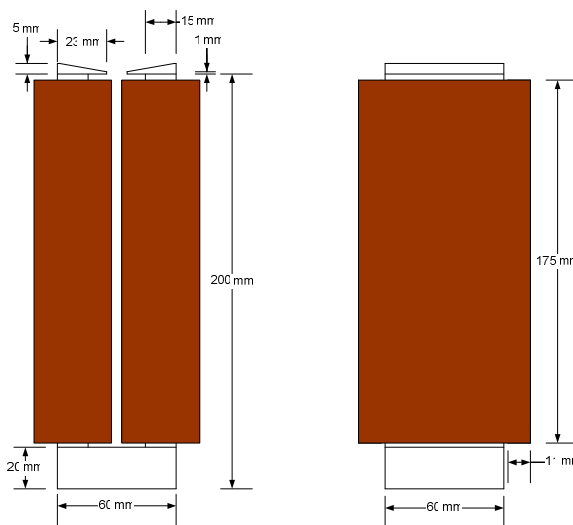
3.2.1.1 แกนแม่เหล็ก (magnet yoke) การทำแม่เหล็กจากขดลวดโซลเคนอยด์แกนօกาศ จะให้ค่าสนามแม่เหล็กต่ำ จึงต้องสวมขดลวดโซลเคนอยด์ลงบนแกนโลหะที่มีค่าสนามตอบล้างแม่เหล็กต่ำ และมีค่าความเป็นแม่เหล็กสูง เช่น โลหะซูเบอร์เมนเดอร์ โลหะวนานาเดียมเพอร์เมนเดอร์ (vanadium permender) และเหล็กกล้าคาร์บอนต่ำ (low carbon steel) ซึ่งมีลักษณะเส้นโค้งของความเป็นแม่เหล็กเป็นดังภาพประกอบ 20 โดยในระบบที่พัฒนาขึ้นนี้เลือกใช้วัสดุที่ทำแกนแม่เหล็ก เป็นเหล็กกล้าคาร์บอนต่ำ ซึ่งมีค่า B_r เท่ากับ 9500 G และ H_c เท่ากับ 50 Oe ขึ้นรูปเป็นรูปตัวยู (U) เพื่อให้แกนทั้งสองด้านของตัวยูทำงานน้ำที่เป็นแกนของขดลวดโซลเคนอยด์สองชุดสำหรับสร้างสนามแม่เหล็กขึ้นเนื่องและใต้สถาบันไป ดังภาพประกอบ 21 โดยการคำนวณหาค่าสนามแม่เหล็กที่ต่ำแห่งต่างๆ ในปริภูมิ (space) จะใช้ชุดคำสั่งเรเดีย (Radia) ซึ่งพัฒนาโดยศูนย์เครื่องมือวิจัยแสงซินโครตรอนแห่งยุโรป (European Synchrotron Research Facilities, ESRF) เป็นโปรแกรมประยุกต์เพิ่มเติมสำหรับโปรแกรม Mathematica โดยใช้หลักการคำนวณแบบวิธีสมាជิกจำกัด (finite element method)

การกำหนดขนาดของแม่เหล็กต้องมีขนาดที่สามารถติดตั้งในช่องเปิดของส่วนทดลอง สุญญากาศ เพื่อใช้ในระบบสุญญากาศในอนาคต ซึ่งขนาดของช่องเปิดที่เหมาะสมมีเส้นผ่านศูนย์กลาง 15 cm ขนาดของแม่เหล็กในส่วนฐานต้องกว้างไม่เกิน 15 cm ในขณะที่ต่ำแห่งที่วัดสารตัวอย่างอยู่ลึกเข้าไปในส่วนทดลอง ซึ่งขัวแม่เหล็กต้องอยู่ใกล้สารตัวอย่างมากเพื่อให้สนามแม่เหล็กมีค่าสูง ดังนั้นแม่เหล็กจึงต้องมีความสูงจากฐานหมายรวมกับระยะการใช้งาน โดยขนาดของแกนแม่เหล็กที่ออกแบบจะมีฐานกว้าง 6 cm ยาว 6 cm และสูง 20 cm มีพื้นที่ภาคตัดขวางของแกนเหล็กที่สนามแม่เหล็กติดผ่านเท่ากับ 9 cm^2 โดยมีความยาวแนวทแยงมุมประมาณ 8.5 cm ซึ่งเป็นครึ่งหนึ่งของระยะที่ใช้งานได้เนื่องจากต้องเหลือระยะส่วนหนึ่งสำหรับใส่ขดลวดโซลเคนอยด์



ภาพประกอบ 20 เส้นโค้งของความเป็นแม่เหล็กแบบกรวยแสดงร่องสำหรับวัดแม่เหล็กชนิดต่างๆ

ที่มา: Joseph King. (2007). *Direct Current Magnetization Curves for Various Magnetic Materials.* (Online).

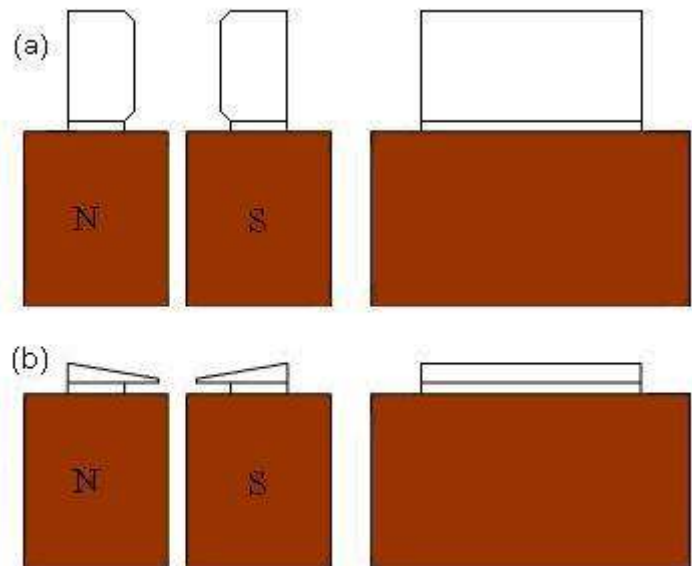


ภาพประกอบ 21 รูปร่างและขนาดของแม่เหล็กที่ออกแบบในมุมมองด้านหน้าและด้านข้าง

3.2.1.2 ข้าวแม่เหล็ก (magnet pole) จะทำขึ้นจากวัสดุชนิดเดียวกันกับแกนแม่เหล็ก โดยจะติดตั้งอยู่บริเวณปลายแกนของตัวยูทั้งสองด้านหน้าเข้าหากัน ดังนั้นตำแหน่งที่วัดสารตัวอย่างจะอยู่บริเวณตรงกลางระหว่างแกนทั้งสองข้างของตัวยูซึ่งจะมีคุณลักษณะของสนามแม่เหล็กสมมาตรทั้งสองด้าน โดยจะออกแบบข้าวแม่เหล็กเป็น 2 รูปแบบ คือ

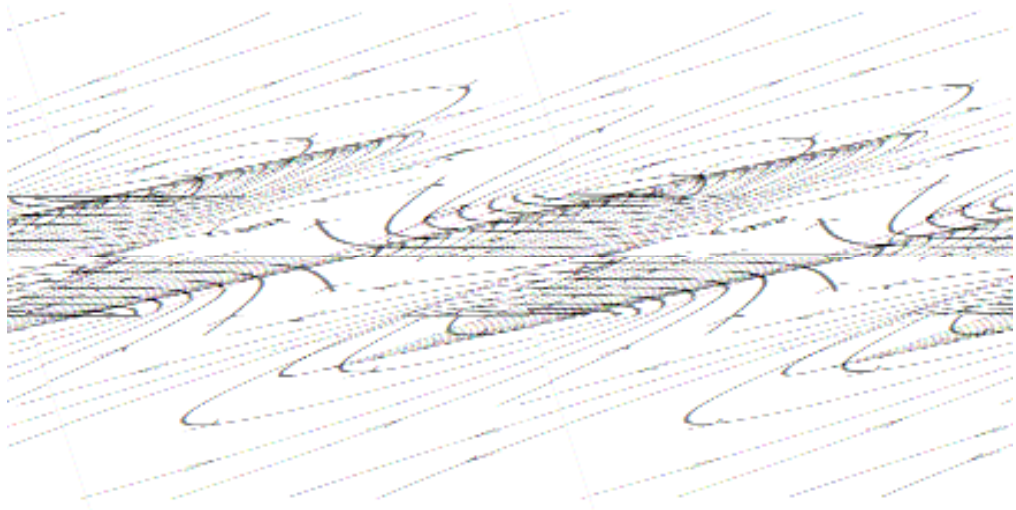
รูปแบบที่ 1 มีรูปทรงพื้นที่หน้าตัดด้านตรงเป็นรูปหกเหลี่ยมและพื้นที่หน้าตัดด้านข้างเป็นรูปสี่เหลี่ยมผืนผ้าขนาดของข้าวแม่เหล็กกว้าง 20 mm ยาว 60 mm และสูง 30 mm ลบมุมด้านในด้านละ 5 mm ดังภาพประกอบ 22 (a) ซึ่งเป็นแบบที่นิยมใช้กันโดยจะวัดสารตัวอย่างที่บริเวณตรงกลางระหว่างข้าวแม่เหล็กที่พิกัด (0,0,215) ข้าวแม่เหล็กแบบนี้มีข้อดีคือสามารถสร้างสนามแม่เหล็กได้สูงและมีความสม่ำเสมอของสนามบนระนาบ xz และ yz แต่มีข้อเสียคือจัดวางมุมต่อกyth ของลำแสงเลเซอร์ได้ยาก

รูปแบบที่ 2 มีรูปทรงพื้นที่หน้าตัดด้านตรงเป็นรูปสามเหลี่ยมและพื้นที่หน้าตัดด้านข้างเป็นรูปสี่เหลี่ยมผืนผ้าขนาดของข้าวแม่เหล็กกว้าง 23 mm ยาว 60 mm และสูง 5 mm ดังภาพประกอบ 22 (b) ซึ่งเป็นแบบที่ตำแหน่งที่ใช้วัดสารอยู่เหนือข้าวแม่เหล็กที่พิกัด (0,0,215) ทำให้มีผลต่อการกำหนดมุมต่อกyth ของลำแสงเลเซอร์ ซึ่งเป็นข้อดีทำให้สามารถจัดมุมการวัดซึ่งเป็นปัจจัยสำคัญอย่างหนึ่งที่มีผลต่อสัญญาณของเครื่องได้ง่าย แต่มีข้อเสียคือสร้างสนามแม่เหล็กได้ต่ำกว่าและมีความสม่ำเสมอของสนามทั้งสองเพียงบนระนาบ xz เท่านั้น



ภาพประกอบ 22 ข้าวแม่เหล็กด้านหน้าและด้านข้าง (a) รูปแบบที่ 1 และ (b) รูปแบบที่ 2

3.2.1.3 ขดลวดโซลеноイด์ มีรูปแบบสนามแม่เหล็กดังภาพประกอบ 23 ในการออกแบบ จะกำหนดรูปทรง ขนาด และขนาดกระแส-รอบ (Ampere-turns) ของขดลวดโซลеноイด์ในชุดคำสั่ง เรเดีย เพื่อสร้างสนามแม่เหล็กให้ได้ขนาด 840 G ที่พิกัด (0,0,215) จากนั้นจะคำนวณกลับเพื่อหาเกจ (guage) ความถูกต้องและความต้านทานของเส้นลวดที่ใช้



ภาพประกอบ 23 ขดลวดโซลеноイด์และสนามแม่เหล็กของขดลวดโซลеноイด์

ที่มา: Paul Lorrain; Dale R. Corson; & Francois Lorrain. (1988). *Electromagnetic Fields and Waves.* p. 332.

โดยค่าสนามแม่เหล็กที่บริเวณปลายขดลวดโซลеноイด์สามารถคำนวณได้จากสมการ

$$B = \frac{\mu N' I \sin \theta_e}{2} \quad (3.1)$$

เมื่อ B คือ สนามแม่เหล็กตรงกลางขดลวดโซลеноイด์ มีหน่วยเป็น T

μ คือ ค่าสภาพให้ซึมผ่านได้ของแม่เหล็ก (magnetic permeability) ของวัสดุที่ทำแกนของ

ขดลวดโซลеноイด์ สำหรับวัสดุเฟอร์ไรต์อ่อน (soft ferrite) มีค่าเท่ากับ $5000 \text{ } \mu\text{N} \cdot \text{A}^{-2}$

N' คือ จำนวนรอบของขดลวดโซลеноイด์ต่อหนึ่งหน่วยความยาว มีหน่วยเป็น $\text{turns} \cdot \text{m}^{-1}$

I คือ กระแสที่ไหลในขดลวดโซลеноイด์ มีหน่วยเป็น A

θ_e คือ มุมที่วัดบนแกน z จากปลายข้างหนึ่งไปยังปลายอีกข้างหนึ่งของชุดลาดโพลารอยด์ มีหน่วยเป็นองศา

(Lorrain; Corson; & Lorrain. 1988: 333)

3.2.2 การออกแบบอุปกรณ์วัดมุมการหมุนของเครื่อง

การวัดมุมการหมุนของเครื่องทำได้ใน 2 รูปแบบ คือ การวัดโดยตรงและการวัดจากการเปลี่ยนแปลงความเข้มแสง การวัดมุมการหมุนของเครื่องโดยตรงจะวัดกำลังแสงเลเซอร์ในขณะที่ยังไม่ให้สนามแม่เหล็กภายนอกกับสารตัวอย่างทำการปรับมุมของโพลาไรเซอร์ไว้เคราะห์เพื่อหาจุดที่กำลังแสงต่ำที่สุดบันทึกเป็นค่ามุมที่แกนโพลาไรเซอร์ตั้งจากกัน จากนั้นให้ค่าสนามแม่เหล็กคงที่กับสารตัวอย่างและทำการปรับมุมของโพลาไรเซอร์ไว้เคราะห์เพื่อหาจุดที่กำลังแสงต่ำที่สุดบันทึกค่ามุมซึ่งความแตกต่างของค่ามุมที่วัดได้จะเป็นมุมการหมุนของเครื่องค่าสนามแม่เหล็กนั้นๆ

การวัดมุมการหมุนของเครื่องจากการเปลี่ยนแปลงความเข้มแสงจะใช้ความสัมพันธ์ระหว่างค่าความเข้มของแสงเลเซอร์ที่ตกบนไฟโตไดโอดและมุมการหมุนของเครื่องตามสมการ (2.107) แต่เนื่องจากตัววัดแสงที่ใช้จะวัดเป็นค่ากำลังแสง ดังนั้นการเปลี่ยนค่ากำลังแสงเป็นค่าการหมุนของเครื่องจะใช้ความสัมพันธ์ระหว่างความเข้มของแสงกับกำลังของแสง $I = P/A$ เมื่อ A คือ พื้นที่ของแสงที่ตกบนไฟโตไดโอด จะได้ความสัมพันธ์ระหว่างการหมุนของเครื่องกับกำลังของแสงเป็น

$$\phi' = \frac{\delta}{2} \frac{P - P_0}{P_0} \quad (3.2)$$

เมื่อ ϕ' คือ มุมการหมุนของเครื่อง มีหน่วยเป็นองศา

P คือ กำลังของแสง มีหน่วยเป็น W

P_0 คือ กำลังของแสงเฉลี่ยหรือกำลังของแสงที่มุมการหมุนของเครื่องเป็นศูนย์ มีหน่วยเป็น W

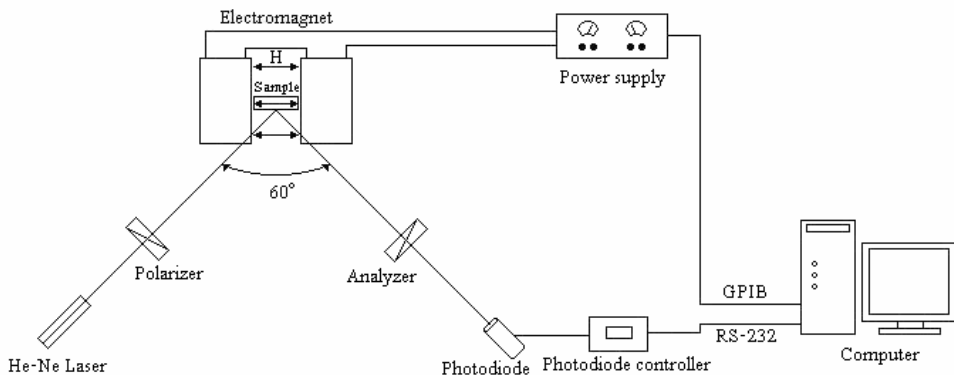
δ คือ มุมการหมุนของตัววิเคราะห์จากตำแหน่งที่แกนการโพลาไรซ์ของโพลาไรเซอร์และตัววิเคราะห์ตั้งจากกัน มีหน่วยเป็นองศา

3.2.3 การออกแบบการจัดวางอุปกรณ์สำหรับการวัด L-MOKE และ P-MOKE

ความแตกต่างของ L-MOKE และ P-MOKE คือการจัดวางระยะของสารตัวอย่างในสนามแม่เหล็กภายนอก โดยจะต้องวางอยู่ตำแหน่งตรงกลางระหว่างขั้วแม่เหล็กซึ่งเป็นบริเวณที่องค์ประกอบของสนามมีความสมมาตรและมีค่าสนามแม่เหล็กสูงสุด ทำให้เกิดข้อจำกัดในการจัดมุมตอกกระบทของลำแสงเลเซอร์ จากภาพประกอบ 6 พบว่าการหมุนของเครื่องจะมีค่าสูงสุดที่มุมประมาณ

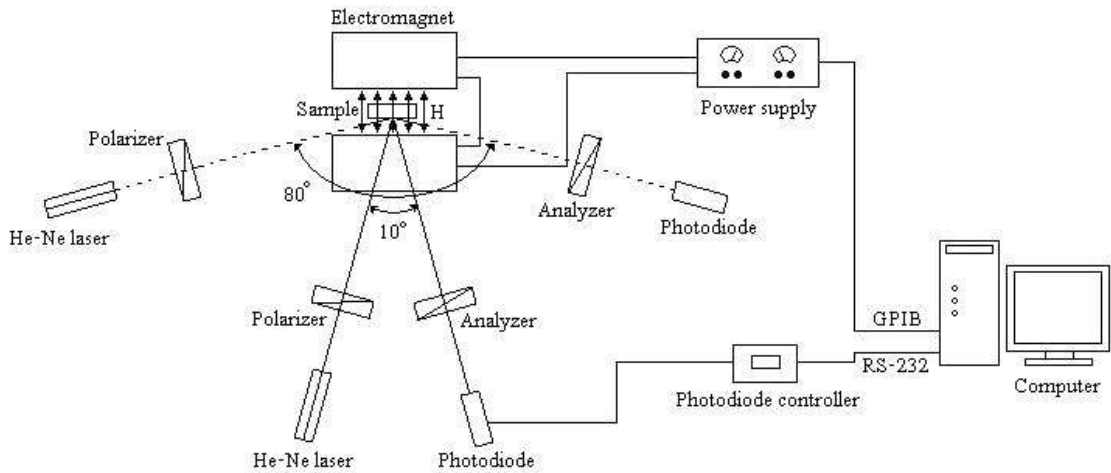
80° สำหรับ L-MOKE ของ พี-โพลาไรซ์ และ 70° สำหรับ L-MOKE ของ เอส-โพลาไรซ์ สำหรับ P-MOKE จะมีค่าการหมุนของเครื่องจะมีค่าสูงสุดที่มุ่งประมาณ 0° หรือ 80° ของ พี-โพลาไรซ์ และ มีค่าตั้งแต่ 0° ถึง 70° ของ เอส-โพลาไรซ์

3.2.3.1 ระบบการวัด L-MOKE จะให้สนามแม่เหล็กในแนวขวางกับผิวน้ำของสารตัวอย่างและอยู่บนระนาบการตกรอบทบ โดยจัดตำแหน่งของแหล่งกำเนิดแสงเลเซอร์และตัววัดแสงให้มีมุ่งตกรอบบนผิวสารตัวอย่างประมาณ 60° สำหรับแสงที่เป็นเอส-โพลาไรซ์ ดังภาพประกอบ 24 ซึ่งการติดตั้งลักษณะนี้สามารถใช้ได้กับขั้วแม่เหล็กทั้งสองแบบ



ภาพประกอบ 24 การจัดวางอุปกรณ์สำหรับการวัด L-MOKE

3.2.3.2 ระบบการวัด P-MOKE จะให้สนามแม่เหล็กในแนวตั้งจากกับผิวน้ำของสารตัวอย่างโดยจัดตำแหน่งของแหล่งกำเนิดแสงเลเซอร์และตัววัดแสงให้มีมุ่งตกรอบบนผิวสารตัวอย่างประมาณ 80° สำหรับขั้วแม่เหล็กแบบที่ 1 และใช้มุ่งตกรอบประมาณ 10° สำหรับขั้วแม่เหล็กแบบที่ 2 โดยใช้กับแสงเอส-โพลาไรซ์ ดังภาพประกอบ 25



ภาพประกอบ 25 การจัดวางอุปกรณ์สำหรับการวัด P-MOKE ของขั้วแม่เหล็กแบบที่ 1 และแบบที่ 2

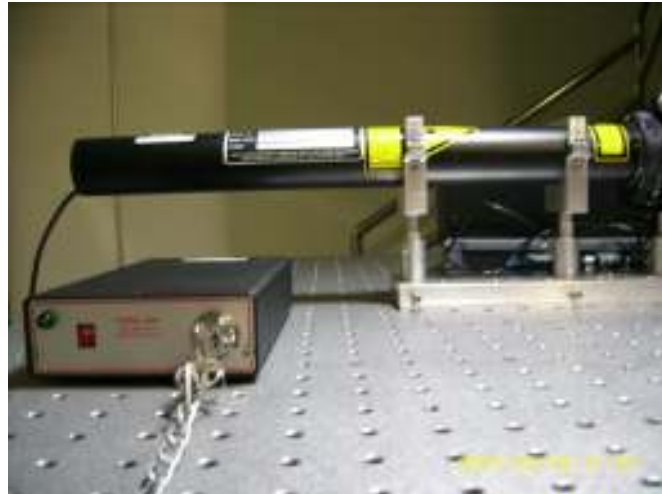
3.3 การดำเนินงานพัฒนาระบบ MOKE (MOKE system development)

ในการพัฒนาระบบนี้ผู้วิจัยได้ดำเนินงานโดยมีขั้นตอนดังนี้

3.3.1 การเตรียมอุปกรณ์สำหรับระบบการวัด MOKE

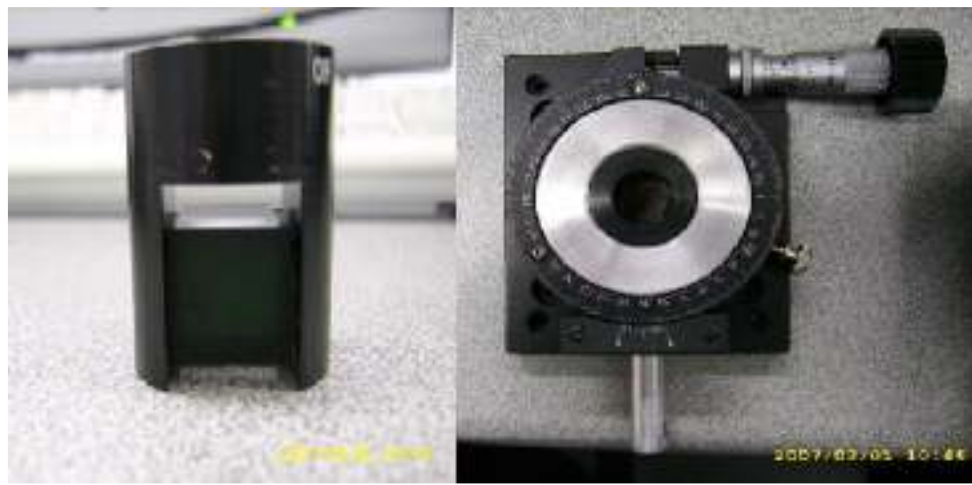
จัดหาอุปกรณ์ที่ไม่สามารถจัดสร้างขึ้นเองได้ซึ่งประกอบด้วยอุปกรณ์ในส่วนที่สำคัญต่างๆ ดังนี้

3.3.1.1 เครื่องกำเนิดแสงเลเซอร์ (laser light source) ทำหน้าที่เป็นแหล่งกำเนิดแสงที่มีความยาวคลื่นค่าเดียว และมีความเข้มแสงคงที่ โดยจะใช้แหล่งกำเนิดแสงเป็นเลเซอร์ He-Ne รุ่น LHRR-0500 30990 ของบริษัท Research Electro Optics, Inc. ซึ่งมีความยาวคลื่น 633 nm ทำงานในโหมด TEM_{00} มากกว่า 99% โดยมีโพลาไรซ์ของแสงแบบสุ่ม เส้นผ่าศูนย์กลางของลำแสง 0.8 mm มุกการบานของลำแสง 1.01 mrad มีสัญญาณรบกวนที่ความถี่ 30 Hz ถึง 10 MHz น้อยกว่า 1%rms ให้กำลังแสงต่ำสุด 5.0 mW และสูงสุดไม่เกิน 10.0 mW



ภาพประกอบ 26 เครื่องกำเนิดแสงเลเซอร์ไฮเดรียม-นีโอน และแหล่งจ่ายกำลัง

3.3.1.2 โพลาไรเซอร์ควบคุมและโพลาไรเซอร์วิเคราะห์ (analyzer) ทำหน้าที่สร้างแสงโพลาไรซ์และวัดมุกการหมุนของเคอร์ ตามลำดับ โดยใช้โพลาไรเซอร์แบบบาน-เลเซอร์ (Glan-laser) และแบบบาน-เทเลอร์ (Glan-Taylor) ของบริษัท Newport ซึ่งมีลักษณะรูปทรงแบบปริซึมประกอบกัน ทำขึ้นจากวัสดุแคลไชท์ (CaCO_3) โดยมีอัตราส่วนการหักล้าง (extinction ratio) ของแสงในองค์ประกอบนานาแยน (p-polarized) และแนวตั้งจาก (s-polarized) น้อยกว่า 10^{-5} สามารถใช้กับแสงใน一波段ตั้งแต่ 220 nm ถึง 2500 nm ติดตั้งอยู่บนตัวหมุนแบบละเอียด (precision rotator) รุ่น 13111 ของบริษัท Newport ซึ่งเป็นอุปกรณ์วัดมุกที่สามารถวัดมุกละเอียดได้สูงสุด 1.5 arcsec หรือ 0.000417° หรือ $7.278 \mu\text{rad}$



ภาพประกอบ 27 (a) โพลาไรเซอร์แบบบาน-เทเลอร์ และ (b) ตัวหมุนแบบละเอียด

3.3.1.3 แหล่งจ่ายกำลังกระแส DC power supply ทำหน้าที่จ่ายกระแสให้กับ ขดลวดโซลеноyd เพื่อสร้างสนามแม่เหล็กให้กับสารตัวอย่าง โดยใช้ของบริษัท Kepco รุ่น BOP 20-20M ขนาด 400 W ซึ่งสามารถใช้งานได้ทั้งในรูปแบบการควบคุมความต่างศักย์ (voltage controlled mode) และรูปแบบการควบคุมกระแส (current controlled mode) สร้างความต่างศักย์ได้ในช่วง ตั้งแต่ -20 V ถึง +20 V และจ่ายกระแสได้ในช่วงตั้งแต่ -20 A ถึง +20 A และมีสีียรภาพในการวัดเชา ระดับความต่างศักย์และกระแสสูง จะใช้งานร่วมกับแผ่นวงจรต่อประสาน (interface card) รุ่น BIT 4886 เพื่อควบคุมการทำงานและรับ-ส่งข้อมูลจากคอมพิวเตอร์ผ่านช่องทางจีพีไอบี (GPIB port)



ภาพประกอบ 28 แหล่งจ่ายกำลังกระแส BOP 20-20M ที่ติดตั้งแผ่นวงจรต่อประสาน BIT 4886
ไว้ภายใน

3.3.1.4 ตัววัดแสง (photo detector) ทำหน้าที่วัดกำลังของแสงเลเซอร์ที่ผ่านออกจากการตัว วิเคราะห์ โดยใช้ของบริษัท OPHIR OPTRONICS รุ่น Laserstar ซึ่งมีหัววัดเป็นไฟโตไดโอดแบบ ซิลิกอนรุ่น PD300 สามารถวัดกำลังแสงได้สูงสุด 3 mW เมื่อไม่ติดตัวกรองแสง (filter) ที่หัววัด และ 3 W เมื่อติดตัวกรองแสงที่หัววัด โดยหัววัดจะต่อเข้ากับชุดควบคุมซึ่งจะทำหน้าที่แปลงสัญญาณความ ต่างศักย์ที่เกิดจากไฟโตไดโอดไปเป็นกำลังแสงโดยสามารถควบคุมการทำงานและรับ-ส่งข้อมูลผ่าน ช่องทางอนุกรม (serial port, RS-232)



ภาพประกอบ 29 ตัววัดแสงชนิดไฟโตไดโอดแบบชิลิกอนและชุดควบคุม

3.3.1.5 แม่เหล็กไฟฟ้า (electromagnet) ทำหน้าที่สร้างสนามแม่เหล็กภายนอกให้กับวัสดุตัวอย่างเพื่อทำให้วัสดุตัวอย่างมีสภาพเป็นแม่เหล็ก โดยจะสร้างสนามแม่เหล็กได้สูงสุดประมาณ 2000 G เมื่อจ่ายกระแสไฟฟ้าที่ 5.5 A และมีขนาดของสนามแม่เหล็กสำหรับเมื่อในบริเวณที่จะวัดสารตัวอย่าง

3.3.1.6 เครื่องคอมพิวเตอร์ ทำหน้าที่ควบคุมการทำงานและรับ-ส่งข้อมูลของกระแสจากแหล่งจ่ายกำลังกระแสตรงผ่านพอร์ตจีพีไอบี และรับ-ส่งข้อมูลของกำลังแสงจากชุดควบคุมไฟโตไดโอดผ่านพอร์ตอนุกรม โดยจะสร้างปัจจัยแปรแปรและปฏิวัติ เพื่อควบคุมอุปกรณ์และนำข้อมูลที่ได้มาประมวลผลสร้างเป็นวงยิสเทอเรอชัน

3.3.1.7 สายต่อเชื่อมอุปกรณ์กับคอมพิวเตอร์ โดยใช้สายสัญญาณจีพีไอบีสำหรับต่อเชื่อมคอมพิวเตอร์กับแหล่งจ่ายกำลังกระแสตรง และใช้สายสัญญาณอนุกรมต่อเชื่อมคอมพิวเตอร์กับชุดควบคุมไฟโตไดโอด

3.3.1.8 โต๊ะทดลองทางศนสัสดร์ (optical table) ทำหน้าที่รองรับระบบ MOKE โดยจะจัดวางและติดตั้งอุปกรณ์ทั้งหมดที่ต้องแน่นหนาต่างๆ บนโต๊ะทดลอง

3.3.2 การสร้างแม่เหล็กไฟฟ้า

เมื่อแม่เหล็กถูกปั้บแต่งขนาดและค่าสนามแม่เหล็ก รวมถึงคำนวนหาขนาดของเส้นลวดทองแดงและจำนวนรอบในการพันขดลวดโซลินอยด์จากชุดคำสั่งเรเดีย จะทำการขีนรูปเหล็กกล้าคาร์บอนตามแบบ และพันขดลวดโซลินอยด์ให้ได้ขนาดและจำนวนรอบตามที่ออกแบบจากนั้นจะนำไปวัดทดสอบค่าสนามแม่เหล็กด้วยหัววัดออลล์

3.3.3 การติดตั้งและต่อประสานระบบการวัด MOKE

การจัดวางอุปกรณ์สำหรับระบบการวัด MOKE ซึ่งประกอบด้วยเครื่องกำเนิดแสงเลเซอร์โพลาไโรเชอร์ แม่เหล็กไฟฟ้า สารตัวอย่าง ตัววิเคราะห์ และไฟโตไดโอด สำหรับ L-MOKE และ P-MOKE เป็นตั้งภาคประกอบ 24 และ 25 โดยแสงจะเดินทางจากเครื่องกำเนิดแสงเลเซอร์ชีลี่มีนีออนผ่านโพลาไโรเชอร์เพื่อให้แสงมีรูปแบบการโพลาไวซ์ในทิศทางเดียวไปตกกระทบสารตัวอย่างที่อยู่ในสนามแม่เหล็ก แสงจะสะท้อนจากสารตัวอย่างผ่านโพลาไโรเชอร์วิเคราะห์และไปตกบนตัววัดแสง

เมื่อประกอบและติดตั้งอุปกรณ์ทั้งหมดแล้วจึงสร้างระบบต่อประสาน เพื่อควบคุมการทำงานและประมวลผลของแหล่งจ่ายกำลังและสูดความคุณไฟโตไดโอด โดยการกำหนดค่ากระแสและอัตราการจ่ายกระแสที่จ่ายให้กับขดลวดโซลเคนอยด์จากโปรแกรม ส่งคำสั่งไปยังแหล่งจ่ายกำลังและรับค่ากระแสที่วัดได้จริงที่ข้อของแหล่งจ่ายกำลังผ่านช่องทางจีพีไอบี นำค่าที่ได้มาใส่ในฟังก์ชันของค่าสนามแม่เหล็กต่อค่ากระแสของข้อแม่เหล็กแต่ละแบบ เพื่อเปลี่ยนค่ากระแสให้เป็นค่าสนามแม่เหล็กอ่านค่ากำลังแสงจากตัววัดแสงเปลี่ยนเป็นมุกการหมุนแล้วสร้างกราฟความสัมพันธ์ระหว่างค่าสนามแม่เหล็กที่ให้กับวัสดุตัวอย่างและค่ามุกการหมุนของเครื่องเป็นวงยิสเทอวิชีส

3.3.4 การวัดทดสอบระบบ

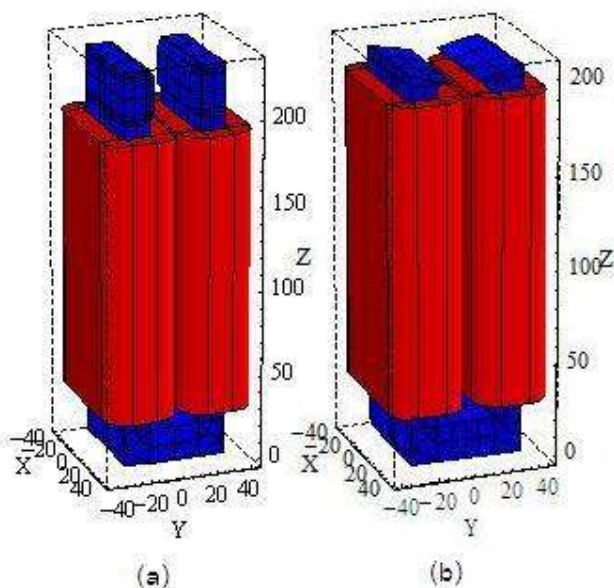
การวัดทดสอบระบบที่ติดตั้งขึ้นจะทำการเตรียมสารตัวอย่างสำหรับวัดทดสอบ ได้แก่ พลีกเดียวของนิกเกิลรูปแบบ (111), เหล็ก, โคบล็อตบริสุทธิ์ (99.995%) และฟิล์มเหล็กหนา 1100 Å ปลูกบนแก้ว สำหรับสารตัวอย่างที่เป็นปริมาตรจะต้องทำการขัดผิวน้ำให้สามารถสะท้อนแสงได้ดี จากนั้นจะติดตั้งเข้ากับแท่นจับสารตัวอย่าง (sample holder) และจัดตำแหน่งแม่เหล็กให้สารตัวอย่างอยู่ที่ตำแหน่งกลางข้อแม่เหล็ก โดยจัดให้รูปแบบของผิวสารตัวอย่างขนาดกับข้อแม่เหล็กสำหรับการวัด P-MOKE และตั้งจากกับข้อแม่เหล็กสำหรับการวัด L-MOKE ฉายแสงเลเซอร์ผ่านโพลาไโรเชอร์ควบคุม เพื่อกำหนดรูปแบบการโพลาไวซ์ของแสงเป็นเอกซ์-โพลาไวซ์ไปที่ผิวน้ำของสารตัวอย่างด้วยมุมตกกระทบ 60° สำหรับการวัด L-MOKE และ 80° สำหรับการวัด P-MOKE ของข้อแม่เหล็กแบบที่ 1 และ 10° สำหรับข้อแม่เหล็กแบบที่ 2 จัดตำแหน่งของโพลาไโรเชอร์วิเคราะห์ให้แสงที่สะท้อนจากผิวสารตัวอย่างที่ลุ่มติดตั้งจากกับผิวของโพลาไโรเชอร์ จัดตำแหน่งของตัววัดแสงให้แสงเลเซอร์ตกกระทบบริเวณกลางหัววัด ปรับมุมของโพลาไโรเชอร์วิเคราะห์ให้กำลังแสงที่วัดได้จากตัววัดแสงมีค่าต่ำที่สุด จ่ายกระแสจากแหล่งจ่ายกำลังให้กับขดลวดโซลเคนอยด์ ตั้งค่ากระแสสูงสุด กระแสต่ำสุด อัตราการเปลี่ยนกระแส และช่วงเวลาการเปลี่ยนกระแสในโปรแกรมแล้ววิว ที่ทุกๆ จุดในการพื้นที่จะเปลี่ยนแปลงค่ากระแสเป็นสนามแม่เหล็กจากฟังก์ชันการแปลง และอ่านค่ากำลังจากตัววัดแสงแปลงค่าเป็นมุกการหมุนของเครื่องเพื่อนำมาสร้างเป็นวงยิสเทอวิชีส

บทที่ 4

ผลการวิจัย

4.1 การเปรียบเทียบผลการคำนวนสนามแม่เหล็กระหว่างจำลองแม่เหล็กไฟฟ้าโดยชุดคำสั่งเรเดียและผลการวัดโดยหัววัดขออลล์

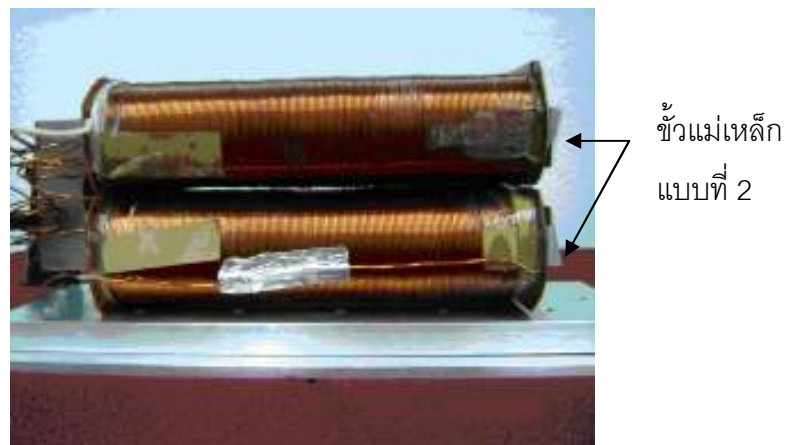
แม่เหล็กไฟฟ้าที่สร้างขึ้นนำรูปแบบและขนาดมาจากแบบจำลองโดยชุดคำสั่งเรเดียที่ให้ค่าสนามแม่เหล็ก ณ ตำแหน่งที่วัดสารได้ประมาณ 1000 G โดยแม่เหล็กไฟฟ้ามีลักษณะดังนี้ ขนาดของแกนแม่เหล็กกว้าง 60 mm ยาว 60 mm และสูง 200 mm ขนาดของขั้วแม่เหล็กแบบที่ 1 กว้าง 20 mm ยาว 60 mm สูง 30 mm ขั้วแม่เหล็กแบบที่ 2 กว้าง 23 mm ยาว 60 mm สูง 5 mm โดยขั้วแม่เหล็กแบบที่ 1 และแบบที่ 2 จะมีพื้นที่หน้าตัดด้านหน้าเป็นรูปทรงหกเหลี่ยมและด้านข้างเป็นรูปทรงสี่เหลี่ยม ในขณะที่ขั้วแม่เหล็กแบบที่ 2 จะมีพื้นที่หน้าตัดด้านหน้าเป็นรูปทรงสามเหลี่ยมมุมฉากและด้านข้างเป็นรูปทรงสี่เหลี่ยม ชนิดของวัสดุที่ใช้ทำแกนแม่เหล็กและขั้วแม่เหล็กเป็นเหล็กกล้าคาร์บอนต่ำ ($C<0.19\%$) โดยแม่เหล็กไฟฟ้าที่ออกแบบจะมีลักษณะเป็นดังภาพประกอบ 30(a) สำหรับขั้วแม่เหล็กแบบที่ 1 ตำแหน่งที่ใช้วัดสารตัวอย่างจะอยู่ตรงกลางระหว่างขั้วแม่เหล็กซึ่งมีพิกัดเป็น (0,0,215) เมื่อกำหนดให้จุดกึ่งกลางของฐานแม่เหล็กเป็นจุดกำเนิด และภาพประกอบ 30(b) สำหรับขั้วแม่เหล็กแบบที่ 2 ตำแหน่งที่ใช้วัดสารตัวอย่างจะอยู่ตรงกลางระหว่างขั้วแม่เหล็กและอยู่เหนือขั้วแม่เหล็ก 1 mm มีพิกัดเป็น (0,0,206)



ภาพประกอบ 30 ภาพจำลองแม่เหล็กไฟฟ้าที่ออกแบบโดยใช้ชุดคำสั่งเรเดียสำหรับใช้ในระบบ MOKE โดย (a) ขั้วแม่เหล็กแบบที่ 1 และ (b) ขั้วแม่เหล็กแบบที่ 2

เส้นลวดทองที่ใช้ทำขดลวดโซลเคนอยด์เป็นลวดทองแดงเคลือบชุนวนโพลียูรีเทนขนาดเกจเส้นลวดมาตรฐาน 19 (standard wire gauge 19, SWG19) หรือ เกจเส้นลวดอเมริกัน 18 (American wire gauge 18, AWG 18) ซึ่งสามารถกระแสสูงสุดได้ประมาณ 7.75 A มีขนาดเส้นผ่านศูนย์กลางเท่ากับ 1.02362 mm เมื่อพันเป็นขดลวดจำนวน 1394 รอบ จะมีขนาดพื้นที่หน้าตัดของขดลวดโซลเคนอยด์เป็น 1822.8356 mm^2 โดยกว้าง 11 mm ยาว 163 mm ขดลวดทั้งสองชุดมีความต้านทานไฟฟ้าเป็น 3.6 Ω และ 4.1 Ω ขนาดของกระแสท์เหล็กในขดลวดเป็น 697 A·turns สำหรับแม่เหล็กแบบที่ 1 และ 2091 A·turns สำหรับแม่เหล็กแบบที่ 2 และจำนวนสมาชิก (element) ที่จะแบ่งแกนของแม่เหล็กและขดลวดโซลเคนอยด์ออกเป็นส่วนๆ เท่ากับ 13152 ส่วน สำหรับแม่เหล็กแบบที่ 1 และ 8256 ส่วน สำหรับแม่เหล็กแบบที่ 2 โดยรหัสตั้งฉบับ (source code) ของชุดคำสั่งเรเดียลสำหรับแม่เหล็กไฟฟ้าที่มีข้อความแม่เหล็กแบบที่ 1 และแบบที่ 2 แสดงอยู่ในภาคผนวก ก

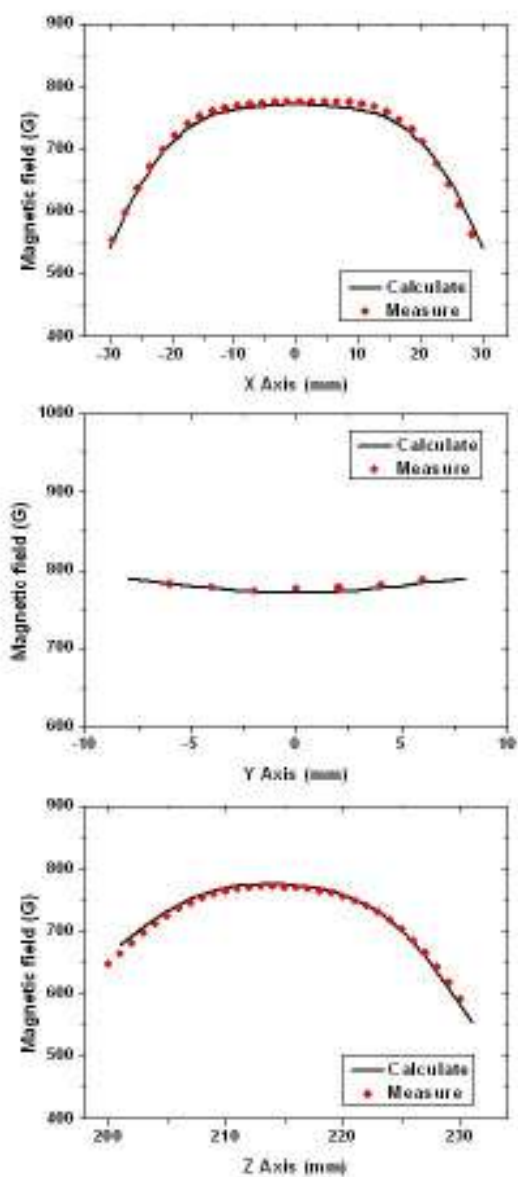
แม่เหล็กไฟฟ้าที่สร้างขึ้นจากแบบจำลองแสดงดังภาพประกอบ 31 ทั้งนี้สามารถสร้างสนามแม่เหล็กได้สูงสุด 2123.573 G สำหรับข้อความแม่เหล็กแบบที่ 1 และ 983.935 G สำหรับข้อความแม่เหล็กแบบที่ 2 ณ ตำแหน่งพิกัด (0,0,215) โดยใช้กระแสประมาณ 5.5 A ซึ่งเป็นกระแสสูงสุดที่โหลดสามารถดึงกระแสจากแหล่งจ่ายกำลังได้



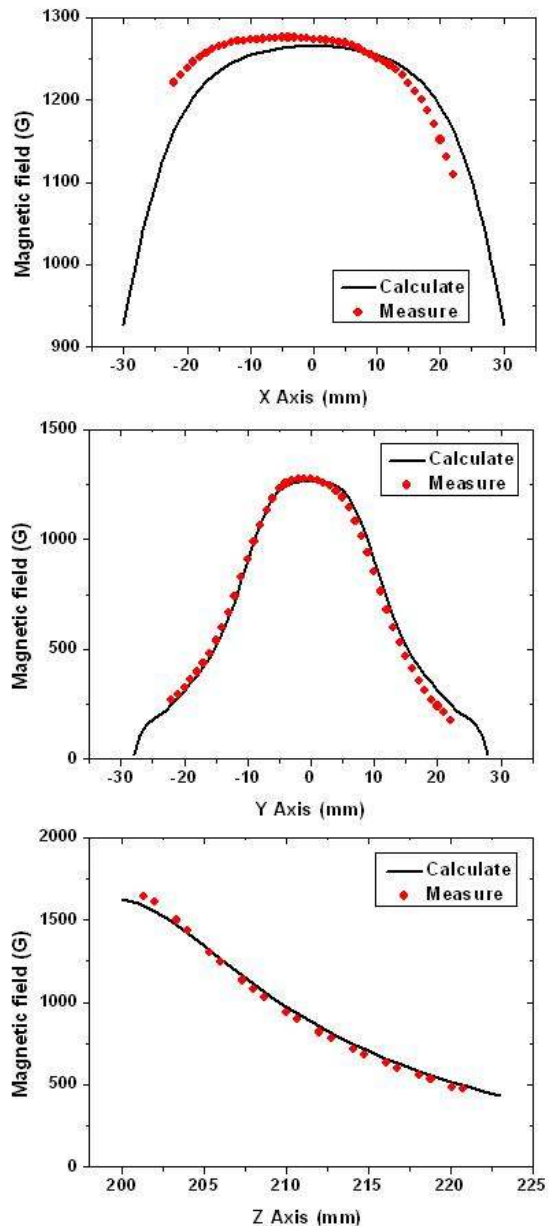
ภาพประกอบ 31 แม่เหล็กไฟฟ้าที่สร้างขึ้นซึ่งมีข้อความแม่เหล็กเป็นแบบที่ 2

จากนั้นจะใช้ชุดคำสั่งเรเดียลคำนวณหาองค์ประกอบของสนามแม่เหล็กตามแนวแกน y ณ ตำแหน่งที่ใช้วัดสารตัวอย่างได้เท่ากับ 770.716 G สำหรับข้อความแม่เหล็กแบบที่ 1 เมื่อใช้กระแส 0.5 A และ 1273.04 G สำหรับข้อความแม่เหล็กแบบที่ 2 เมื่อใช้กระแส 1.5 A และคำนวณหาองค์ประกอบของ

สนามแม่เหล็กตามแนวแกน y เทียบกับระยะทางตามแนวแกน x , y และ z เปรียบเทียบกับค่าสนามแม่เหล็กที่วัดได้จากหัววัดขออล์ที่ติดแห่งเดียวกันสำหรับขั้วแม่เหล็กแบบที่ 1 ได้ดังภาพประกอบ 32 และสำหรับขั้วแม่เหล็กแบบที่ 2 ได้ดังภาพประกอบ 33 ซึ่งพบว่าแนวโน้มของค่าสนามแม่เหล็กที่คำนวณจากชุดคำสั่งเรเดียและการวัดด้วยหัววัดขออล์จะสอดคล้องกัน แต่จะมีความแตกต่างของค่าสนามแม่เหล็กทั้งสามแนวแกนสำหรับขั้วแม่เหล็กแบบที่ 1 ประมาณ 0.89 เปอร์เซ็นต์ และมีความแตกต่างของค่าสนามแม่เหล็กทั้งสามแนวแกนสำหรับขั้วแม่เหล็กแบบที่ 2 ประมาณ 2.7 เปอร์เซ็นต์



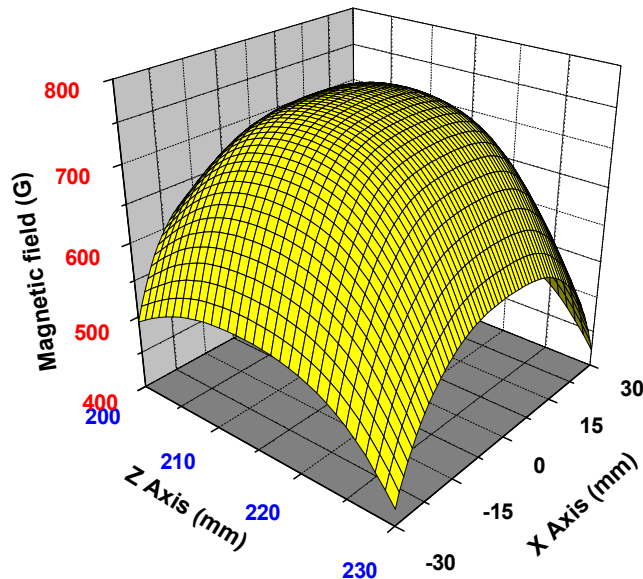
ภาพประกอบ 32 การเปรียบเทียบค่าสนามแม่เหล็กที่คำนวณโดยชุดคำสั่งเรเดียและการวัดด้วยหัววัดขออล์ของแม่เหล็กไฟฟ้าที่มีขั้วแม่เหล็กแบบที่ 1



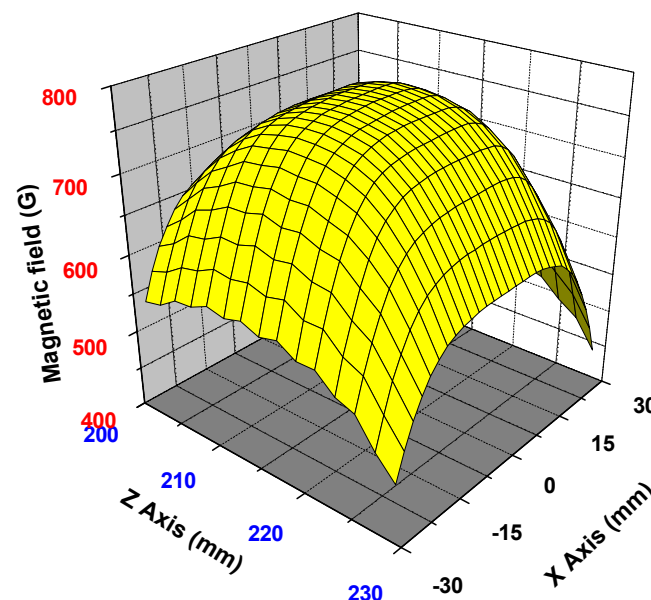
ภาพประกอบ 33 การเปรียบเทียบค่าสนามแม่เหล็กที่คำนวนโดยชุดคำสั่งเรเดียและการวัดด้วยหัวดูดขอลล์ของแม่เหล็กไฟฟ้าที่มีขั้วแม่เหล็กแบบที่ 2

จากนั้นจะใช้โปรแกรมสร้างพื้นผิวสามมิติขององค์ประกอบของสนามแม่เหล็กตามแนวแกน y เทียบกับระยะทางตามแนวแกน x และ z สำหรับขั้วแม่เหล็กแบบที่ 1 ที่ตำแหน่ง $y = 0$ เมื่อใช้กระแสคงที่ 1 A ได้ดังภาพประกอบ 34 โดยผิวของสนามแม่เหล็กที่วัดโดยหัวดูดขอลล์เป็นดังภาพประกอบ 35 สำหรับขั้วแม่เหล็กแบบที่ 2 จะสร้างพื้นผิวสามมิติขององค์ประกอบของสนามแม่เหล็กตามแนวแกน y

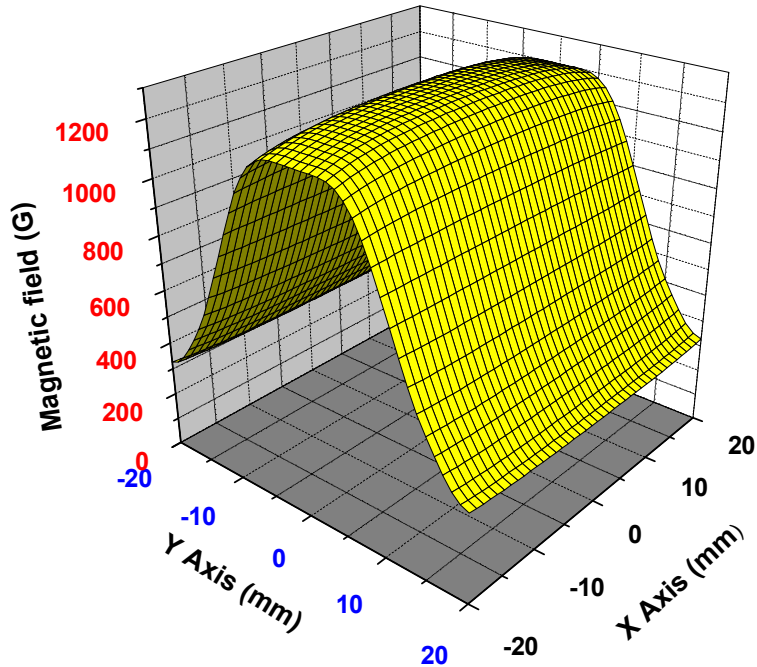
เทียบกับระยะทางตามแนวแกน x และ y ที่ต่ำกว่า $z = 206 \text{ mm}$ ได้ดังภาพประกอบ 36 และผลการวัดดังภาพประกอบ 37 ซึ่งจะใช้พื้นผิวนี้แทนแนวเส้นแรงสนามแม่เหล็ก



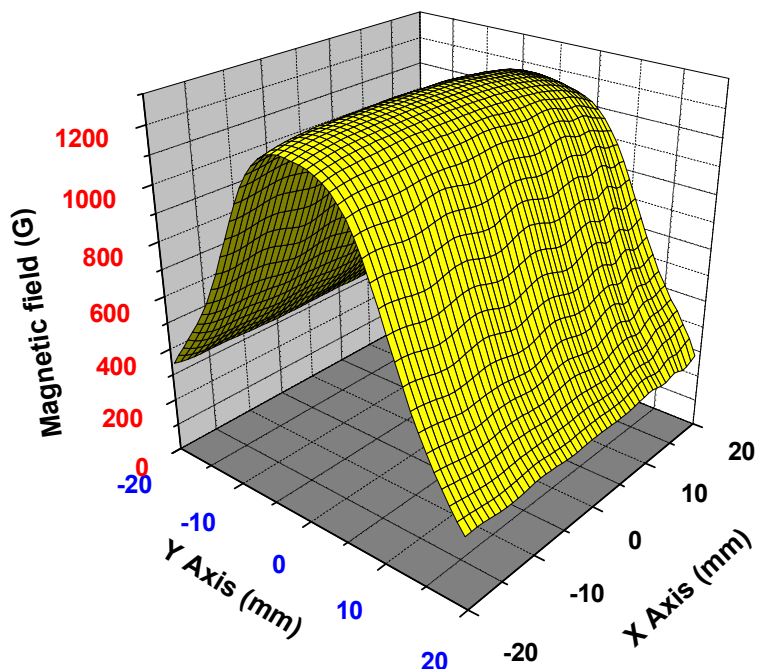
ภาพประกอบ 34 พื้นผิวสามมิติขององค์ประกอบของสนามแม่เหล็กตามแนวแกน y โดยการคำนวณจากชุดคำสั่งเรเดียลเทียบกับระยะบนระนาบ xz ที่ต่ำกว่า $y = 0$ สำหรับขั้วแม่เหล็กแบบที่ 1



ภาพประกอบ 35 พื้นผิวสามมิติขององค์ประกอบของสนามแม่เหล็กตามแนวแกน y โดยการวัดด้วยหัววัดขอล์ตเทียบกับระยะบนระนาบ xz ที่ต่ำกว่า $y = 0$ สำหรับขั้วแม่เหล็กแบบที่ 1



ภาพประกอบ 36 พื้นผิวสามมิติขององค์ประกอบของสนามแม่เหล็กตามแนวแกน y โดยการคำนวณจากชุดคำสั่งเรอเดียเทียบกับระบบระนาบ xy ที่ตำแหน่ง $z = 206$ สำหรับขั้วแม่เหล็กแบบที่ 2

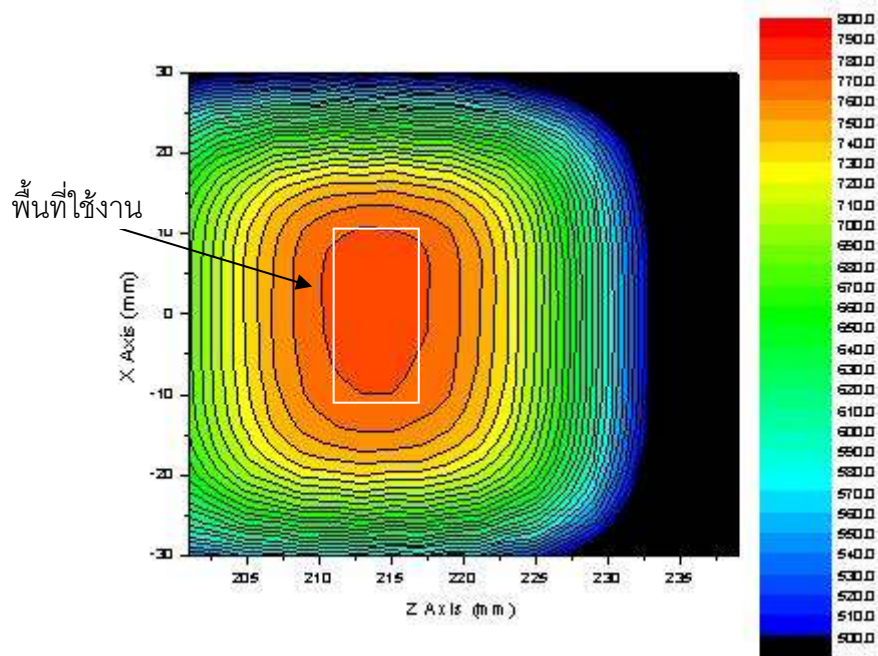


ภาพประกอบ 37 พื้นผิวสามมิติขององค์ประกอบของสนามแม่เหล็กตามแนวแกน y โดยการวัดด้วยหัววัด yokl's เทียบกับระบบระนาบ xy ที่ตำแหน่ง $z = 206$ สำหรับขั้วแม่เหล็กแบบที่ 2

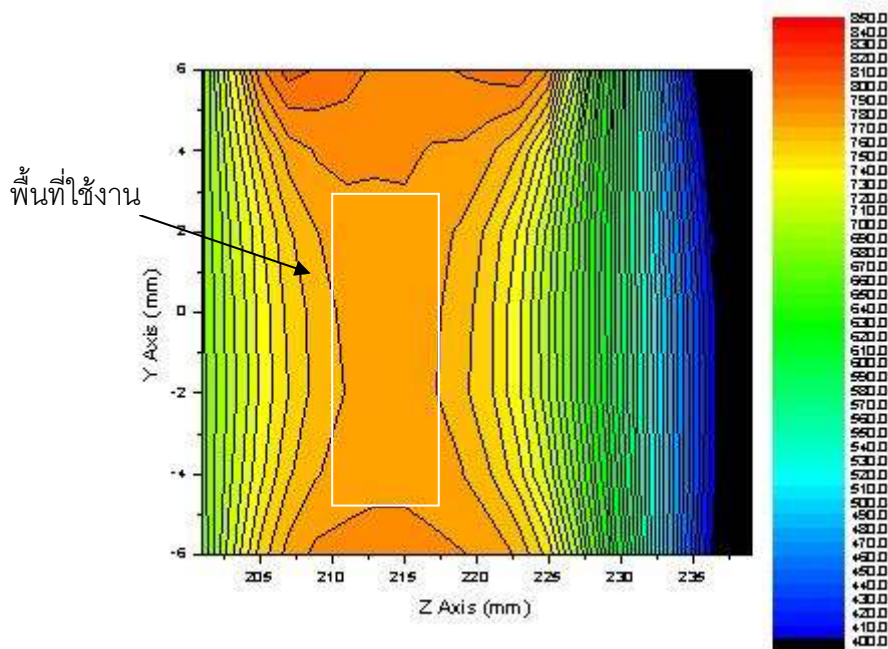
การพิจารณาพื้นที่ใช้งานในการวัดสารตัวอย่างซึ่งจะต้องเป็นบริเวณที่มีสนามแม่เหล็กคงที่จากแผนภาพสองมิติขององค์ประกอบบนสนามแม่เหล็กตามแนวแกน y บนระนาบ xz ที่ตำแหน่ง $y = 0$ สำหรับการวัด P-MOKE และองค์ประกอบบนสนามแม่เหล็กตามแนวแกน y บนระนาบ yz ที่ตำแหน่ง $x = 0$ สำหรับการวัด L-MOKE สำหรับข้าวแม่เหล็กแบบที่ 1 ดังภาพประกอบ 38 และภาพประกอบ 39 และแผนภาพสองมิติขององค์ประกอบบนสนามแม่เหล็กตามแนวแกน y บนระนาบ xz ที่ตำแหน่ง $y = 0$ สำหรับการวัด P-MOKE และองค์ประกอบบนสนามแม่เหล็กตามแนวแกน y บนระนาบ xy ที่ตำแหน่ง $z = 206$ mm สำหรับการวัด L-MOKE สำหรับข้าวแม่เหล็กแบบที่ 2 ดังภาพประกอบ 40 และภาพประกอบ 41

พิจารณาการมีทิศเดียวของสนามแม่เหล็กจากลักษณะของผิวสามมิติและแผนภาพสองมิติที่สร้างขึ้นจากองค์ประกอบของสนามแม่เหล็กในแนวแกน y เทียบกับตำแหน่งบนระนาบ xz สำหรับการวัด P-MOKE พบร่วมกันที่ตำแหน่งที่สนามแม่เหล็กสูงสุดจะมีเพียงองค์ประกอบของสนามแม่เหล็กในทิศทางเดียวคือตามแนวแกน y สำหรับข้าวแม่เหล็กแบบที่ 1 จะมีความเรียบตามแนวแกน x มีระยะสำหรับใช้วัดสารตัวอย่างประมาณ 20 mm ในขณะที่ตามแนวแกน z มีระยะสำหรับใช้วัดสารตัวอย่างประมาณ 5 mm โดยมีพื้นที่สำหรับการวัดสารตัวอย่างประมาณ 100 mm^2 ซึ่งในบริเวณนี้จะมีความแตกต่างของสนามแม่เหล็กประมาณ 1.25 เปอร์เซ็นต์ สำหรับข้าวแม่เหล็กแบบที่ 2 จะมีความเรียบตามแนวแกน x มีระยะสำหรับใช้วัดสารตัวอย่างประมาณ 15 mm ตามแนวแกน z มีระยะสำหรับใช้วัดสารตัวอย่างประมาณ 2 mm โดยมีพื้นที่สำหรับการวัดสารตัวอย่างประมาณ 30 mm^2 ซึ่งในบริเวณนี้จะมีความแตกต่างของสนามแม่เหล็กประมาณ 1.96 เปอร์เซ็นต์

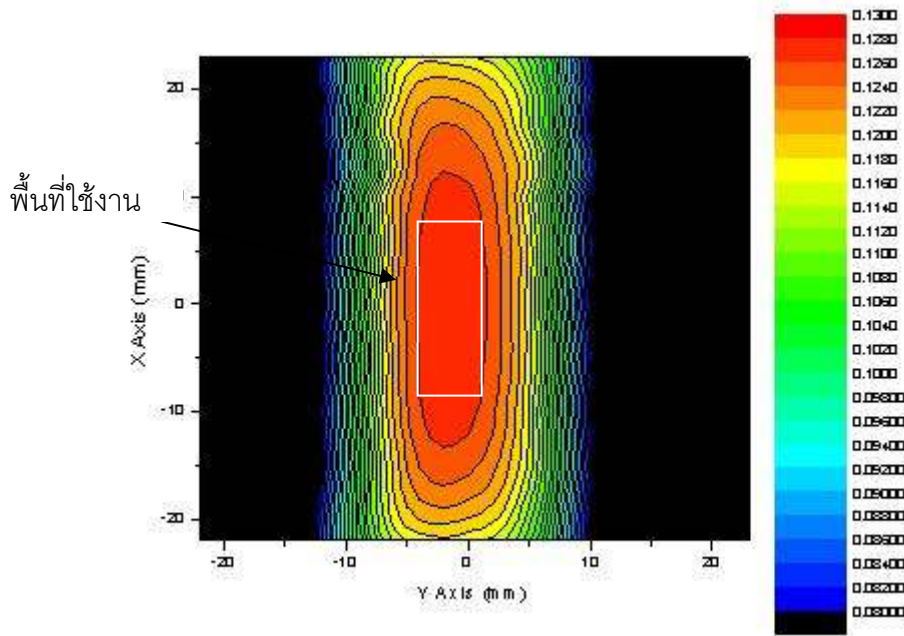
ในการวัด L-MOKE จะพิจารณาบนระนาบ yz สำหรับข้าวแม่เหล็กแบบที่ 1 โดยจะมีระยะสำหรับใช้วัดสารตัวอย่างตามแนวแกน y ประมาณ 7 mm และระยะตามแนวแกน z ประมาณ 5 mm มีพื้นที่ใช้งานได้ประมาณ 35 mm^2 ซึ่งในบริเวณนี้จะมีความแตกต่างของสนามแม่เหล็กประมาณ 1.29 เปอร์เซ็นต์ สำหรับข้าวแม่เหล็กแบบที่ 2 จะพิจารณาบนระนาบ xy โดยจะมีระยะสำหรับใช้วัดสารตัวอย่างตามแนวแกน x ประมาณ 15 mm และระยะตามแนวแกน y ประมาณ 5 mm มีพื้นที่ใช้งานได้ประมาณ 75 mm^2 ซึ่งในบริเวณนี้จะมีความแตกต่างของสนามแม่เหล็กประมาณ 1.54 เปอร์เซ็นต์



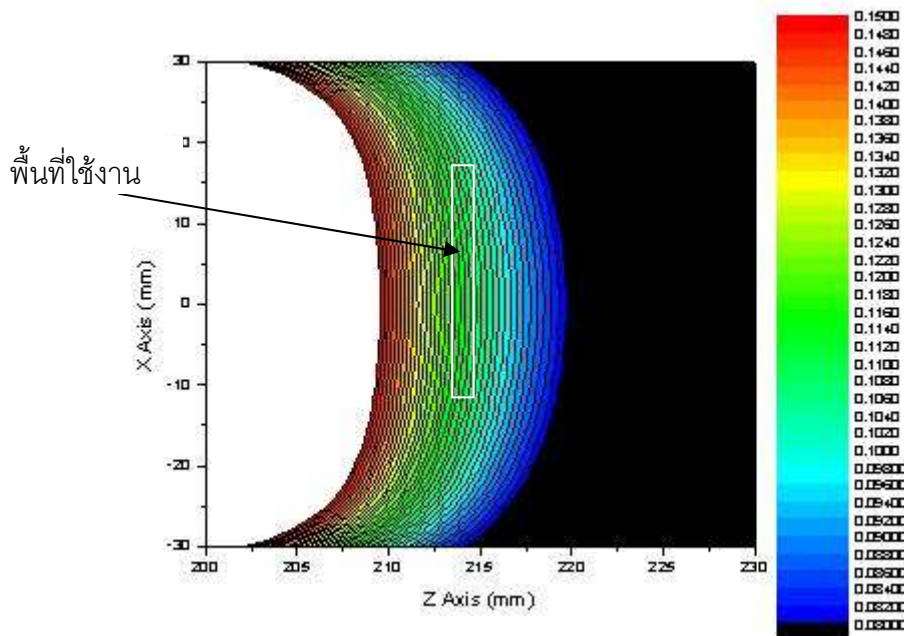
ภาพประกอบ 38 แผนภาพสองมิติของสนามแม่เหล็กสร้างขึ้นจากการวัดองค์ประกอบของสนามแม่เหล็กในทิศตามแนวแกน y เทียบกับตัวหนาแน่นบนระนาบ xz ที่ตัวหนาแน่น $y = 0$ ของขั้วแม่เหล็กแบบที่ 1



ภาพประกอบ 39 แผนภาพสองมิติของสนามแม่เหล็กสร้างขึ้นจากการวัดองค์ประกอบของสนามแม่เหล็กในทิศตามแนวแกน y เทียบกับตัวหนาแน่นบนระนาบ yz ที่ตัวหนาแน่น $x = 0$ ของขั้วแม่เหล็กแบบที่ 1



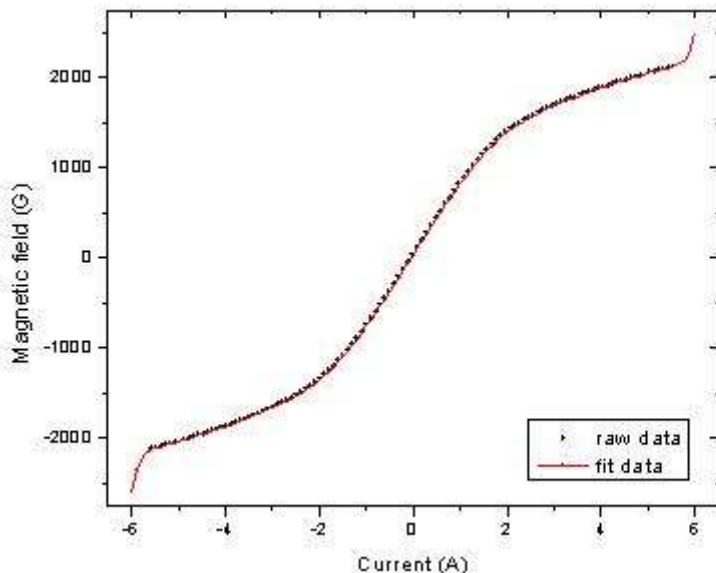
ภาพประกอบ 40 แผนภาพสองมิติของสนามแม่เหล็กสร้างขึ้นจากการวัดองค์ประกอบของสนามแม่เหล็กในทิศตามแนวแกน y เทียบกับตำแหน่งบนระนาบ xy ที่ตำแหน่ง $z = 206 \text{ mm}$ ของขั้วแม่เหล็กแบบที่ 2



ภาพประกอบ 41 แผนภาพสองมิติของสนามแม่เหล็กสร้างขึ้นจากการคำนวณองค์ประกอบของสนามแม่เหล็กในทิศตามแนวแกน y เทียบกับตำแหน่งบนระนาบ xz ที่ตำแหน่ง $y = 0$ ของขั้วแม่เหล็กแบบที่ 2

4.2 การหาความสัมพันธ์ระหว่างค่าสนามแม่เหล็กกับค่ากระแส

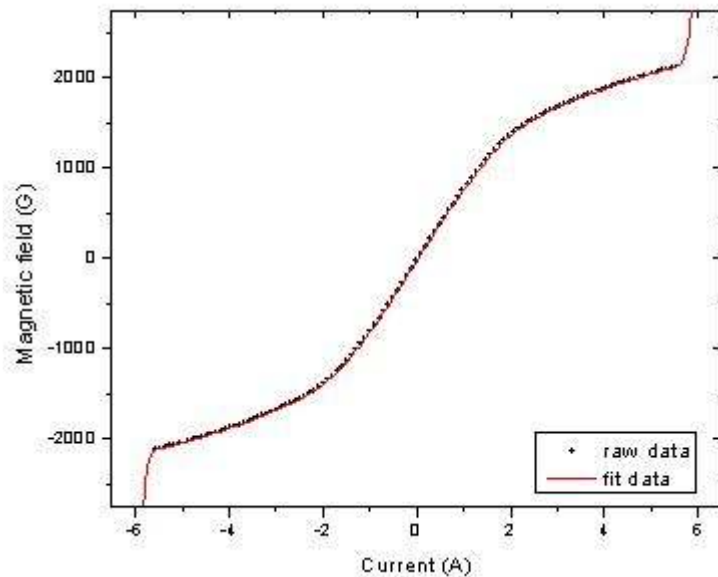
การวัดค่าสนามแม่เหล็กจะใช้หัววัดไฮอล์ด วัดที่ติดแห่งต่างกลางระหว่างขั้วแม่เหล็กที่พิกัด $(0,0,215)$ โดยเปลี่ยนแปลงค่ากระแสจาก 0 ถึง 5.5 A จากนั้นลดกระแสจาก 5.5 A จนถึง -5.5 A แล้วเพิ่มกระแสจาก -5.5 A ไปจนถึง 5.5 A โดยใช้อัตราการเพิ่ม-ลดกระแสครั้งละ 0.1 A ซึ่งจะได้ข้อมูลความสัมพันธ์ระหว่างกระแสและสนามแม่เหล็ก จากนั้นใช้การประมาณแบบโพลิโนเมียล กับข้อมูลที่ได้เพื่อสร้างฟังก์ชันของความสัมพันธ์ระหว่างกระแสกับสนามแม่เหล็ก โดยจะได้ผลการวัดและการใช้การประมาณแบบโพลิโนเมียลสำหรับขั้วแม่เหล็กแบบที่ 1 เมื่อลดกระแสลงจากปีกอบ 42 และเมื่อเพิ่มกระแสลงจากปีกอบ 43 สำหรับขั้วแม่เหล็กแบบที่ 2 เมื่อลดกระแสลงจากปีกอบ 44 และเมื่อเพิ่มกระแสลงจากปีกอบ 45 โดยพบว่าสนามแม่เหล็กที่วัดได้จะเกิดเป็นวงโคจริชีสซึ่งมีค่าสนามแม่เหล็กตกค้างประมาณ 31.869 G สำหรับขั้วแม่เหล็กแบบที่ 1 และ 10.167 G สำหรับขั้วแม่เหล็กแบบที่ 2



ภาพประกอบ 42 ผลการวัดสนามแม่เหล็กที่แบรคตามกระแส เมื่อลดกระแสจาก 5 A ไปถึง -5 A และการประมาณข้อมูลแบบโพลิโนเมียลของขั้วแม่เหล็กแบบที่ 1

โดยจะได้ฟังก์ชันเพื่อแปลงค่ากระแสเป็นสนามแม่เหล็กสำหรับขั้วแม่เหล็กแบบที่ 1 เมื่อลดกระแส คือ

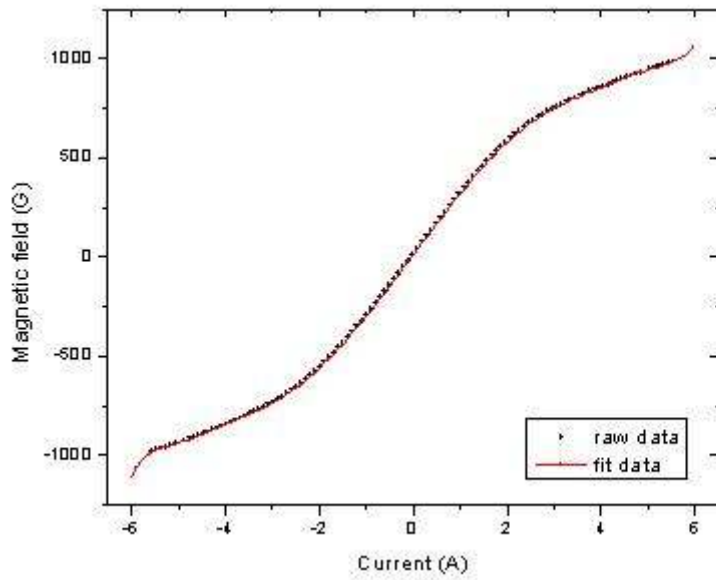
$$\begin{aligned}
 B(I) = & 34.0606 + 819.123I + 2.92895I^2 - 26.7439I^3 - 3.00009I^4 - 3.84336I^5 + \\
 & 0.587236I^6 + 0.766676I^7 - 0.0566409I^8 - 0.0574324I^9 + 0.00309659I^{10} + \\
 & 0.00221991I^{11} - 0.00009777I^{12} - 0.0000438088I^{13} + 1.6648 \times 10^{-6}I^{14} + \\
 & 3.49338 \times 10^{-7}I^{15} - 1.18519 \times 10^{-8}I^{16}
 \end{aligned} \tag{4.1}$$



ภาพประกอบ 43 ผลการวัดสนามแม่เหล็กที่แบร็คต้าตามกระแส เมื่อเพิ่มกระแสจาก -5 A ไปถึง 5 A และการประมาณข้อมูลแบบโพลินีเมียลของขั้วแม่เหล็กแบบที่ 1

ฟังก์ชันเพื่อแปลงค่ากระแสเป็นสนามแม่เหล็กสำหรับขั้วแม่เหล็กแบบที่ 1 เมื่อเพิ่มกระแส คือ

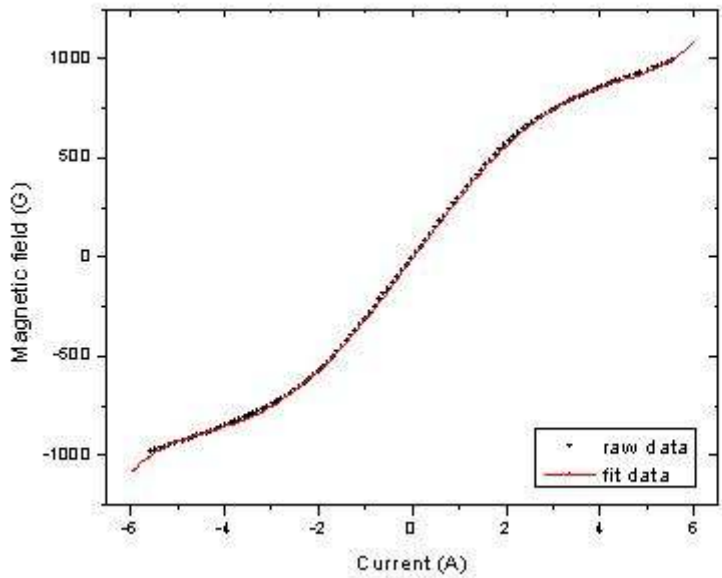
$$\begin{aligned}
 B(I) = & -30.2537 + 823.344I - 3.61434I^2 - 37.3093I^3 + 4.40339I^4 + 4.62097I^5 - \\
 & 1.08176I^6 - 2.14113I^7 + 0.135129I^8 + 0.472978I^9 - 0.00990026I^{10} - \\
 & 0.0549126I^{11} + 0.000439888I^{12} + 0.00377497I^{13} - 0.0000115116I^{14} - \\
 & 0.000159842I^{15} + 1.56524 \times 10^{-7}I^{16} + 4.10368 \times 10^{-6}I^{17} - 6.4275 \times 10^{-10}I^{18} - \\
 & 5.86773 \times 10^{-8}I^{19} - 4.16112 \times 10^{-12}I^{20} + 3.58896 \times 10^{-10}I^{21}
 \end{aligned} \tag{4.2}$$



ภาพประกอบ 44 ผลการวัดสนามแม่เหล็กที่เปลี่ยนตามกระแส เมื่อลดกระแสจาก 5 A ไปถึง -5 A และการประมาณข้อมูลแบบโพลินีเมียลของข้อมูลแม่เหล็กแบบที่ 2

ฟังก์ชันเพื่อแปลงค่ากระแสเป็นสนามแม่เหล็กสำหรับข้อมูลแม่เหล็กแบบที่ 2 เมื่อลดกระแส คือ

$$\begin{aligned}
 B(I) = & 11.6247 + 314.754I + 1.36485I^2 - 6.30868I^3 - 0.570046I^4 - 0.437035I^5 + \\
 & 0.0631426I^6 + 0.0476801I^7 - 0.00329137I^8 - 0.00157647I^9 + \\
 & 0.0000830953I^{10} + 0.0000179293I^{11} - 8.17355 \times 10^{-7} I^{12}
 \end{aligned} \tag{4.5}$$



ภาพประกอบ 45 ผลการวัดสนามแม่เหล็กที่แปรค่าตามกระแส เมื่อเพิ่มกระแสจาก -5 A ไปถึง 5 A และการประมาณข้อมูลแบบโพลีโนเมียลของข้าวแม่เหล็กแบบที่ 2

ฟังก์ชันเพื่อแปลงค่ากระแสเป็นสนามแม่เหล็กสำหรับข้าวแม่เหล็กแบบที่ 2 เมื่อเพิ่มกระแส คือ

$$B(I) = -8.70302 + 314.9247I + 0.494962I^2 - 8.412695659I^3 - 0.00006134942I^4 + 0.13065582I^5 - 0.000181053I^6 \quad (4.6)$$

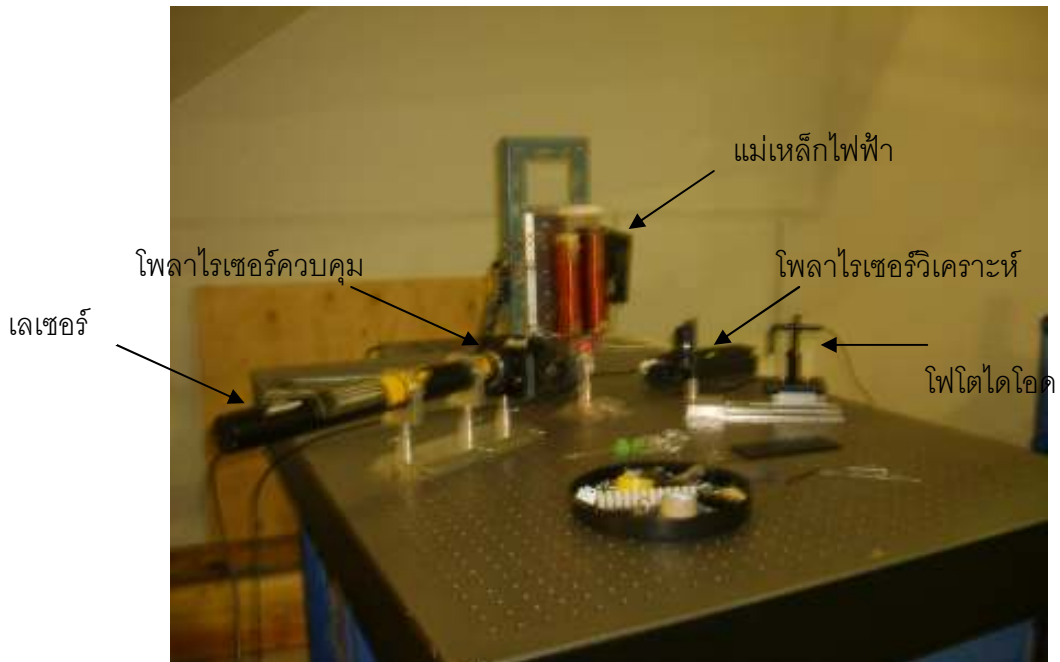
เมื่อ $B(I)$ คือ ค่าสนามแม่เหล็กที่เป็นฟังก์ชันของค่ากระแสที่จ่ายให้กับขนาดวงจรโดยวัด ณ ตำแหน่งตรงกลางระหว่างข้าวแม่เหล็ก มีหน่วยเป็น G

I คือ กระแสที่จ่ายให้กับขนาดวงจรโดยวัด มีหน่วยเป็น A

ซึ่งฟังก์ชันที่ใช้ประมาณค่าผลการทดลองนี้ มีค่าเบอร์เซนต์ของความผิดพลาดเฉลี่ยเท่ากับ 0.1259, 0.8435, 0.1052, 0.0757, 0.1138 และ 0.127 โดยมีค่าเบี่ยงเบนมาตรฐานเท่ากับ 0.1129, 0.6304, 0.1371, 0.0897, 0.1348 และ 0.1414 ตามลำดับ

4.3 การสร้างวงอิสเทอเรซิสและการวัดมุกการหมุนของเครื่อง

การติดตั้งระบบการวัด L-MOKE เป็นดังภาพประกอบ 46 และระบบการวัด P-MOKE ดังภาพประกอบ 47 ซึ่งการติดตั้งระบบจะเริ่มจากการติดตั้งเลเซอร์ชีลีย์ม-นีออนเข้ากับแท่นรองรับปรับให้อยู่ในแนวระดับและต่อแหล่งจ่ายกำลังความต่างศักย์สูงให้กับเลเซอร์ ติดตั้งพลาไวเซอร์ควบคุมเข้ากับตัวหมุนแบบละเอียดและติดบนแท่นรองรับ ปรับระดับความสูงให้แสงเลเซอร์ผ่านบิวเคนทางกลางบิดมุนให้สำลีเลเซอร์ติดตั้งจากกับผิวน้ำของพลาไวเซอร์ โดยพลาไวเซอร์ควบคุมจะเลือกใช้พลาไวเซอร์ชนิดกลาน-เลเซอร์เนื่องจากเป็นพลาไวเซอร์ที่มีเส้นแสดงแนวระนาบท่องการพลาไวซ์อยู่ด้วย จึงทำให้สะดวกต่อการตรวจสอบแนวระนาบท่องการพลาไวซ์ของแสงตอกกระทบ ในขณะที่พลาไวเซอร์วิเคราะห์จะใช้พลาไวเซอร์ชนิดกลาน-เทเลอร์ ติดตั้งแม่เหล็กเข้ากับชุดเลื่อนตำแหน่ง 3 แนวแกนเพื่อสามารถปรับตำแหน่งของแม่เหล็กได้ ต่อสายไฟเข้าแหล่งจ่ายกำลังและต่อสายจีพีไอปีจ่ากแหล่งจ่ายกำลังเข้าเครื่องคอมพิวเตอร์ ติดตั้งตัวจับสารตัวอย่างปรับระดับให้แสงเลเซอร์ตอกกระทบกลางผิวน้ำของสารบิดหมุนปรับมุกกระทบประมาณ 60° สำหรับระบบการวัด L-MOKE และ 80° สำหรับระบบการวัด P-MOKE ของขั้วแม่เหล็กแบบที่ 1 และ 10° สำหรับระบบการวัด P-MOKE ของขั้วแม่เหล็กแบบที่ 2 ติดตั้งพลาไวเซอร์วิเคราะห์เข้ากับตัวหมุนแบบละเอียดและวางในตำแหน่งที่แสงสะท้อนจากผิวน้ำสารผ่านเข้าทางกลางของพลาไวเซอร์ ติดตั้งตัววัดแสงโดยให้แสงตอกกระทบตั้งจากบิวเคนกลางหัววัด



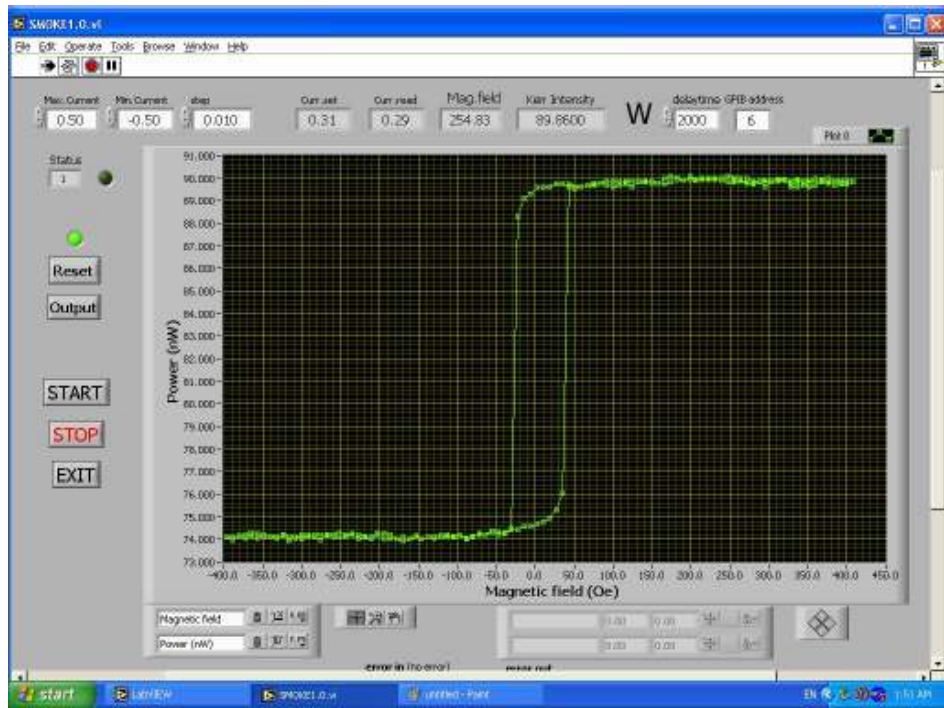
ภาพประกอบ 46 องค์ประกอบและการจัดวางอุปกรณ์ของระบบการวัด L-MOKE

จากนั้นจะทำการต่อสาย RS 232 จากชุดควบคุมไฟโตไดโอดเข้าเครื่องคอมพิวเตอร์ หลังจากติดตั้งระบบการวัด MOKE เรียบร้อยแล้วจะทำการต่อประสานระบบเพื่อควบคุมและประมวลผลด้วยเครื่องคอมพิวเตอร์โดยใช้โปรแกรมแลบวีซีที่มีหน้าต่างการทำงานดังภาพประกอบ 48



ภาพประกอบ 47 องค์ประกอบและการจัดวางอุปกรณ์ของระบบการวัด P-MOKE ของขั้วแม่เหล็กแบบที่ 2

การพิจารณาความสามารถในการแยกแยะของระบบ (system resolution) ในระบบ MOKE เป็นระบบที่ใช้วัดมุน ดังนั้นจึงจะพิจารณาความสามารถในการวัดมุนละเอียดของเครื่องมือ ซึ่งอุปกรณ์ในการแยกแยะมุนคือตัวมุนแบบละเอียดที่สามารถวัดมุนได้ละเอียดที่สุด 1.5 arcsec หรือ 0.000417° หรือ $7.278 \mu\text{rad}$ และพิจารณาความสามารถในการแยกแยะมุนของตัวไฟเซอร์ได้จากอัตราการหักล้างของแสงคือ $\tan \theta = E_s/E_p \approx 10^{-5}$ ดังนั้นมุนการหมุนที่ไฟเซอร์สามารถแยกแยะได้จะเป็น $10 \mu\text{rad}$ หรือ 0.000573° หรือ 2.06 arcsec



ภาพประกอบ 48 หน้าต่างการทำงานของโปรแกรมแลบวิภา

จากระบบการวัด P-MOKE และ L-MOKE เมื่อนำไปวัดทดสอบเพื่อสร้างวัสดุเชิงชีวภาพ วัดมุกการหมุนของเครื่องได้ผลดังนี้

4.3.1 การสร้างวัสดุเชิงชีวภาพ

วงชีสเทอโรชิกของผลึกเดี่ยวของนิกเกิลระนาบ (111) เหล็ก โคบัลต์บริสุทธิ์ และฟิล์มของเหล็กซึ่งวัดทดสอบโดยเครื่องมือที่สร้างขึ้นได้ผลดังนี้

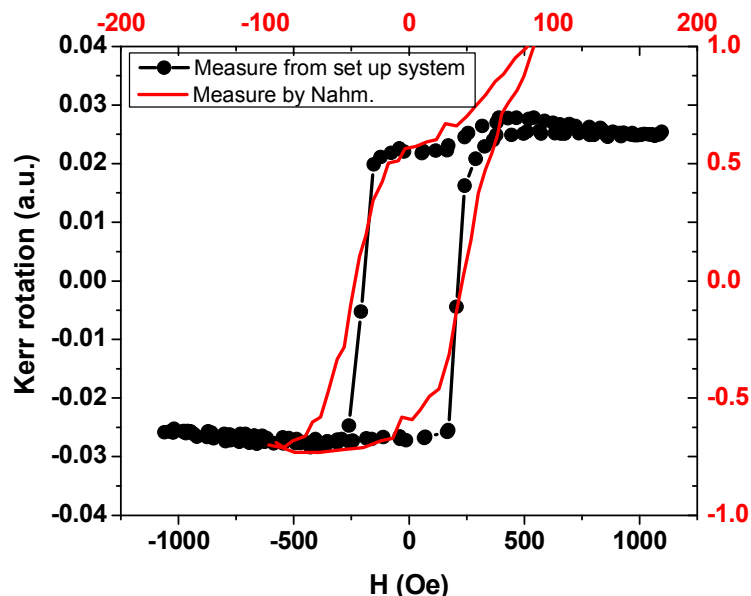
วงชีสเทอโรชิกของผลึกเดี่ยวของ Ni(111)

วงชีสเทอโรชิกของการวัด L-MOKE ของ Ni(111) ที่กระแสสูงสุด 1.5 A อัตราการเปลี่ยนกระแส 0.05 A ไม่มีการเลื่อนเวลา มุมของโพลาไรเซอร์วีเคราะห์ 90° เปรียบเทียบกับผลการวัดฟิล์มของนิกเกิลหนา 7.4 โนโนเลเยอร์ปลัตินัม (7.4ML Ni/Pt(111)) (Nahm. 2005: S199) ซึ่งวัดที่อุณหภูมิห้องจะเป็นดังภาพประกอบ 49

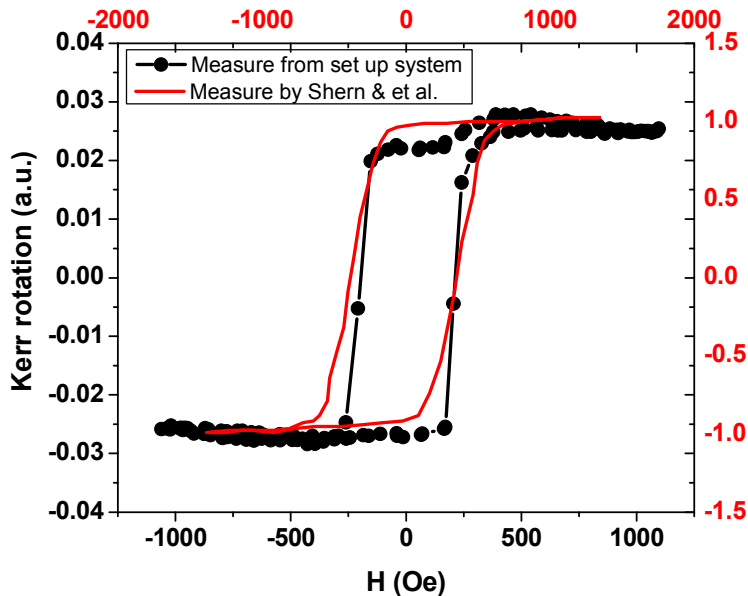
จากการเปรียบเทียบวงชีสเทอโรชิกพบว่าลักษณะของวงมีความคล้ายคลึงกัน แต่ค่าสนามดู卜ล์สัมเมติกมีความแตกต่างกันมาก โดยจากการวัดทดสอบเครื่องมือซึ่งวัดทดสอบนิกเกิลแบบ

ปริมาณตัวจั่วได้ H_c ประมาณ 200 G ในขณะที่ฟิล์มนิกเกิลที่ปั๊กบันแพลทินัมระนาบ (111) หนา 7.4 ไมครอน เสียร์ มี H_c ประมาณ 43 G

จากนั้นจะทำการเปรียบเทียบผลการวัดทดสอบเครื่องมือกับผลการวัดความเร็วของเคอร์ร์ของฟิล์มนิกเกิลปั๊กบันแพลทินัมระนาบ (111) (Shern; et al. 1998: 110) ดังภาพประกอบ 50 พบว่ามีค่าสนามบลลังแม่เหล็กใกล้เคียงกันประมาณ 360 G โดยมีเบอร์เซ็นต์ความคลาดเคลื่อนเท่ากับ 44.4 เปอร์เซ็นต์

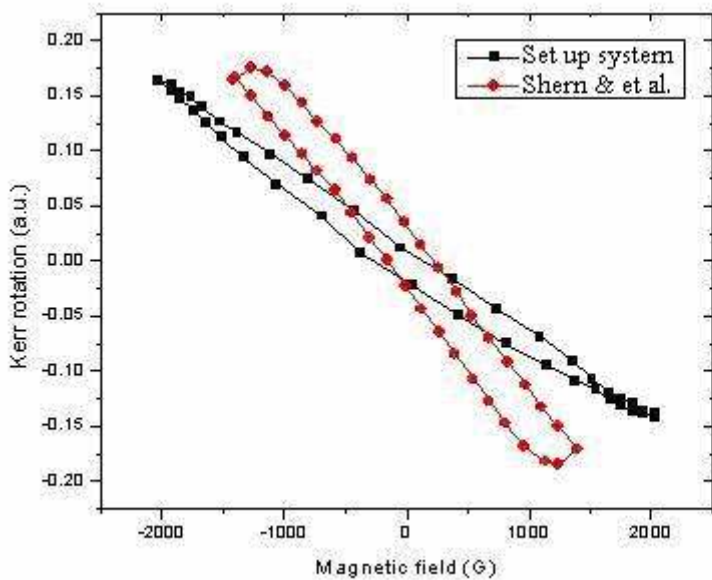


ภาพประกอบ 49 วัดเชิงวัสดุวิชิสจากการวัด L-MOKE ของผลึกเดียว Ni (111) เปรียบเทียบกับฟิล์ม 7.4ML Ni/Pt(111) ซึ่งวัดที่อุณหภูมิห้อง



ภาพประกอบ 50 วงศ์สเทอริสจาก การวัด L-MOKE ของผลึกเดี่ยว Ni (111) เปรียบเทียบกับค่าความรีของเคอร์ชองฟิล์ม Ni/Pt(111)

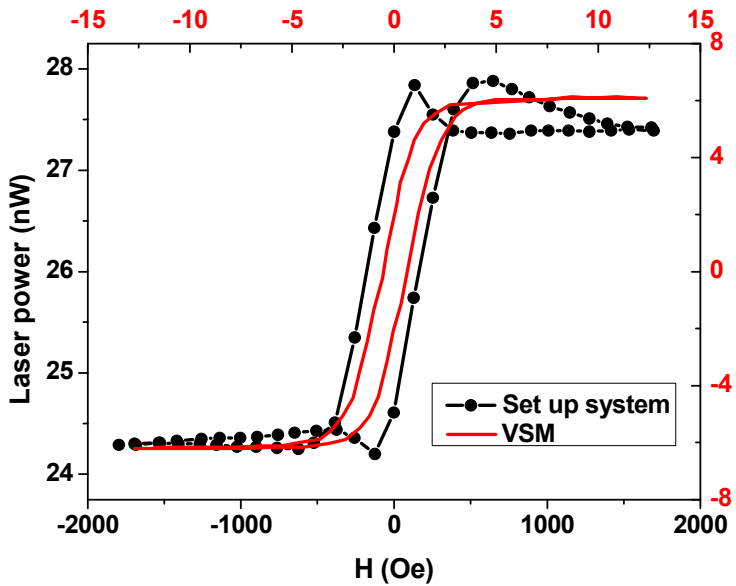
วงศ์สเทอริสของ P-MOKE ของ Ni(111) ที่กระแสน้ำสูงสุด 5 Å อัตราการเปลี่ยนกระแสน้ำ 0.5 Å ไม่มีการเลื่อนเวลา มุมของตัววิเคราะห์ 90° เปรียบเทียบกับผลการวัดความรีของเคอร์ชองฟิล์มนิกเกิล ปลูกบนแพลทินัมระนาบ (111) (Shern; et al. 1998: 110) เป็นดังภาพประกอบ 51 พบร้าจะไม่แสดง สถานะการอิ่มของความเป็นแม่เหล็กที่สนามแม่เหล็กประมาณ 1500 G เหมือนกัน และมีค่าสนามลบ ล้างแม่เหล็กเป็น 380 G สำหรับ Ni bulk และ 260 G สำหรับ Ni/Pt(111) films



ภาพประกอบ 51 วงศ์สเทอริชของ P-MOKE ของผลีกเดี่ยว Ni (111) เปรียบเทียบกับความรีของ เคอร์ของฟล์ม Ni/Pt(111)

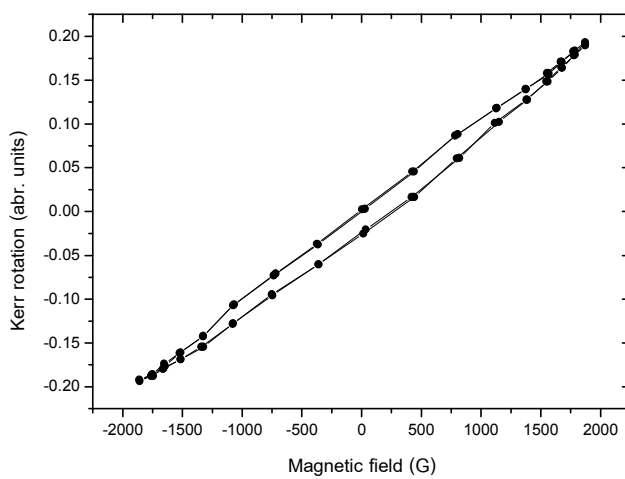
วงศ์สเทอริชของเหล็ก

วงศ์สเทอริชของ L-MOKE ของเหล็ก ที่กระแสสูงสุด 5 A อัตราการเปลี่ยนกระแส 0.5 A ไม่มีการเลื่อนเวลา มุมของตัววิเคราะห์ 90° เปรียบเทียบกับผลการวัดเหล็กแบบบริมาตรา (bulk Fe) ที่ได้จากเครื่อง VSM (Held. 2008: Online) จะเป็นดังภาพประกอบ 52 พบร้าลักษณะรูปร่างและค่า สนามบลลังแม่เหล็กมีความแตกต่างกันมาก ซึ่งผลการวัดเหล็กมี H_c ประมาณ 100 G ในขณะที่ผล การวัดจากเครื่อง VSM มีค่า H_c ประมาณ 0.9 G



ภาพประกอบ 52 วงศ์เทคโนโลยีของ L-MOKE ของเหล็กแบบบิโนมาร์เปรียบเทียบกับผลที่ได้จากการวัด VSM

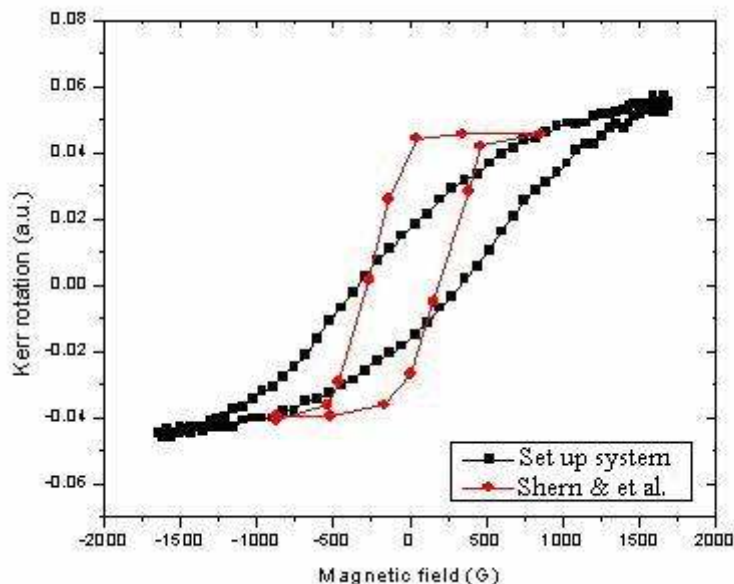
วงศ์เทคโนโลยีของสัญญาณ P-MOKE ของเหล็ก ที่กระแสสูงสุด 4 A อัตราการเปลี่ยนกระแส 0.5 A ในมีการเดือนเวลา ปุ่มของตัววิเคราะห์ 90° จะเป็นดังภาพประกอบ 53



ภาพประกอบ 53 วงศ์เทคโนโลยีของ P-MOKE ของเหล็ก

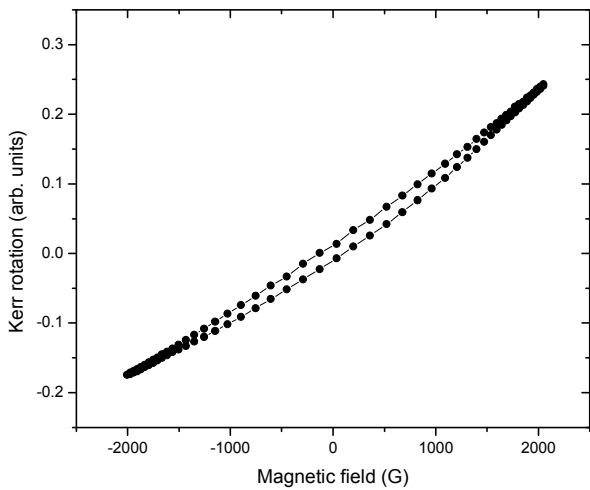
วงศ์สเทอวิชิสของโคบลต์บริสุทธิ์ (99.995%)

วงศ์สเทอวิชิสของสัญญาณ L-MOKE ของโคบลต์บริสุทธิ์ (99.995%) ที่กระแสสูงสุด 3 A อัตราการเปลี่ยนกระแส 0.1 A ไม่มีการเลื่อนเวลา หมุนของตัววิเคราะห์ 90° เปรียบเทียบกับผลการวัด L-MOKE ของฟิล์มโคบลต์หนา 6.5 ไมโครเมตริกบันแพลทินัมระนาบ (111) (Shern; et al. 1999; L498) จะเป็นดังภาพประกอบ 54 พบร่วมกันระหว่างของวงไกล์เคียงกัน โดยมีค่าสนามลบล่างแม่เหล็กของโคบลต์ประมาณ 360 G ในขณะที่ของฟิล์มโคบลต์มีค่าประมาณ 260 G มีความคลาดเคลื่อนประมาณ 38.5 เปอร์เซนต์



ภาพประกอบ 54 วงศ์สเทอวิชิสของ L-MOKE ของโคบลต์บริสุทธิ์ (99.995%) เปรียบเทียบกับฟิล์ม 6.5 ML Co/Pt(111)

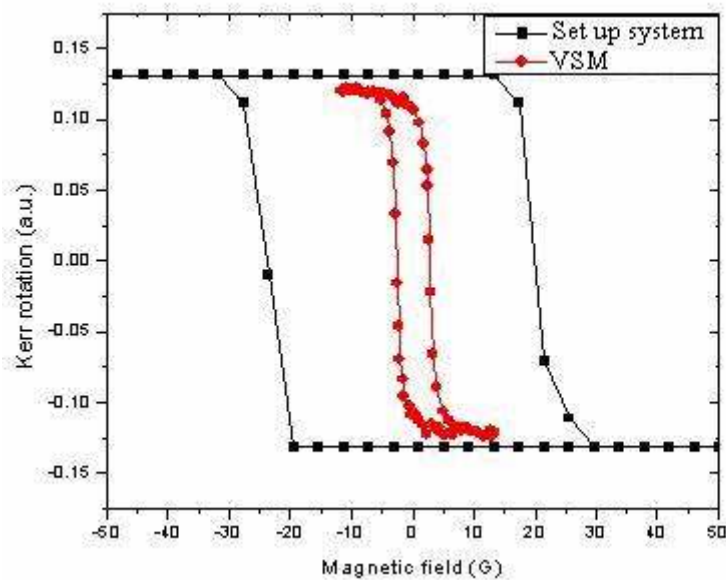
วงศ์สเทอวิชิสของสัญญาณ P-MOKE ของโคบลต์บริสุทธิ์ (99.995%) ที่กระแสสูงสุด 5 A อัตราการเปลี่ยนกระแส 0.2 A ไม่มีการเลื่อนเวลา หมุนของตัววิเคราะห์ 90° จะเป็นดังภาพประกอบ 55



ภาพประกอบ 55 วงศ์สเทอโรซิสของปراกกฎการณ์ของเคอร์ด้านทัศนศาสตร์แม่เหล็กแบบเชิงข้าวของโคบลต์บริสุทธิ์ (99.995%)

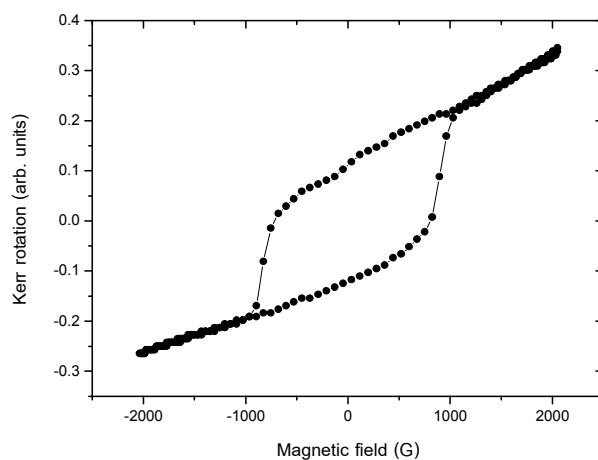
วงศ์สเทอโรซิสของฟิล์มเหล็กหนา 1100 Å

วงศ์สเทอโรซิสการวัด L-MOKE ของฟิล์มเหล็กหนา 1100 Å ปลูกบนแก้ว ที่กระแสสูงสุด 0.1 A อัตราการเปลี่ยนกระแส 0.05 A ไม่มีการเลื่อนเวลา มุมของตัววิเคราะห์ 90° เปรียบเทียบกับผลการวัดฟิล์มเหล็กหนา 7000 Å ปลูกบนแก้วจากเครื่อง VSM (Held. 2008: Online) จะเป็นดังภาพประกอบ 56 พบร้าวุ่นร่างลักษณะของวงศ์สเทอโรซิส แต่มีความแตกต่างของสนามคลบล้างแม่เหล็ก 強く โดยผลจากการวัดฟิล์มหนา 1100 Å มีค่า H_c ประมาณ 19 G ในขณะที่ผลการวัดฟิล์มหนา 7000 Å จะได้ค่า H_c ประมาณ 2.8 G



ภาพประกอบ 56 วงยิสเทอเริชิสของ L-MOKE ของฟิล์มเหล็กหนา 1100 Å เปรียบเทียบกับผลการวัดจากเครื่อง VSM ของฟิล์มเหล็กหนา 7000Å

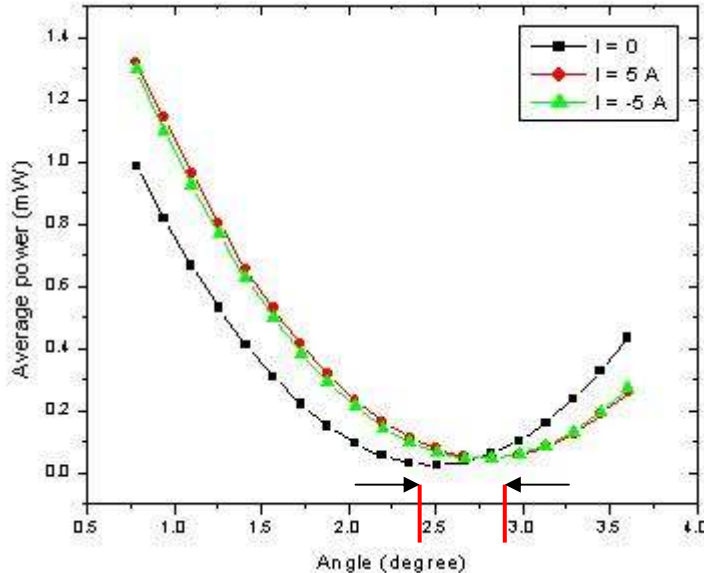
วงยิสเทอเริชิสของสัญญาณของเครื่องของฟิล์มเหล็กหนา 1100 Å ที่กระแสสูงสุด 5 A ขัตราชการเปลี่ยนกระแส 0.1 A ไม่มีการเลื่อนเวลา หมุนของตัววิเคราะห์ 90° จะเป็นดังภาพประกอบ 57



ภาพประกอบ 57 วงยิสเทอเริชิสของ P-MOKE ของฟิล์มเหล็กหนา 1100 Å

4.3.2 การวัดมุ่งการหมุนของเคอร์โดยการปรับมุ่งพล้าไโรเซอร์วิเคราะห์

กราฟแสดงความสัมพันธ์ระหว่างค่ากำลังแสงเลเซอร์และมุ่งมองพล้าไโรเซอร์วิเคราะห์ เมื่อไม่ให้สนามแม่เหล็กภายนอกกับสารตัวอย่าง เมื่อให้สนามแม่เหล็กที่กระแสนครองที่ 5 A และเมื่อให้สนามแม่เหล็กที่กระแสนครองที่ -5 A เป็นดังภาพประกอบ 60 พบร่วมกับการวัดกำลังแสงเลเซอร์ที่สะท้อนจากผิวสารตัวอย่างที่ลบล้างความเป็นแม่เหล็ก (demagnetize) โดยยังไม่ให้สนามแม่เหล็กภายนอก เมื่อปรับมุ่งพล้าไโรเซอร์วิเคราะห์จาก 1° ไปถึง 3.5° จะได้เส้นโค้งของกำลังแสงเป็นแบบพาราโบลาซึ่งมีจุดต่ำสุดอยู่ที่มุ่ง 2.5078° และเมื่อให้สนามแม่เหล็กภายนอกโดยจ่ายกระแสคงที่ 5 A วัดกำลังแสงโดยปรับมุ่งพล้าไโรเซอร์วิเคราะห์จะได้เส้นโค้งของกำลังแสงเป็นแบบพาราโบลาเช่นกันแต่จะเลื่อนไปทางขวาซึ่งมีจุดต่ำสุดอยู่ที่มุ่ง 2.8213° โดยมีความต่างของมุ่งเป็น 0.3135° เมื่อให้สนามแม่เหล็กภายนอกโดยจ่ายกระแสคงที่ -5 A วัดกำลังแสงโดยปรับมุ่งพล้าไโรเซอร์วิเคราะห์จะได้เส้นโค้งของกำลังแสงเป็นแบบพาราโบลาที่อยู่ต่ำกว่าแนวเดียวกับเส้นโค้งของกระแส 5 A มีจุดต่ำสุดอยู่ที่มุ่งเดียวกันและมีความต่างของมุ่งเท่ากัน



ภาพประกอบ 58 การเปลี่ยนแปลงของกำลังแสงเลเซอร์ที่ตกบนไฟฟ้าโดยค่าตามการเปลี่ยนแปลงมุ่งมองพล้าไโรเซอร์วิเคราะห์ เมื่อไม่ให้สนามแม่เหล็กภายนอก ให้สนามแม่เหล็กที่กระแสนครองที่ 5 A และให้สนามแม่เหล็กที่กระแสนครองที่ -5 A ของเหล็ก

บทที่ 5

สรุป อภิปราย และข้อเสนอแนะ

ในการพัฒนาระบบนี้ได้ทำการออกแบบแม่เหล็กไฟฟ้าเพื่อใช้ในระบบการวัด L-MOKE และ P-MOKE โดยออกแบบขั้วแม่เหล็กเป็น 2 แบบ คือแบบที่ 1 เป็นแบบที่ใช้กันทั่วไปมีพื้นที่หน้าตัดเป็นรูปสี่เหลี่ยมผืนผ้าสองขั้วขนาดกัน แบบที่ 2 เป็นแบบที่ออกแบบขึ้นใหม่ให้มีพื้นที่หน้าตัดด้านข้างเป็นรูปสามเหลี่ยมสำหรับใช้วัดสารตัวอย่างเหนือขั้วแม่เหล็ก เพื่อลดข้อจำกัดของมุมตักษะทบทำรวจการวัด MOKE ทั้งสองรูปแบบ

แม่เหล็กไฟฟ้าจะมีแกนแม่เหล็กขั้นรูปเป็นรูปตัวยู มีความกว้างและความยาวของฐานเป็น 60x60 mm และสูง 200 mm ขนาดของขั้วแม่เหล็กแบบที่ 1 กว้าง 20 mm ยาว 60 mm สูง 30 mm ขั้วแม่เหล็กแบบที่ 2 กว้าง 23 mm ยาว 60 mm สูง 5 mm โดยแกนแม่เหล็กและขั้วแม่เหล็กทำจากเหล็กกล้าคาร์บอนต่ำ ($C<0.19\%$) ขาดลวดโซลินอยด์จากการทดสอบแรงชนิดเอกสารเดียวกันเป็น 19 มีขนาดเส้นผ่านศูนย์กลาง 1.02362 mm ทนกระแสสูงสุดประมาณ 7 A พันเป็นขาดลวดจำนวน 1394 รอบ มีความต้านทานไฟฟ้าของขาดลวดทั้งสองชุดเป็น 3.6Ω และ 4.1Ω

5.1 สรุปผลการวิจัย

5.1.1 ระบบ MOKE ที่สร้างขึ้นสามารถวัดปรากฏการณ์ของเคอร์ต้านทัศนศาสตร์แม่เหล็กแบบเชิงขั้วและแบบตามยาวของสารตัวอย่างที่เป็นปริมาณตรและเป็นพิล์มบางได้ ดังต่อไปนี้

5.1.1.1 วงศ์สเทอโรซิสของผลึกเดี่ยวนิกเกิลระบาน (111) พบว่าวงศ์สเทอโรซิสของ L-MOKE จะมีค่าสนามลบล้างแม่เหล็กประมาณ 200 G และจะอิ่มตัวที่สนามแม่เหล็กประมาณ 250 G และ -250 G เมื่อเทียบกับวงศ์สเทอโรซิสของพิล์มนิกเกิลบนแพลทินัมระบาน (111) หนา 7.4 ไมโนแลเยอร์ ในงานวิจัยของนาม (Nahm. 2005: s199) พบว่ามีลักษณะวงแบบเดียวกันแต่มีขนาดของสนามลบล้างแม่เหล็กประมาณ 43 G เมื่อเทียบกับงานวิจัยของเชิร์นและคณ (Shern; et al. 1998: 110) ที่วัดความรีของเคอร์แบบตามยาวของพิล์มนิกเกิลบนแพลทินัมระบาน (111) พบว่ามีค่าสนามลบล้างแม่เหล็กใกล้เคียงกันโดยมีเบอร์เซนต์ความคลาดเคลื่อนประมาณ 44.4 เบอร์เซนต์ พิจารณาวงศ์สเทอโรซิสของ P-MOKE พบว่าจะไม่เห็นสถานะการอิ่มตัวเมื่อให้สนามสูงสุดประมาณ 2000 G ซึ่งสอดคล้องกับงานวิจัยของเชิร์นและคณ (Shern; et al. 1998: 109) ที่วัดความรีของเคอร์ของพิล์มนิกเกิลบนแพลทินัมระบาน (111) แบบเชิงขั้วและไม่พบการอิ่มตัวที่สนามมากกว่า 1410 G เช่นเดียวกัน

5.1.1.2 วงศ์เทอเรชิสของเหล็ก พบร่วงยิสเทอเรชิสของ L-MOKE จะมีค่าสนามลบล้างแม่เหล็กประมาณ 100 G และจะอิ่มตัวที่สนามแม่เหล็กประมาณ 250 G และ -250 G เปรียบเทียบวงยิสเทอเรชิสกับผลการวัดเหล็กแบบบริมาตรที่ได้จากเครื่อง VSM (Held. 2008: Online) พบร่วงลักษณะรูปร่างไกลเดียงกัน แต่ค่าสนามลบล้างแม่เหล็กมีความแตกต่างกันมาก โดยผลการวัดจากเครื่อง VSM มีค่า H_c ประมาณ 0.9 G พิจารณางยิสเทอเรชิสของ P-MOKE จะไม่เห็นสถานะการอิ่มตัวเมื่อให้สนามสูงสุดประมาณ 2000 G

5.1.1.3 วงศ์เทอเรชิสของโคบอลต์ พบร่วงยิสเทอเรชิสของ L-MOKE จะมีค่าสนามลบล้างแม่เหล็กประมาณ 350 G และจะอิ่มตัวที่สนามแม่เหล็กประมาณ 1500 G และ -1500 G เปรียบเทียบวงยิสเทอเรชิสกับงานวิจัยของลีและคณะ (Lee; et al. 2000: 3803) ซึ่งวัดการหมุนของเคอร์ของพิล์มโคบอลต์บนพลาสติกเดี่ยมมะนาบ (111) พบรูปร่างของวงยิสเทอเรชิสแตกต่างกันมาก เมื่อเปรียบเทียบกับงานวิจัยของเชิร์นและคณะ (Shern; et al. 1999: L498) พบร่วงลักษณะรูปร่างของไกลเดียงกัน โดยมีค่าสนามลบล้างแม่เหล็กของพิล์มโคบอลต์มีค่าประมาณ 260 G มีความคลาดเคลื่อนประมาณ 38.5 เบอร์เซนต์ พิจารณางยิสเทอเรชิสของ P-MOKE จะไม่เห็นสถานะการอิ่มตัวเมื่อให้สนามสูงสุดประมาณ 2000 G

5.1.1.4 วงศ์เทอเรชิสของพิล์มเหล็กหนา 1100 Å พบร่วงยิสเทอเรชิสของ L-MOKE เปรียบเทียบกับผลการวัดพิล์มเหล็กหนา 7000 Å ปลูกบนแก้วจากเครื่อง VSM (Held. 2008: Online) รูปร่างลักษณะของวงคล้ายกัน แต่มีความแตกต่างของสนามลบล้างแม่เหล็กสูง โดยจากการวัดพิล์มหนา 1100 Å มีค่า H_c ประมาณ 19 G ในขณะที่ผลการวัดพิล์มหนา 7000 Å จะได้ค่า H_c ประมาณ 2.8 G พิจารณางยิสเทอเรชิสของ P-MOKE พบร่วงที่มีลักษณะเอียง มีสนามลบล้างแม่เหล็กประมาณ 1600 G แสดงสถานะอิ่มตัวที่สนามแม่เหล็กประมาณ 1000 G และ -1000 G

5.1.1.5 การวัดมุมการหมุนของเคอร์โดยการปรับมุมโพลาไรเซอร์วิเคราะห์ จากการวัดกำลังแสงเลเซอร์ที่สะท้อนจากผิวสารตัวอย่างที่ลบล้างความเป็นแม่เหล็ก โดยยังไม่ให้สนามแม่เหล็กภายนอก เมื่อปรับมุมโพลาไรเซอร์วิเคราะห์จาก 1° ไปถึง 3.5° จะได้เส้นต่อของกำลังแสงแบบพาราโบลาซึ่งมีจุดต่ำสุดอยู่ที่มุม 2.5078° และเมื่อให้สนามแม่เหล็กภายนอกโดยจ่ายกระแสคงที่ 5 A วัดกำลังแสงโดยปรับมุมโพลาไรเซอร์วิเคราะห์จะได้เส้นโค้งของกำลังแสงเป็นแบบพาราโบลาเช่นกัน แต่จะเลื่อนไปทางขวาเมื่อซึ่งมีจุดต่ำสุดอยู่ที่มุม 2.8213° โดยมีความต่างของมุมเป็น 0.3135° เมื่อให้สนามแม่เหล็กภายนอกโดยจ่ายกระแสคงที่ -5 A วัดกำลังแสงโดยปรับมุมโพลาไรเซอร์วิเคราะห์จะได้เส้นต่อของกำลังแสงเป็นแบบพาราโบลาที่อยู่ต่ำแห่งเดียวกับเส้นโค้งของกระแส 5 A มีจุดต่ำสุดอยู่ที่มุม 2.8213° โดยมีความต่างของมุมเป็น 0.3135°

5.1.2 แม่เหล็กไฟฟ้าที่ออกแบบสามารถสร้างสนามแม่เหล็กในบริเวณที่วัดสารตัวอย่างได้สูงสุด 2123.573 G สำหรับขั้วแม่เหล็กแบบที่ 1 และ 983.935 G สำหรับขั้วแม่เหล็กแบบที่ 2 ณ ตำแหน่งพิกัด (0,0,215) เมื่อใช้กระแสประมาณ 5.5 A โดยสนามแม่เหล็กจะมีองค์ประกอบในทิศทางเดียวกันในบริเวณที่แสดงผลกระทบพิวารา

5.1.2.1 การเบรี่ยบเทียบค่าสนามแม่เหล็กจากผลการคำนวนโดยชุดคำสั่งเรเดียและผลการวัดด้วยหัววัดซอลล์ พบว่าแม่เหล็กไฟฟ้าที่สร้างขึ้นสามารถวัดสนามแม่เหล็กด้วยหัววัดซอลล์ได้ 775.904 G เมื่อใช้กระแส 0.5 A สำหรับขั้วแม่เหล็กแบบที่ 1 และ 1274.26 G เมื่อใช้กระแส 1.5 A สำหรับขั้วแม่เหล็กแบบที่ 2 ส่วนการคำนวนสนามแม่เหล็กโดยชุดคำสั่งเรเดียได้เท่ากับ 770.716 G เมื่อใช้กระแส 0.5 A สำหรับขั้วแม่เหล็กแบบที่ 1 และ 1273.04 G เมื่อใช้กระแส 1.5 A สำหรับขั้วแม่เหล็กแบบที่ 2 ซึ่งพบว่าแนวโน้มของค่าสนามแม่เหล็กที่วัดด้วยหัววัดซอลล์และการคำนวนจากชุดคำสั่งเรเดียจะสอดคล้องกัน และมีความแตกต่างของค่าสนามแม่เหล็กทั้งสามแนวแกนประมาณ 0.89 เปอร์เซ็นต์ สำหรับขั้วแม่เหล็กแบบที่ 1 และ 2.7 เปอร์เซ็นต์ สำหรับขั้วแม่เหล็กแบบที่ 2

5.1.2.2 การพิจารณาองค์ประกอบของสนามแม่เหล็กในทิศเดียว จากลักษณะของผิวสามมิติและแผนภาพสองมิติที่สร้างขึ้นจากองค์ประกอบของสนามเหล็กในแนวแกน y เทียบกับตำแหน่งบนระนาบ xz สำหรับการวัด P-MOKE พบว่าที่ตำแหน่งที่สนามแม่เหล็กสูงสุดจะมีเพียงองค์ประกอบของสนามแม่เหล็กในทิศทางเดียวก็อตามแนวแกน y สำหรับขั้วแม่เหล็กแบบที่ 1 จะมีความเรียบตามแนวแกน x ประมาณ 20 mm และมีความเรียบตามแนวแกน z ประมาณ 5 mm โดยมีพื้นที่สำหรับการวัดสารตัวอย่างประมาณ 100 mm^2 ชิ้นในบริเวณนี้จะมีความแตกต่างของสนามแม่เหล็กประมาณ 1.25 เปอร์เซ็นต์ สำหรับขั้วแม่เหล็กแบบที่ 2 จะมีความเรียบตามแนวแกน x ประมาณ 15 mm และมีความเรียบตามแนวแกน z ประมาณ 2 mm โดยมีพื้นที่สำหรับการวัดสารตัวอย่างประมาณ 30 mm^2 ชิ้นในบริเวณนี้จะมีความแตกต่างของสนามแม่เหล็กประมาณ 1.96 เปอร์เซ็นต์

ในการวัด L-MOKE จะพิจารณาบนระนาบ yz สำหรับขั้วแม่เหล็กแบบที่ 1 โดยจะมีระยะตามแนวแกน y ประมาณ 7 mm และระยะตามแนวแกน z ประมาณ 5 mm มีพื้นที่สำหรับวัดสารประมาณ 35 mm^2 ชิ้นในบริเวณนี้จะมีความแตกต่างของสนามแม่เหล็กประมาณ 1.29 เปอร์เซ็นต์ สำหรับขั้วแม่เหล็กแบบที่ 2 จะพิจารณาบนระนาบ xy โดยจะมีระยะตามแนวแกน x ประมาณ 15 mm และระยะตามแนวแกน y ประมาณ 5 mm มีพื้นที่สำหรับวัดสารประมาณ 75 mm^2 ชิ้นในบริเวณนี้จะมีความแตกต่างของสนามแม่เหล็กประมาณ 1.54 เปอร์เซ็นต์

5.1.2.3 การสร้างพังก์ชันของความสัมพันธ์ระหว่างกระแสกับสนามแม่เหล็ก สำหรับแม่เหล็กไฟฟ้าที่มีขั้วแม่เหล็กแบบที่ 1 และแบบที่ 2 เป็นดังสมการที่ (4.1)-(4.6)

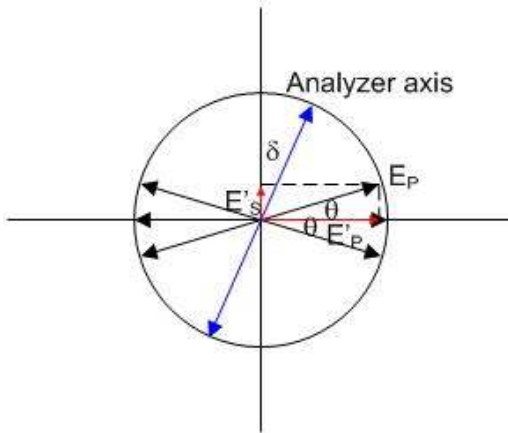
5.1.3 ระบบที่ออกแบบมีการต่อประสานผ่านช่องทางจีพีไอบีและช่องทางอนุกรม โดยการเขียนโปรแกรมแลบวิว เพื่อควบคุมการทำงานของอุปกรณ์และนำผลการวัดมาประมวลผล และแสดงผลทางคอมพิวเตอร์ โดยโปรแกรมสามารถใช้งานได้เป็นอย่างดี

5.1.4 การวัดทดสอบเพื่อหาความคลาดเคลื่อนของเครื่องมือ จะพิจารณาใน 2 ลักษณะคือ ความแม่น (accuracy) และความเที่ยง (precision) ของเครื่องมือ โดยพบว่าเครื่องมือวัดที่สร้างขึ้นยัง มีความแม่นต่ำพิจารณาจากวัดค่าสนามลบล้ำงได้แตกต่างจากค่ามาตรฐานมาก เมื่อพิจารณาความเที่ยงของเครื่องมือพบว่าค่าอนข้างดีเนื่องจากสามารถวัดซ้ำได้ค่าการวัดเดิมภายใต้สภาพแวดล้อมเดียวกันได้

5.2 อภิปรายผลการวิจัย

วงฮิสเทอโรชิสที่ได้จากการวัด Ni(111) จะมีลักษณะของวงสอดคล้องกันดีกับงานวิจัยอื่น แต่ค่าสนามลบล้ำงแม่เหล็กไม่สามารถเบรียบเทียบกันได้เนื่องจากในการวัดฟิล์มจะมีค่าความเป็นแม่เหล็กน้อยกว่าการวัดปริมาตรซึ่งค่าสนามลบล้ำงแม่เหล็กควรน้อยลงด้วย เบรียบเทียบการวัดสารตัวอย่างที่เป็นปริมาตรทั้งสามชนิดพบว่า สารตัวอย่างที่เป็นผลึกจะให้ผลการวัดที่ดีกว่าสารที่ไม่เป็นผลึก เนื่องจากสารที่เป็นผลึกจะมีโมเมนแม่เหล็กใหญ่และมีทิศของความเป็นแม่เหล็กที่แน่นอนกว่า เบรียบเทียบการวัดเหล็กที่เป็นปริมาตรและเป็นฟิล์มพบว่าแบบฟิล์มจะมีค่าสนามลบล้ำงแม่เหล็กต่ำกว่าแบบปริมาตร และสามารถสังเกตเห็นวงฮิสเทอโรชิสของ P-MOKE และสถานะความเป็นแม่เหล็กอิมตัวได้ชัดเจนกว่า

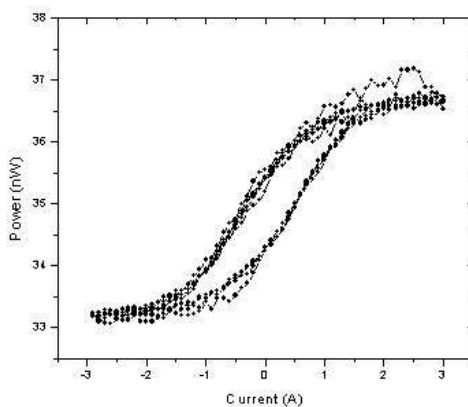
การวัดมุมของเคอร์โดยตรงพิจารณาจากองค์ประกอบของการโพลาไรซ์ดังภาพประกอบ 64 และความสัมพันธ์ของความเข้มแสง $I = |E'_s \cos \delta + E'_p \sin \delta|^2$ และ $E'_s = E_p \cos \theta$, $E'_p = E_p \sin \theta$ จะได้ $I = E_p^2 \cos^2(\delta - \theta)$ โดยความเข้มแสงจะมีค่าต่ำสุดเมื่อ $\delta - \theta = \pi/2$ ดังนั้นมุมของโพลาไรเซอร์วิเคราะห์เพื่อที่จะวัดความเข้มแสงได้ต่ำที่สุดจะเป็น $\delta = \pi/2 + \theta$ เมื่อไม่มีการหมุนของเคอร์จะวัดความเข้มแสงต่ำสุดที่ 90° และเมื่อเกิดการหมุนของเคอร์จะวัดความเข้มแสงต่ำสุดที่มุม $90^\circ \pm \theta$ ในการวัดเมื่อไม่มีการหมุนของเคอร์วัดมุมได้ 2.5078° และเมื่อมีการหมุนของเคอร์วัดมุมได้ 2.8213° จะได้มุมการหมุนของเคอร์เป็น 0.3135° เบรียบเทียบกับค่ามุมการหมุนของเคอร์ในหัวข้อ 2.4.1.1 ซึ่งมีค่าเป็น 0.41° สำหรับเหล็ก โดยจะมีเปอร์เซ็นต์ความแตกต่างเป็น 23.54 เปอร์เซนต์



ภาพประกอบ 59 แสดงองค์ประกอบของการโพลาไรซ์ในแนวเอสและพี เมื่อเกิดการหมุนของเครื่อง

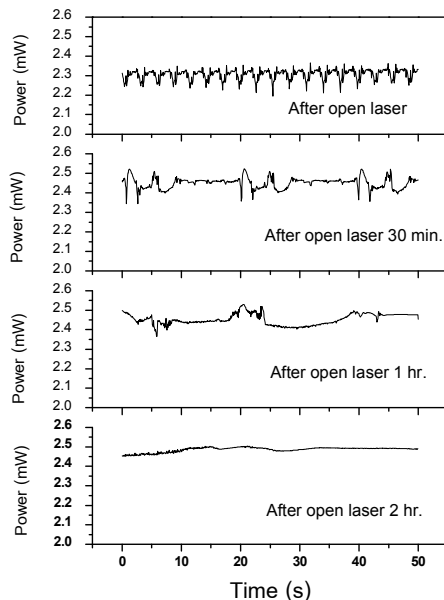
5.3 ข้อเสนอแนะ

ในส่วนของแม่เหล็กไฟฟ้ามีความต้านทานของขดลวดโซเดียมอยู่ต่ำกว่า 1 Ω ทั้งสองชุดเพื่อที่จะสามารถใช้กระแสจากแหล่งจ่ายกำลังได้ถึง 20 A ทำให้สามารถสร้างสนามแม่เหล็กได้สูงขึ้น แกนแม่เหล็กควรจะใช้วัสดุที่มีค่าแม่เหล็กคงเหลือน้อยที่สุดและควรให้สนามแม่เหล็กสูงสุด เช่น ชูเปอร์เมนเดอร์ (supermendur) หรือวานาเดียมเพอร์เมนเดอร์ (vanadium permendur) เป็นต้น การลดอุณหภูมิของขดลวดมีความจำเป็นเนื่องจากเมื่ออุณหภูมิสูงขึ้นความต้านทานของขดลวดจะต่ำลงทำให้ดึงกระแสไปสูงขึ้นบางครั้งแหล่งจ่ายกำลังไม่สามารถรองรับได้อาจเกิดความเสียหายได้จึงควรมีระบบระบายอากาศสำหรับขดลวดโซเดียมอยู่โดยเฉพาะเมื่อต้องใช้งานที่กระแสสูง



ภาพประกอบ 60 วงไส้เทอริชิสจาก L-MOKE ของโคบอลต์เมื่อวัดซ้ำ 4 รอบ

ในการวัดคงยิสเทอเรชิสเมื่อทำการวัดหัวละยรอบพบว่าจะเกิดการผิดเพี้ยนของสัญญาณมากดังเช่นภาพประกอบ 65 ซึ่งสาเหตุหนึ่งที่น่าจะมีส่วนเกี่ยวข้องคือเสถียรภาพของเลเซอร์ โดยเมื่อเปิดเลเซอร์จะมีการกวัดแก่วงของกำลังแสงมากจนไม่สามารถวัดสัญญาณของเคอร์ได้เมื่อเวลาผ่านไป การกวัดแก่วงจะลดลงจนสามารถวัดสัญญาณของเคอร์ได้ โดยการกวัดแก่วงของเลเซอร์เมื่อเปิดเลเซอร์และเมื่อเวลาผ่านไป 30 นาที 1 ชั่วโมง และ 2 ชั่วโมง จะแสดงดังภาพประกอบ 66 โดยมีความแตกต่างของค่ากำลังแสงเป็น 7.33, 7.30, 6.64 และ 2.09 เปอร์เซ็นต์ การแก้ปัญหาของการกวัดแก่วงของสัญญาณมากจึงควรเปลี่ยนแหล่งกำเนิดแสงเลเซอร์เป็นชนิดที่มีเสถียรภาพของความเข้มแสงสูง



ภาพประกอบ 61 กำลังแสงเลเซอร์ที่เปลี่ยนตามเวลา เมื่อเปิดเครื่องเลเซอร์ทันที เวลาผ่านไป 30 นาที 1 ชั่วโมง และ 2 ชั่วโมง

บรรณานุกรม

បច្ចនានៃកទម

- Azzam, R. M. A.; & Bashara, N. M. (1987). *Ellipsometry and Polarized Light*. Netherlands: Elsevier Science Publishers B.V.
- Bader, S. D.; & Moog, E. R. (1987, April 15). Magnetic Properties of Novel Epitaxial Films (Invited). *Journal of Applied Physics*. 61(8): 3729-3734.
- Bertotti, Giorgio. (1998). *Hysteresis in Magnetism*. San Diego: Academic Press.
- Du Trémolet de Lacheisserie, Étienne; Gignoux, Damien; & Schlenker, Michel, editors. (2002). *Magnetism I – Fundamentals*. Massachusetts: Kluwer Academic Publishers.
- Du Trémolet de Lacheisserie, Étienne; Gignoux, Damien; & Schlenker, Michel, editors. (2002). *Magnetism II – Materials and Applications*. Massachusetts: Kluwer Academic Publishers.
- Erskine, J. L.; & Stern, E. A. (1973, June 25). Magneto-Optic Kerr Effect in Ni, Co, and Fe. *Physical Review Letters*. 30(26): 1329-1332.
- Hampton, Jenifer R.; Albertos, José Luis Martínez; & Abruna, Héctor D. (2002, August). Development of a Versatile SMOKE System with Electrochemical Applications. *Review of Scientific Instruments*. 73(8): 3018-3021.
- Held, Ruediger. (2008, January 26). *Improving a Vibrating Sample Magnetometer*. Retrieve January 26, 2008. from <http://members.aol.com/RudyHeld/publications/unpublished/VSM/vsm.htm>.
- Hunt, Robert P. (1967, March 15). Magneto-Optic Scattering from Thin Solid Films. *Journal of Applied Physics*. 38(4): 1652-1671.
- Jackson, John David. (1999). *Classical Electrodynamics*. 3rd ed. New York: John Wiley & Sons.
- King, Joseph. (2008, January 18). *Direct Current Magnetization Curves for Various Magnetic Materials*. Retrieve January 18, 2008. from http://emat.eng.hmc.edu/database/direct_current_magnetization_cur.htm.

- Lee, J. W.; et al. (2000, October). Three-Configurational Surface Magneto-Optical Kerr Effect Measurement System for an Ultrahigh Vacuum in situ Study of Ultrathin Magnetic Films. *Review of Scientific Instruments*. 71(10): 3801-3805.
- Lorrain, Paul; Corson, Dale R.; & Lorrain, François. (1988). *Electromagnetic Fields and Waves*. 3rd ed. New York: W. H. Freeman and company.
- Nahm, T. U. (2005, June). Magnetic Properties of Ultrathin Ni/Pt(111) Films; a Surface Magneto-Optic Kerr Effect Study. *Journal of the Korean Physical Society*. 46: s197-s200.
- Prutton, M. (1964). *Thin Ferromagnetic Films*. London: Butterworth and Co. (Publishers) Ltd.
- Qiu, Z. Q.; & Bader, S. D. (2000, March). Surface Magneto-Optic Kerr Effect. *Review of Scientific Instruments*. 71(3): 1243-1255.
- Reichl, Irene. (2005). *Theoretical Investigations of Magneto-Optical Properties of Multilayer Systems*. Thesis, Ph.D. (technical science). Vienna: Vienna University of Technology. Photocopied.
- Robinson, Charles C. (1964, October). The Faraday Rotation of Diamagnetic Glasses from 0.334μ to 1.9μ . *Applied Optics*. 3(10): 1163-1166.
- Shern, C. S.; et al. (1998, April). Magnetic Properties of Ni/Pt(111) Thin Films Studied by MOKE. *Chinese Journal of Physics*. 36(2-I): 106-113.
- Shern, C. S.; et al. (1999, March 23). Response and Enhancement of Surface Magneto-Optic Kerr Effect for Co-Pt(111) Ultrathin Films and Surface Alloy. *Surface Science*. 429: L497-L502.
- Yang, Z. J.; & Scheinfein, M. R. (1993, December 1). Combined Three-Axis Surface Magneto-Optical Kerr Effects in the Study of Surface and Ultrathin-Film Magnetism. *Journal of Applied Physics*. 74(11): 6810-6823.
- You, Chun Yeol; & Shin, Sung Chul. (1998, July 1). Generalize Analytic Formulae for Magneto-Optical Kerr Effects. *Journal of Applied Physics*. 84(1): 541-546.
- Yuen, Homan. (2000). *Construction of a Surface Magneto-Optic Kerr Effect Apparatus for the Measurement of Magnetic Properties of Thin Films*. Thesis, B.A. (Physics). Berkeley: University of California at Berkeley. Photocopied.

ภาคผนวก

ภาคผนวก ก
โปรแกรมเรเดีย

โปรแกรมเรเดียสำหรับขั้วแม่เหล็กแบบที่ 1

```

<<Radia`;
<<Graphics`PlotField3D`;

(*Defining the model*)

Off[General::"spell1"];
geom[circ_]:=(
  ironcolor={0,0,1};
  coilcolor={1,0,0};

  (*The horizontal segment between the corners*)

  lx1=width/2;ly1=(long-
  armlong*2)/2;lz1=bhigh;l1={lx1,ly1,lz1};
  p1={width/4,ly1/2,bhigh/2};
  r1=radObjRecMag[p1,l1];
  radObjDivMag[r1,n1];

  (*The right bottom corner*)

  lx2=width/2;ly2=armlong;lz2=bhigh;l2={lx2,ly2,lz2};
  p2={width/4,p1[[2]]+long/2-armlong,p1[[3]]];
  r2=radObjRecMag[p2,l2];
  typ={"cyl",{p2+{0,-
  ly2/2,lz2/2},{1,0,0}},p2+{0,ly2/2,lz2/2},lz2/ly2};

  If[circ==1,radObjDivMag[r2,{nbr,nbp,n1[[1]]},typ],radObjDivM
  ag[r2,n2]];

  (*The vertical segment inside the right-coil*)

  lx3=width/2;ly3=armlong;lz3=high-bhigh;l3={lx3,ly3,lz3};
  p3={width/4,p2[[2]],high/2+bhigh/2};
  r3=radObjRecMag[p3,l3];
  radObjDivMag[r3,n3];

  (*The right top corner*)

  lx4=width/2;ly4=armlong;lz4=phigh;l4={lx4,ly4,lz4};
  p4={width/4,p1[[2]]+long/2-armlong,high+phigh/2};
  r4=radObjRecMag[p4,l4];
  typ={"cyl",{p4+{0,-ly4/2,-lz4/2},{1,0,0}},p4+{0,ly4/2,-
  lz4/2},lz4/ly4};

```

```

If[circ==1,radObjDivMag[r4,{nbr,nbp,n1[[1]]},typ],radObjDivM
ag[r4,n4]];

(*The right pole face*)

r5=radObjMltExtPgn[{{{30,15},{30,12},{0,12},{0,15}},200},{{
{30,15},{30,12},{16,10},{0,10},{0,15}},205},{{{30,15},{30,12
},{16,10},{0,10},{0,15}},225},
{{{30,15},{30,12},{0,12},{0,15}},230}}];
radObjDivMag[r5,n5];

(*Generation of the rigth-coil*)

pc={0,p2[[2]],p3[[3]]+1.5};

rcoil=radObjRaceTrk[pc,{Rmin,Rmax},{width,armlong},coilhigh,
Nseg,-CurDens];
radObjDrwAtr[rcoil,coilcolor];

(*Generation of the left-coil*)

pc={0,-p2[[2]],p3[[3]]+1.5};

lcoil=radObjRaceTrk[pc,{Rmin,Rmax},{width,armlong},coilhigh,
Nseg,CurDens];
radObjDrwAtr[lcoil,coilcolor];

(*make container and set the colors*)

g=radObjCnt[{r1,r2,r3,r4,r5}];
radObjDrwAtr[g,ironcolor];
radMatApl[g,iron];
t=radObjCnt[{g,rcoil,lcoil}];

(*Define the symmetries*)

RadTrfZerPerp[g,{0,0,0},{1,0,0}];
RadTrfZerPara[g,{0,0,0},{0,1,0}];
);

(*Creating the model and solving*)

(*Geometry parameters for yoke*)

armlong=15;
bhigh=20;
long=60;

```

```

width=60;
high=200;
pwidth=1;
phigh=30;
coilhigh=163;
current=1394*0.5;                                     (*in
Ampere-turns @1394 turns 0.5 A*)

(*Geometry parameters for coil*)

Rmin=1;
Rmax=14;
Nseg=4;
CurDens=current/coilhigh/ (Rmax-Rmin);

(*Segmentation Parameters*)

nx=8;
nbp=8;nbr=8; (*for the corners*)
n1={nx,3,8}; (*Horizontal segment*)
n2={nx,2,2}; (*Bottom corner*)
n3={nx,8,20}; (*Vertical segment*)
n4={nx,2,2}; (*Top corner*)
n5={nx,3,8}; (*Pole face*)

(*Build the geometry*)

t0=AbsoluteTime[];
radUtiDelAll[];
iron=RadMatSteel37[];      (*define material of yoke-low carbon
steel C<0.19%*)
geom[1];
size=radObjDegFre[t];

(*Solve the geometry*)

t1=AbsoluteTime[];
res=RadSolve[t,0.0001,1500];
t2=AbsoluteTime[];

(*Print The results*)
b0=radFld[t,"By",{0,0,215}];
Print["Mag_Max H_Max N_Iter = ",N[res[[2]],3]," T
",N[res[[3]],3]," T ",res[[4]]];
Print["Built&Solve in ",Round[t1-t0]," & ",Round[t2-t1]," seconds"]
Print["Interaction Matrix : ",size," X ",size," or
",N[size*size*4/1000000,6]," Mbytes"]
Print["Number of element : ",size*4/3]

```

```

Print["By = ",N[b0,4]," T"]

ob=t;x=0;z=215;ymax=10;Nn=40;
RadPlotOptions[];
by=radFldLst[ob,"By",{x,-ymax,z},{x,ymax,z},Nn,"arg",-ymax];
ListPlot[by,PlotJoined→True,
  FrameLabel→{"Y [mm]", "By [T]", "X = 0 mm, Z = 215 mm", ""}];

ob=t;x=0;y=0;z=200;Nn=40;
bz=radFldLst[ob,"By",{x,y,z},{x,y,z+30},Nn,"arg",z];
ListPlot[bz,PlotJoined→True,
  FrameLabel→{"Z [mm]", "By [T]", "X = 0 mm, Y = 0 mm", ""}];
bx=radFldLst[ob,"By",{-30,0,215},{30,0,215},Nn,"arg",-30];
ListPlot[bx,PlotJoined→True,
  FrameLabel→{"X [mm]", "By [T]", "Y = 0 mm, Z = 215 mm", ""}];

radObjDrwQD3D[t];
radObjDrwQD3D[g];

ob=t;
pl=Plot3D[radFld[ob,"By",{x,0,z}],{x,-30,30},{z,200,230},AxesLabel→{"X [mm]", "Z [mm]", "By [T]"}];
data3D=Table[radFld[ob,"By",{i,0,j}],{i,-30,30},{j,200,230}];
dataX=Table[radFld[ob,"By",{i,0,215}],{i,-30,30}];
dataY=Table[radFld[ob,"By",{0,i,215}],{i,-30,30}];
dataZ=Table[radFld[ob,"By",{0,0,j}],{j,200,230}];

draw=radObjDrw[t];
RadPlot3DOptions[];
Show[Graphics3D[draw],ViewPoint→{8,-3,3},PlotRange→All,AmbientLight→GrayLevel[0.1]];

```

โปรแกรมเรเดียสำหรับขั้วแม่เหล็กแบบที่ 2

```

<<Radia`;
<<Graphics`PlotField3D`;

(*Defining the model*)

Off[General::"spell1"];
geom[circ_]:=(
  ironcolor={0,0,1};
  coilcolor={1,0,0};

  (*The horizontal segment between the corners*)

  lx1=width/2;ly1=(long-
  armlong*2)/2;lz1=bhigh;l1={lx1,ly1,lz1};
  p1={width/4,ly1/2,bhigh/2};
  r1=radObjRecMag[p1,l1];
  radObjDivMag[r1,n1];

  (*The right bottom corner*)

  lx2=width/2;ly2=armlong;lz2=bhigh;l2={lx2,ly2,lz2};
  p2={width/4,p1[[2]]+long/2-armlong,p1[[3]]];
  r2=radObjRecMag[p2,l2];
  typ={"cyl",{p2+{0,-
  ly2/2,lz2/2},{1,0,0}},p2+{0,ly2/2,lz2/2},lz2/ly2};

If[circ==1,radObjDivMag[r2,{nbr,nbp,n1[[1]]},typ],radObjDivM
ag[r2,n2]];

  (*The vertical segment inside the right-coil*)

  lx3=width/2;ly3=armlong;lz3=high-bhigh;l3={lx3,ly3,lz3};
  p3={width/4,p2[[2]],high/2+bhigh/2};
  r3=radObjRecMag[p3,l3];
  radObjDivMag[r3,n3];

  (*The right pole face*)

  lx4=width;ly4=armlong;lz4=phigh;l4={lx4,ly4,lz4};
  k1={{width/4,p3[[2]]+armlong/2-
  pwidth/2,lz4+high},{width/2,pwidth}};
  k2={{width/4,p3[[2]]-4,high},{width/2,ly4+8}};
  r4=radObjMltExtRtg[{k1,k2}];

```

```

radObjDivMag[r4,n4];

(*Generation of the rigth-coil*)

pc={0,p2[[2]],p3[[3]]+1.5};

rcoil=radObjRaceTrk[pc,{Rmin,Rmax},{width,armlong},coilhigh,
Nseg,-CurDens];
radObjDrwAtr[rcoil,coilcolor];

(*Generation of the left-coil*)

pc={0,-p2[[2]],p3[[3]]+1.5};

lcoil=radObjRaceTrk[pc,{Rmin,Rmax},{width,armlong},coilhigh,
Nseg,CurDens];
radObjDrwAtr[lcoil,coilcolor];

(*make container and set the colors*)

g=radObjCnt[{r1,r2,r3,r4}];
radObjDrwAtr[g,ironcolor];
radMatapl[g,iron];
t=radObjCnt[{g,rcoil,lcoil}];

(*Define the symmetries*)

RadTrfZerPerp[g,{0,0,0},{1,0,0}];
RadTrfZerPara[g,{0,0,0},{0,1,0}];
);

(*Creating the model and solving*)

(*Geometry parameters for yoke*)

armlong=15;
bhigh=20;
long=60;
width=60;
high=200;
pwidth=1;
phigh=5;
coilhigh=163;
current=1394*1.5; (*in
Ampere-turns @1394 turns 0.5 A*)

(*Geometry parameters for coil*)

Rmin=1;
Rmax=14;

```

```

Nseg=4;
CurDens=current/coilhigh/ (Rmax-Rmin) ;

(*Segmentation Parameters*)

nx=8;
nbp=6;nbr=6; (*for the corners*)
n1={nx,4,6}; (*Horizontal segment*)
n2={nx,2,2}; (*Bottom corner*)
n3={nx,6,30}; (*Vertical segment*)
n4={nx,5,2}; (*Pole face*)

(*Build the geometry*)

t0=AbsoluteTime[];
radUtiDelAll[];
iron=RadMatSteel42[]; (*define material of yoke-low carbon
steel C<0.13%*)
geom[1];
size=radObjDegFre[t];

(*Solve the geometry*)

t1=AbsoluteTime[];
res=RadSolve[t,0.0001,1500];
t2=AbsoluteTime[];

(*Print The results*)
b0=radFld[t,"By",{0,0,206}];
Print["Mag_Max H_Max N_Iter = ",N[res[[2]],3]," T
",N[res[[3]],3]," T ",res[[4]]];
Print["Built&Solve in ",Round[t1-t0]," & ",Round[t2-t1]," seconds"]
Print["Interaction Matrix : ",size," X ",size," or
",N[size*size*4/1000000,6]," Mbytes"]
Print["Number of element : ",size*4/3]
Print["By = ",N[b0,4]," T"]

ob=t;x=0;z=206;ymax=30;Nn=40;
RadPlotOptions[];
by=radFldLst[ob,"By",{x,-ymax,z},{x,ymax,z},Nn,"arg",-ymax];
ListPlot[by,PlotJoined→True,
FrameLabel→{"Y [mm]","By [T]","X = 0 mm,Z = 206 mm","",""}];

ob=t;x=0;y=0;z=200;Nn=40;
bz=radFldLst[ob,"By",{x,y,z},{x,y,z+30},Nn,"arg",z];
ListPlot[bz,PlotJoined→True,
FrameLabel→{"Z [mm]","By [T]","X = 0 mm,Y = 0 mm","",""}];

```

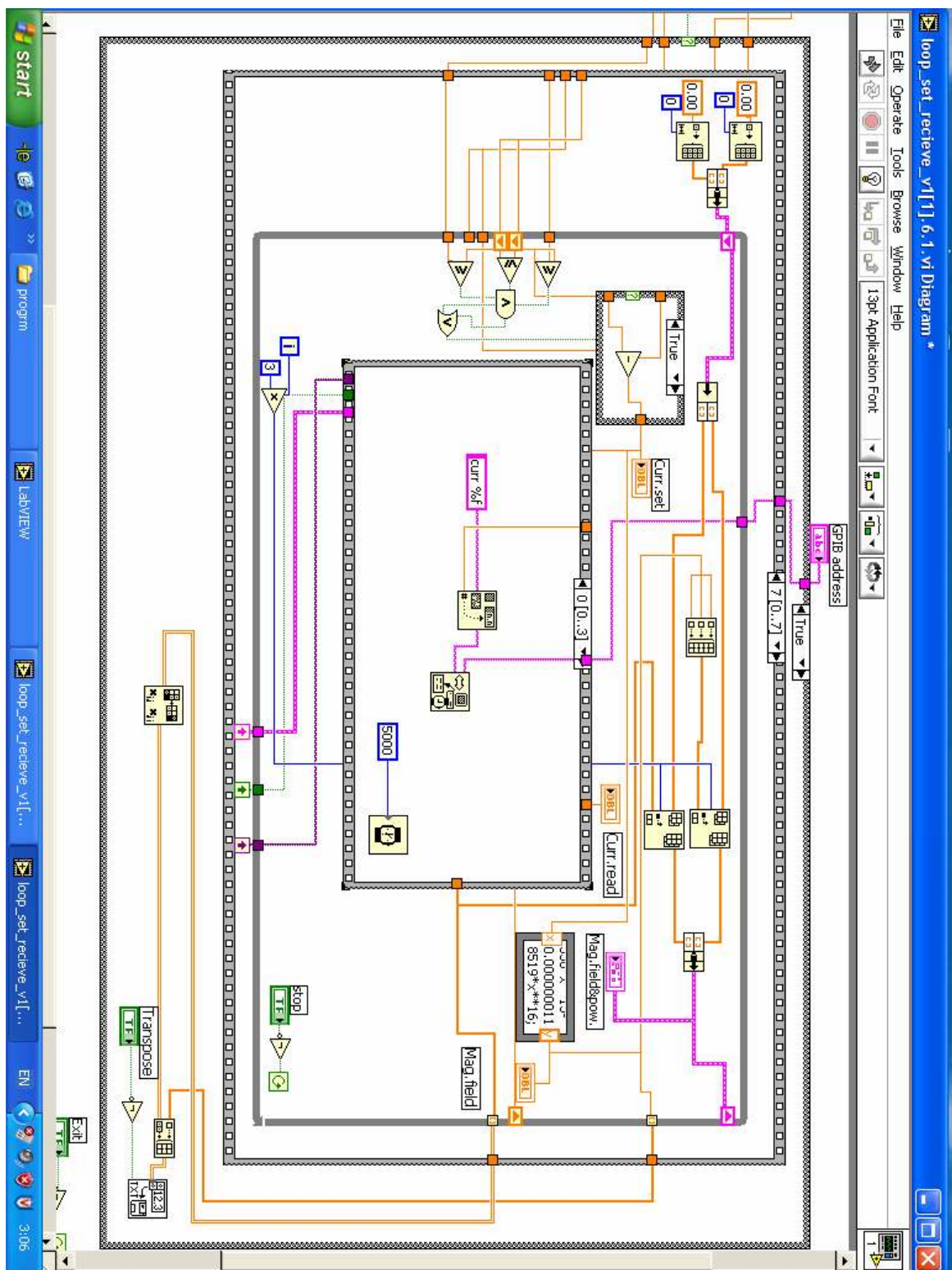
```
bx=radFldLst[ob,"By",{-30,0,206},{30,0,206},Nn,"arg",-30];
ListPlot[bx,PlotJoined→True,
  FrameLabel→{"X [mm]", "By [T]", "Y = 0 mm, Z = 206 mm", ""}];

radObjDrwQD3D[t];
radObjDrwQD3D[g];

ob=t;
pl=Plot3D[radFld[ob,"By", {x,y,206}],{x,-30,30},{y,-30,30},AxesLabel→{"X [mm]", "Z [mm]", "By [T]"}];
data3D=Table[radFld[ob,"By",{i,j,206}],{i,-30,30},{j,-30,30}];
dataX=Table[radFld[ob,"By",{i,0,206}],{i,-30,30}];
dataY=Table[radFld[ob,"By",{0,i,206}],{i,-30,30}];
dataZ=Table[radFld[ob,"By",{0,0,j}],{j,200,230}];

draw=radObjDrw[t];
RadPlot3DOptions[];
Show[Graphics3D[draw],ViewPoint→{8,-3,3},PlotRange→All,AmbientLight→GrayLevel[0.1]];
```

ภาคผนวก ช
โปรแกรมแลบปิว



ประวัติย่อผู้วิจัย

ประวัติย่อผู้วิจัย

ชื่อ ชื่อสกุล นายสุรเชษฐ์ วัฒนศุพร
 วันเดือนปีเกิด 22 มิถุนายน 2515
 สถานที่เกิด อ.ท่าวังผา จ.น่าน
 สถานที่อยู่ปัจจุบัน 64/125 ถ.ทวีวัฒนา แขวงทวีวัฒนา เขตทวีวัฒนา กรุงเทพมหานคร 10170

ประวัติการศึกษา

- พ.ศ. 2533 นักยุมศึกษาตอนปลาย
จากโรงเรียนสามัคคีวิทยาคม จ.เชียงราย
- พ.ศ. 2545 วท.บ. (สาขาวิชาฟิสิกส์)
จากมหาวิทยาลัยรามคำแหง
- พ.ศ. 2551 วท.ม. (สาขาวิชาฟิสิกส์)
จากมหาวิทยาลัยศรีนครินทร์วิโรฒ